

รายงานฉบับสมบูรณ์

รหัสโครงการ CO-39-06-EMT-10-01

การจำลองเหตุการณ์ด้วยคอมพิวเตอร์ สำหรับการแก้ไขผลการกระเจิงหลายครั้ง
และการลดทอนฟลักช์ในการศึกษาปฏิกิริยานิวเคลียร์ด้วยนิวตรอน

Computer Simulation on The Multiple Scattering and Attenuation

Corrections in the Studies of Nuclear Reaction by Neutron

อุดมรัตน์ ทิพวรรณ, สมศร สิงหรัตน์, ถิรพัฒน์ วิลัยทอง และ สุวิชา รัตนรินทร์

Udomrat Tippawan, Somsorn Singkarat, Thiraphat Vilaithong and Suvicha Ratanarin

อาคารวิจัยนิวตรอนพลังงานสูง ภาควิชาฟิสิกส์ คณะวิทยาศาสตร์

และ

สถาบันวิจัยและพัฒนาวิทยาศาสตร์และเทคโนโลยี

มหาวิทยาลัยเชียงใหม่

ลิขสิทธิ์มหาวิทยาลัยเชียงใหม่
Copyright[©] by Chiang Mai University
All rights reserved

ได้รับทุนอุดหนุนโครงการวิจัยจาก สำนักงานพัฒนาวิทยาศาสตร์และเทคโนโลยีแห่งชาติ
(ส่วนงานกลาง)

สำนักงานพัฒนาวิทยาศาสตร์และเทคโนโลยีแห่งชาติ (สวทช)

โครงการทุนสนับสนุนกิจกรรมใหม่(ส่วนงานกลาง)

รายงานฉบับสมบูรณ์(FINAL REPORT)

รหัสโครงการ CO-39-06-EMT-10-01

ชื่อโครงการ การจำลองเหตุการณ์ด้วยคอมพิวเตอร์ สำหรับการแก้ไขผลการกระเจิงหล่ายครั้ง และการลดTHONฟลักช์ในการศึกษาปฏิกิริยานิวเคลียร์ด้วยนิวตรอน
Computer Simulation on The Multiple Scattering and Attenuation Corrections in the Studies of Nuclear Reaction by Neutron

ชื่อหัวหน้าโครงการ นายอุดมรัตน์ ทิพวรรณ
Mr. Udomrat Tippawan
ตำแหน่ง อาจารย์ ระดับ 4
ที่ทำงาน อาคารวิจัยนิวตรอนพลังงานสูง
ภาควิชาฟิสิกส์ คณะวิทยาศาสตร์
มหาวิทยาลัยเชียงใหม่
โทรศัพท์ (053) 94 3379 โทรสาร (053) 222776

ลายเซ็น

ชื่อหัวหน้าสถาบัน ศ. นพ. ใจดี อิตราวนนท์

ตำแหน่ง อธิการบดี
ที่ทำงาน สำนักงานอธิการบดี มหาวิทยาลัยเชียงใหม่
โทรศัพท์ (053) 943001 โทรสาร (053) 217143,221932
ระยะเวลาของโครงการที่เสนอไว้ 2 ปี
เริ่มต้นการดำเนินโครงการเมื่อวันที่ 1 กรกฎาคม 2539

สิ้นสุดการดำเนินโครงการจริงเมื่อวันที่ 31 พฤษภาคม 2542

งบประมาณเสนอ 199,000 บาท

งบประมาณที่ใช้จริง 199,000 บาท

สรุปสำหรับผู้บริหาร

การประยุกต์เทคนิค monocentric tomography ได้เริ่มอย่างจริงจังในช่วง สมัยโลกครั้งที่ 2 “มองติคาร์โล” เป็นชื่อรหัสลับของงานวิจัยเกี่ยวกับการสร้างระเบิดปรมาณู ที่เมือง Los Alamos ซึ่ง von Neumann และ Ulam เป็นผู้ตั้งขึ้นตามชื่อเมืองที่เป็นแหล่งคาลิโน ของประเทศโมนาโก โดยได้นำเทคนิค monocentric tomography มาใช้แก้ปัญหาเกี่ยวกับการแพร่ของนิวตรอน ในวัสดุเชือเพลิง ซึ่งนับว่าเป็นการจำลองทางคณิตศาสตร์เพื่อหาคำตอบก่อนการทดลองจริง

เทคนิค monocentric tomography ได้ถูกนำมาใช้ในการแก้ปัญหาสำคัญในการศึกษาอันตรกิริยาระหว่าง นิวตรอนกับวัตถุตัวอย่างที่เป็นธาตุหรือสารประกอบ แต่เนื่องจากวัตถุตัวอย่างที่ใช้ในการทดลอง จริงจำเป็นต้องมีขนาด ฯ หนึ่ง จึงทำให้ความเป็นอุดมคติลดลง ก่อวายคือเหตุการณ์ที่อนุภาค นิวตรอนมีอันตรกิริยาเพียงครั้งเดียวกับนิวเคลียสของวัตถุตัวอย่างก็มีโอกาสเกิดขึ้นน้อยลงเมื่อ เทียบกับเหตุการณ์ที่นิวตรอนมีอันตรกิริยาหลายครั้ง ดังนั้นนิวตรอนที่วิ่งเข้าไปในวัตถุตัวอย่างจะ มีโอกาสที่จะเกิดการกระเจิงหลายครั้ง (Multiple scattering) และเกิดการลดthon (Attenuation) ของจำนวนนิวตรอน

โปรแกรมคอมพิวเตอร์ที่ใช้จำลองเหตุการณ์การกระเจิงหลายครั้ง และเกิดการลดthon ของจำนวนนิวตรอนสำหรับงานวิจัยนี้ คือโปรแกรมคอมพิวเตอร์ SYNTHIA ของมหาวิทยาลัย Tohoku ประเทศญี่ปุ่น ซึ่งเขียนขึ้นสำหรับงานทางด้านนี้โดยเฉพาะ และโปรแกรมคอมพิวเตอร์ MCNP ของ Los Alamos National Laboratory ประเทศสหรัฐอเมริกา ซึ่งเป็นโปรแกรมเอก ประสงค์สำหรับใช้ในงานการป้องกันรังสี โดยใช้ออกแบบเครื่องกำบังรังสี รวมทั้งคำนวณหา ปริมาณรังสีที่บรรเทาต่างๆ คณะผู้วิจัยมีประสบการณ์ในการใช้โปรแกรม MCNP ในการจำลอง เหตุการณ์ต่างๆ อาทิ การกระเจิงของนิวตรอนปัจุบันภูมิภาคในเป้าตรีเตียม และการทดสอบคุณ สมบัติของระบบกำบังรังสีสำหรับระบบวัดพลังงานนิวตรอน เป็นต้น

ผลการวิจัยสามารถจำลองการกระเจิงหลายครั้งและการลดthon ของนิวตรอนพลังงานสูง สำหรับธาตุบิสมัทที่มีขนาดต่างๆ และผลลัพธ์ของการจำลองสอดคล้องกับผลการทดลองจริง และ สามารถประยุกต์โปรแกรม MCNP ใช้ในงานด้านนี้ได้อีกด้วย

ส่วนหนึ่งของงานวิจัยนี้ได้เข้าร่วมแสดงและตีพิมพ์ในประชุมวิชาการวิทยาศาสตร์และ เทคโนโลยีนิวเคลียร์ ครั้งที่ 7 ระหว่างวันที่ 1-2 ธันวาคม 2541 จัดโดยสำนักพัฒนาปรมาณู เพื่อสันติ

กิตติกรรมประกาศ

โครงการวิจัยนี้ได้รับทุนอุดหนุนจาก ส่วนงานกลาง สำนักงานพัฒนาวิทยาศาสตร์และเทคโนโลยีแห่งชาติ และคณะผู้วิจัยโครงข้อมูลผู้มีรายงานผลต่อไปนี้ ซึ่งได้สนับสนุนและช่วยเหลือให้งานชื่นฟ้าเรืองลั่วงด้วยดี

สำนักงานกองทุนสนับสนุนการวิจัย และมูลนิธิโทรเพื่อการส่งเสริมวิทยาศาสตร์ ประเทศไทย ที่ให้การสนับสนุนอย่างต่อเนื่อง

ภาควิชาฟิสิกส์ คณะวิทยาศาสตร์ และสถาบันวิจัยและพัฒนาวิทยาศาสตร์และเทคโนโลยี มหาวิทยาลัยเชียงใหม่

Prof. Dr. Mamoru Baba และ Dr. Masanobu Ibaraki ที่กรุณามอบโปรแกรม SYNTHIA และคำแนะนำในการใช้

Prof. Dr. Akito Takahashi ที่อื้อเพื่อในการสั่งและให้ยิ่งวัตถุตัวอย่างบินสมัทขนาดต่าง ๆ

Dr. Fujio Maekawa และอาจารย์ดุษฎี สุวรรณจรรที่ให้คำแนะนำเกี่ยวกับการใช้โปรแกรม MCNP

คุณปริยาพร อินทะวัน และคุณสมุนหนา สารารักษ์ที่ได้ช่วยพิมพ์รายงานฉบับนี้

จัดทำโดย
ภาควิชาฟิสิกส์ คณะวิทยาศาสตร์
มหาวิทยาลัยเชียงใหม่
Copyright © by Chiang Mai University
All rights reserved

คณะกรรมการ

1. หัวหน้าโครงการ นายอุดมรัตน์ ทิพวรรณ**

Mr.Udomrat Tippawan

ตำแหน่ง อาจารย์ ระดับ 4

2 ผู้ช่วยวิจัย นายสุวิชา รัตนรินทร์**

Mr. Suvicha Ratanarin

ตำแหน่ง พนักงานวิทยาศาสตร์ ระดับ 3

3. ที่ปรึกษาโครงการ รองศาสตราจารย์ ดร.ธิรพัฒน์ วิลัยทอง**

Asso. Prof. Dr. Thiraphat Vilaithong

ตำแหน่ง รองศาสตราจารย์ ระดับ 9

รองศาสตราจารย์ ดร.สมศร สิงห์รัตน์**

Asso. Prof. Dr. Somsorn Singkarat

ตำแหน่ง รองศาสตราจารย์ ระดับ 9

** สถานที่ติดต่อ ภาควิชาฟิสิกส์ คณะวิทยาศาสตร์
มหาวิทยาลัยเชียงใหม่

โทรศัพท์ (053) 221699 ต่อ 3379

โทรสาร (053) 222776

จัดทำโดย ภาควิชาภาษาอังกฤษ
Copyright © by Chiang Mai University
All rights reserved

บทคัดย่อ

การเกิดการกระเจิงหลายครั้ง และการลดทอนฟลักซ์ของรังสีนิวตรอนพลังงานสูง เมื่อเข้าไปในวัตถุตัวอย่างรูปทรงกระบอกตันที่เป็นธาตุหนักชนิดเดียว ได้ถูกจำลองขึ้นโดยใช้เทคนิค蒙ติคาร์โล ผ่านทางโปรแกรมคอมพิวเตอร์ SYNTHIA ของมหาวิทยาลัย Tohoku ประเทศญี่ปุ่น และโปรแกรมคอมพิวเตอร์ MCNP ของ Los Alamos National Laboratory ประเทศสหรัฐอเมริกา

การจำลองได้เน้นพิจารณาถึงผลจากขนาดของวัตถุตัวอย่าง และรังสีนิวตรอนปานเปื้อนของแหล่งกำเนิดนิวตรอน โดยทั้งนี้ได้ใช้ขนาด รูปร่าง ตำแหน่ง และระยะห่างของเป้าตระเตียมกับวัตถุตัวอย่าง รวมทั้งตำแหน่งของหัวตันนิวตรอน ให้เหมือนกับสถานการณ์จริง ผลลัพธ์จากการจำลองได้นำไปเปรียบเทียบกับผลจากการทดลองจริงของการวัดค่า Double Differential Neutron Emission Cross Section ของธาตุบิสเม็ท(^{209}Bi)

ABSTRACT

The multiple scattering and the flux attenuation of penetrating fast neutrons in a solid cylindrical sample of single nuclei was simulated by using Monte Carlo technique. The calculation was done through two computer codes ,i.e., SYNTHIA of Tohoku University, Japan and MCNP of Los Alamos National Laboratory, USA.

The effect from sample-size and source related background were the aim of this investigation. The simulation used actual dimensions and geometry of a tritium target-sample-detector system. Results of simulation will be shown in comparison with the experimental results of a Double Differential Neutron Emission Cross Section of Bismuth (^{209}Bi) at 14 MeV neutron.

สารบัญเรื่อง

	หน้า
บทที่ 1 บทนำ	1
บทที่ 2 หลักการ	3
บทที่ 3 ผลการจำลอง	10
- ผลการจำลองสเปกตรัมของการระเจิงหล่ายครึ้งจากโปรแกรม SYNTHIA	10
- ผลการจำลองสเปกตรัมการกระเจิงอุดมคติ สเปกตรัมการกระเจิงจริงจากนิวตรอน 14 MeV และสเปกตรัมการกระเจิงจริงจากนิวตรอนปืนปืนปืน	27
โดยใช้โปรแกรม SYNTHIA	
- ผลการจำลองสเปกตรัมการกระเจิงอุดมคติ สเปกตรัมการกระเจิงจริงจากนิวตรอน 14 MeV และสเปกตรัมการกระเจิงจริงจากนิวตรอนปืนปืนปืน	36
โดยใช้โปรแกรม MCNP	
- ผลการจำลองด้วยโปรแกรม SYNTHIA เทียบกับผลที่ได้จากการทดลองจริง	44
- ผลการจำลองด้วยโปรแกรม MCNP เทียบกับผลที่ได้จากการทดลองจริง	51
- ผลของการจำลองด้วยโปรแกรม SYNTHIA และโปรแกรม MCNP	57
เทียบกับผลที่ได้จากการทดลองจริง เมื่อวัดถูกต้องย่างมีขนาดต่างๆ	
และนิวตรอนปืนปืนที่มีระดับต่างกัน	
บทที่ 4 สรุป	63
เอกสารอ้างอิง	64
ภาคผนวก	65

จัดทำโดย สำนักหอสมุด มหาวิทยาลัยเชียงใหม่
Copyright © by Chiang Mai University
All rights reserved

บทที่ 1

บทนำ

ปัจจุบันการศึกษาทางด้านการออกแบบบัวสุดที่ใช้เป็นโครงสร้าง และภาระกำนังรังสี (radiation shielding) สำหรับการสร้างเตาปฏิกรณ์ประมาณูแบบฟิวชัน ได้รับความสนใจอย่างกว้างขวาง โดยเฉพาะอย่างยิ่งการศึกษาปฏิกรณ์นิวเคลียร์ระหว่างนิวตรอนที่เกิดจากปฏิกรณ์ฟิวชันกับธาตุต่างๆ โดยการวัด และการวิเคราะห์ค่า double differential cross sections (DDX) ของการปลดปล่อยนิวตรอน

เทคนิคการวัดพลังงานของนิวตรอนพลังงานสูงแบบ Time-of-Flight (TOF) ได้รับการยอมรับกันโดยทั่วไปแล้วว่าเป็นเทคนิคที่มีความแม่นยำสูงสุดในขณะนี้ โดยเทคนิคนี้ความแม่นยำ หรืออำนาจการจำแนกพลังงาน (energy resolution) ของรังสีนิวตรอน จะพกผันกับระเบียบการเดินทาง (flight path) ของอนุภาคนิวตรอน ดังนั้นการเพิ่มระยะเดินทางของอนุภาคนิวตรอนมีข้อดีที่ทำให้ระบบการวัดมีอำนาจการจำแนกพลังงานสูงขึ้น แต่มีข้อเสียควบคู่ไปด้วยเนื่องจากจำนวนอนุภาคนิวตรอนที่ไปเข้าหัววัดลดลงตามกฎระยะทางยกกำลังสองผกผัน (inverse square law) ซึ่งส่งผลในทางปฏิบัติที่ทำให้ต้องใช้เวลาในการเก็บข้อมูลนานขึ้น ในทางปฏิบัติจึงแก้ไขโดยใช้วัตถุตัวอย่างที่มีขนาดใหญ่ขึ้น ซึ่งเป็นการเพิ่มจำนวนนิวเคลียสเป้า จึงทำให้มีโอกาสของการเกิดอันตรกิริยา (interaction) สูงขึ้น แต่เมื่อวัตถุตัวอย่างมีขนาดใหญ่ขึ้น ความเป็นอุดมคติก็ลดลง กล่าวคือเหตุการณ์ที่อนุภาคนิวตรอนมีอันตรกิริยาเพียงครั้งเดียวกับนิวเคลียสเป้าก็มีโอกาสเกิดขึ้นน้อยลง เมื่อเทียบกับเหตุการณ์ที่นิวตรอนมีอันตรกิริยาหลายครั้ง ทำให้เพิ่มโอกาสของการเกิดการกระเจิงหลายครั้ง (multiple scattering) และการลดthon (attenuation) เมื่อนิวตรอนเข้าไปในธาตุตัวอย่างทั้งก่อนและหลังการกระเจิง

ดังนั้นจึงต้องมีการแก้ไขผลเนื่องจากการกระเจิงหลายครั้งและการลดTHON ทางเลือกหนึ่งที่นิยมใช้คือ การจำลองเหตุการณ์โดยใช้การคำนวณ (simulation calculation) ด้วยเครื่องคอมพิวเตอร์ โดยเฉพาะอย่างยิ่งการคำนวณด้วยเทคนิค蒙ติคาร์โล (Monte Carlo technique) แม้ว่าเดิมที่จะต้องใช้เครื่องคอมพิวเตอร์ที่มีขนาดใหญ่ และสิ้นเปลืองเวลาในการคำนวณมากก็ตาม แต่ด้วยเทคโนโลยีสมัยใหม่ทำให้เครื่องคอมพิวเตอร์ขนาดเล็กระดับ Workstation มีประสิทธิภาพสูงขึ้นมาก สามารถนำมาใช้ในการคำนวณแก้ปัญหาดังกล่าวได้อย่างสะดวก

โครงการวิจัยนี้จะศึกษาการจำลองการกระเจิงหลายครั้งและการลดTHON ฟลักซ์ของนิวตรอนด้วยเทคนิค蒙ติคาร์โล โดยใช้โปรแกรมคอมพิวเตอร์ SYNTHIA ของมหาวิทยาลัย Tohoku ประเทศญี่ปุ่น ซึ่งเขียนขึ้นสำหรับงานทางด้านนี้โดยเฉพาะ และประยุกต์โปรแกรมคอมพิวเตอร์ MCNP ของ Los Alamos National Laboratory ประเทศสหรัฐอเมริกา ซึ่งเป็นโปรแกรมเอนกประสงค์ เพื่อใช้ในงานด้านนี้

วัตถุประสงค์และขอบเขตของการศึกษา

1. เพื่อศึกษาและพัฒนาทางด้านโปรแกรมคอมพิวเตอร์ที่ใช้ในการจำลองการกระจาย
หล่ายครั้งและการลดTHONฟลักซ์ของนิวตรอน
2. เพื่อศึกษาผลจากขนาดของวัตถุตัวอย่าง(Sample-size effect) และผลจากนิวตรอน
ปนเปื้อน (Contaminant neutrons effect)
3. เพื่อเปรียบเทียบผลการจำลองโดยเทคนิค nondiscriminatory กับผลการทดลองจริงของการ
วัดค่า DDX ของธาตุบิสเมลท (^{209}Bi)

แผนงานวิจัย

กิจกรรมหลักต่าง ๆ และแผนงาน

ก. การจัดเตรียมระบบการวัดพลังงานของนิวตรอน

ติดตั้งหัววัดนิวตรอนหลัก และหัววัดนิวตรอนขนาดเล็ก สำหรับทำหน้าที่ตรวจนับ neutron flux ที่เกิดขึ้นในระหว่างการเก็บข้อมูล รวมทั้งระบบอิเล็กทรอนิกส์ และระบบการบันทึกข้อมูล

ข. การทดลอง และเก็บข้อมูล

เดินเครื่องกำเนิดนิวตรอนความถี่สูง เพื่อทดลองวัดการกระจายของนิวตรอนจากธาตุบิสเมลท ที่มีขนาดเล็กผ่านศูนย์กลางขนาดต่าง ๆ และวิเคราะห์หาค่า DDX จากข้อมูลที่ได้ เพื่อใช้ในการเปรียบเทียบกับผลการคำนวณโดยใช้โปรแกรมคอมพิวเตอร์

ง. การศึกษา และการใช้งานโปรแกรมคอมพิวเตอร์

ศึกษาการทำงานของโปรแกรมคอมพิวเตอร์ SYNTHIA ที่ใช้ในการคำนวณหาค่าการ
กระจายหล่ายครั้ง และ การลดTHONฟลักซ์ของนิวตรอน ซึ่งใช้เทคนิควิธีมอนติคาร์โล

ศึกษาการใช้งานโปรแกรมคอมพิวเตอร์ MCNP และประยุกต์เพื่อให้สามารถที่จะใช้ใน
การคำนวณหาค่าการกระจายหล่ายครั้ง และการลดTHONฟลักซ์ของนิวตรอนได้

จากแผนงานเดิมและใหม่ในหน้าตัดไป ชี้สາເຫດຖວມລໍາໜ້າທີ່ທໍາໃຫ້ຕ້ອງເລື່ອນອກໄປຄົງ 2
ຄົ້ງ ເປັນເວລາ 10 ເດືອນ (ໂປຣດູຮ່າຍງານຄວາມກໍາວໜ້າຄົ້ງທີ່ 1 ແລະ 2) ເພຣະ

1. มีความจำเป็นต้องซ้อมบำรุงเครื่องกำเนิดนิวตรอนความถี่สูงและแก้ไขปัญหารွေງ
ຄວາມຂຶ້ນ ທີ່ທໍາໃຫ້ເກີດກາຮສປາຣັກຂຶ້ນທີ່ສ່ວນຂອງທ່ອເຮັງອຸນຸກາດ ซິ່ງມີຜລເສຍຽນແຮງ
2. ພລກາຈຳລອງທີ່ໄດ້ໄສສອດຄລັງກັບຜລກາທົດລອງຈົງ ຈຶ່ງຈຳເປັນຕົ້ງທຳກາຣທົດລອງບາງ
ສ່ວນໃໝ່ແລະທຳກາຣຈຳລອງໃໝ່ເກືອບທັງໝາດ ດັ່ງແສດງໃນຂ້ອ 3.11

กิจกรรม	เดือน								
	1-2	3-4	5-6	7-8	9-10	11-12	19-20	21-22	23-24
1. การจัดเตรียมระบบการวัดพื้นที่งานของนิวตรอนหนาแน่น	<->								
2. พัฒนาวัสดุการระเจิงของนิวตรอนจากธาตุบิสเมล์ที่มีชีนาต่างๆ กัน		<->							
3. วิเคราะห์หาค่า DDX ของธาตุบิสเมล์จากข้อมูลที่ได้			<->						
4. ศึกษาการทำงานของโปรแกรม SYNTIA และใช้งานโปรแกรมในการคำนวณหาค่าการรับเรียงหลักคุณและภารลดตอนของนิวตรอน รวมทั้งประยุกต์ใช้งานกับผู้ผลิตผลิตภัณฑ์ได้				<->					
5. ศึกษาการใช้งานโปรแกรม MCNP และประยุกต์เพื่อให้สามารถที่จะใช้ค่าน้ำหนักค่าการรับเรียงหลักคุณและภารลดตอนของนิวตรอนได้					<->				
6. วิเคราะห์และประยุกต์เพื่อยับแยกให้เจ้ากิจกรรม MCNP กับผลลัพธ์ได้จากการโปรแกรม SYNTIA รวมทั้งปรับเปลี่ยนแก้ไขที่อาจเกิดขึ้น						<->			
7. สรุปและรายงาน							<->		

กิจกรรม

กิจกรรม		เดือน													
		1-2	3-4	5-6	7-8	9-10	11-12	19-20	21-22	23-24	25-26	27-28	29-30	31-33	34-35
1.	การจัดเตรียมระบบการวัดพลังงานของนิวเคลียร์อ่อนตัว หมุด	←→													
2.	ทดลองวัดการกระเจิงของนิวเคลียร์อ่อนตัวในราบบีสม์ที่ มีขนาดตัว 1 กัน		↔												
3.	วิเคราะห์ผล DDX ของธาตุปริมาณจากชื่ออย่างที่ได้			↔											
4.	ศึกษาการคำนวณของโปรแกรม SYNTHIA และใช้ งานโปรแกรมในการคำนวณหาค่าการกระแสไฟฟ้าภายใน ครึ่งและกระแสตอบของนิวเคลียร์อ่อนตัว รวมทั้งเปรียบ เทียบกับผลการทดลองที่ได้				↔										
5.	ศึกษาการใช้งานโปรแกรม MCNP และประยุกต์เพื่อ ให้สามารถพิจารณาความเสี่ยงของการระเบิดหอดูรัง และการทดสอบของนิวเคลียร์					↔									
6.	วิเคราะห์และเปรียบเทียบผลที่ได้จากการไปโรงเรียน MCNP กับผลที่ได้จากโปรแกรม SYNTHIA รวม ทั้งเปรียบเทียบกับผลที่ได้จากการทดลอง						↔								
7.	ซ้อมบำรุงเครื่องกำเนิดนิวเคลียร์							↔							
8.	สรุปและรายงาน								↔						

บทที่ 2

หลักการ

การจำลองการกระเจิงหلامครั้งและการลดTHONฟลักซ์ของนิวตรอนด้วยโปรแกรมคอมพิวเตอร์ SYNTHIA

สำหรับกระบวนการจำลองเหตุการณ์ที่จะเกิดขึ้นในการทดลองจริงนั้นจะพิจารณาถึง

(ก) ขนาด รูปร่าง ตำแหน่ง และระยะห่างระหว่างเป้าตรีเตียม ธาตุตัวอย่าง และหัววัดรังสีนิวตรอน

(ข) รูปร่าง และลักษณะการกระจายพลังงานของแหล่งกำเนิดนิวตรอน

(ค) ชนิดของปฏิกิริยานิวเคลียร์ที่เกิดขึ้นระหว่างนิวตรอนกับนิวเคลียลของวัตถุตัวอย่าง โดยจะใช้ฐานข้อมูลนิวเคลียร์(nuclear data libraries) จากฐานข้อมูล ENDF/B-VI และ JENDL-3.1

โดยเริ่มต้นจาก

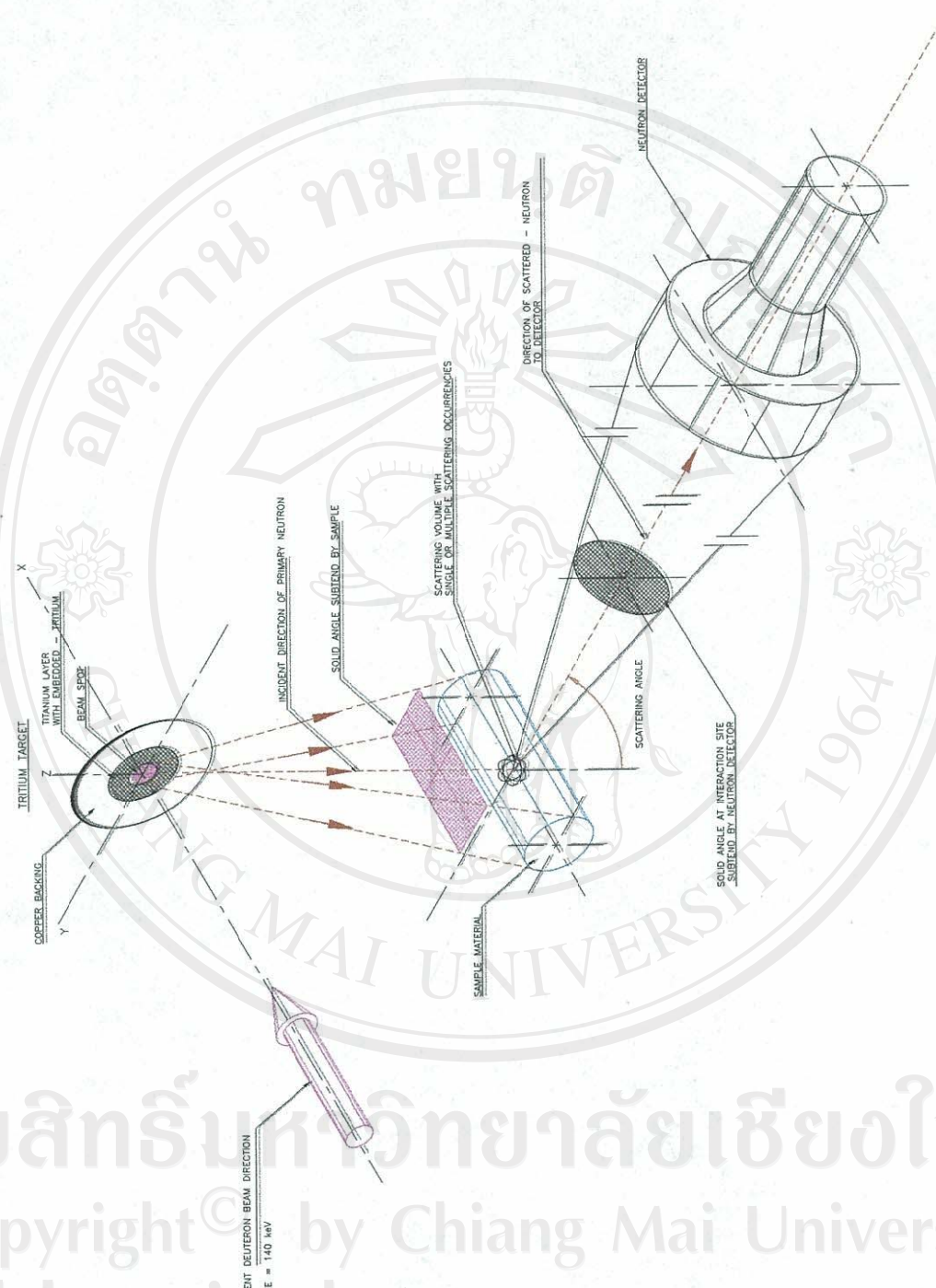
1. การจำลองนิวตรอนปฐมภูมิที่เกิดขึ้นในเป้าตรีเตียม

จากรูปที่ 1 เมื่อลำดิวเทอรอนตกกระทบเป้าตรีเตียม เริ่มสุ่มตำแหน่งของการเกิดนิวตรอนปฐมภูมิภายในเป้า โดยคำนึงถึงพลังงาน และขนาดของลำดิวเทอรอน สำหรับพลังงานของนิวตรอนปฐมภูมนั้นคำนวนจาก kinematic และ angular distribution และคำนวนฟลักซ์ของนิวตรอนที่ตกลงบนวัตถุตัวอย่าง โดยอาศัยมุมตัน(solid angle) ที่องรับของวัตถุตัวอย่าง

ขั้นตอนต่อมาคือสุ่มตำแหน่งและมุมที่นิวตรอนจะไปตกกระทบกับผิวของวัตถุตัวอย่าง ส่วนตำแหน่งที่เกิดอันตรกิริยานั้นได้จากการสุ่ม path length หรือระยะทางที่นิวตรอนปฐมภูมิสามารถเคลื่อนที่เข้าไปภายใต้วัตถุตัวอย่างได้ก่อนที่จะเกิดอันตรกิริยา ซึ่งหาได้จากการสุ่มค่า mean free path ซึ่งขึ้นอยู่กับพลังงานของนิวตรอนและค่า total cross section ของวัตถุตัวอย่าง รวมทั้งคำนวนค่าเฉลี่ยของการลดTHONของฟลักซ์นิวตรอน

2. การจำลองการเกิดอันตรกิริยาระหว่างนิวตรอนกับนิวเคลียลของวัตถุตัวอย่าง

สำหรับกรณีที่วัตถุตัวอย่างเป็นสารประกอบเช่น สารโพลีเอทธิลีน[(CH₂)_n] ก็จะต้องมีการสุ่มนิวเคลียลก่อน เนื่องจากโอกาสที่นิวตรอนจะเกิดอันตรกิริยากับนิวเคลียลชนิดใดนั้น ขึ้นอยู่กับสัดส่วนโดยน้ำหนักและค่า total cross section ของนิวเคลียลชนิดนั้นๆ ซึ่งขึ้นอยู่กับพลังงานของนิวตรอนปฐมภูมิเช่นกัน หลังจากนั้นก็จะสุ่มนิวเคลียลของปฏิกิริยานิวเคลียร์ที่เกิดขึ้นระหว่างนิวตรอนปฐมภูมิกับชนิดของนิวเคลียลที่สุ่มได้จากข้างต้น โดยอาศัยอัตราส่วนระหว่างค่า cross section ของแต่ละชนิดของปฏิกิริยานิวเคลียร์สำหรับนิวเคลียลชนิดนั้นๆ เช่น elastic(n,n) หรือ inelastic(n,n') เป็นต้น



รูปที่ 1 แสดงลักษณะและหลักการสำหรับของการทดลองวัดค่า DDX ด้วยเทคนิค TOF เพื่อพิสูจน์วัสดุในที่นี้เป็นไม้ไผ่และกรวยของ Shadow Bar, Collimator และ Shielding ของหัววัดรังสินิวตรอนไว้ด้วย

3. การจำลองการเกิดอันตรภัยระหว่างนิวตรอนทุติยภูมิกับนิวเคลียลของวัตถุตัวอย่าง

นิวตรอนทุติยภูมิจากการเกิดปฏิกิริยานิวเคลียร์แบบต่าง ๆ โดยแต่ละแบบจะมีค่า angular distribution ซึ่งจะนำมาใช้ในการสุมทิศทางของนิวตรอนทุติยภูมิ ส่วนพลังงานของนิวตรอนทุติยภูมิหลังการกระเจิงกับวัตถุตัวอย่างสามารถคำนวณโดยอาศัย kinematic และ Q-value สำหรับในย่าน discrete และคำนวณโดยอาศัย energy distribution สำหรับในย่าน continuum

แต่เนื่องจากผลจากขนาดของวัตถุตัวอย่างต่างที่กล่าวในข้างต้นนี้ ในขั้นตอนนี้จึงต้องมีการสุ่มค่า mean free path อีกครั้ง เพื่อดูว่านิวตรอนยังอยู่ภายในวัตถุตัวอย่างหรือไม่ ถ้าอยู่ก็แสดงว่านิวตรอนนั้นเกิดอันตรภัย(กระเจิง)ขึ้นอีก ซึ่งก็จะต้องกลับไปทำการสุมตามแบบกระบวนการที่ 2 อีกครั้ง จนกว่านิวตรอนออกพันจากวัตถุตัวอย่างไปได้

ตั้งนั้นนิวตรอนที่ออกพันจากวัตถุตัวอย่างแล้วไปเข้าหัววัดรังสีนิวตรอน จะถูกจำแนกตามจำนวนครั้งที่เกิดการกระเจิงในวัตถุตัวอย่าง ทิศทางหรือมุมกระเจิง และพลังงานของนิวตรอน และคำนวณจำนวนนิวตรอนทั้งหมดที่จะไปเข้าหัววัดรังสีนิวตรอนโดยอาศัยมุนตันที่รองรับของหัววัดรังสีนิวตรอน รวมทั้งคำนวณการลดทอนของฟลักซ์นิวตรอนที่ไปเข้าหัววัด

ผลลัพธ์ของการจำลองจะอยู่ในรูปของスペกตรัมที่ล้มพังกับพลังงานของนิวตรอน โดยแบ่งได้เป็น 3 แบบ คือ

- ก) $I(E, \theta, E')$ คือ สเปกตรัมการกระเจิงอุดมคติ(Ideal scattering spectrum) ซึ่งตัดผลที่จะเกิดจากการกระเจิงหลายครั้ง และการลดทอนของฟลักซ์ออกไป
- ข) $N_n(E, \theta, E')$ คือ สเปกตรัมที่ได้หลังเกิดการกระเจิงในแต่ละ n ครั้ง โดยที่ $n=1, 2, 3$ และ 4 ซึ่งพิจารณาถึงผลเนื่องจากการลดทอนของฟลักซ์ด้วย
- ค) $R(E, \theta, E')$ คือ สเปกตรัมกระเจิงจริง(Real scattering spectrum) ซึ่งเป็นผลรวม(Summation)ของ สเปกตรัม $N_n(E, \theta, E')$ สำหรับ $n=1$ ถึง 4

และเพื่อให้สเปกตรัมที่จำลองได้เหล่านี้สอดคล้องกับผลการทดลองจริง จึงต้องกระจาย(smeared) ออกด้วย Gaussian resolution function ที่ประกอบด้วยความกว้างของพีครังสีแกรมมากที่วัดได้จากการทดลอง ทั้งนี้เนื่องจากการวัดพลังงานของนิวตรอนด้วยเทคนิค TOF คือการวัดพลังงานของนิวตรอนโดยการวัดเวลาที่นิวตรอนที่มีพลังงานต่างๆ ใช้ในการเคลื่อนที่ ซึ่งต้องอาศัยตำแหน่งของพีครังสีแกรมมาเป็นจุดอ้างอิง เพราะฉะนั้นความกว้างของพีครังสีแกรมมา จึงเปรียบเสมือนเป็นความคลาดเคลื่อนที่มีผลต่อพลังงานของนิวตรอนทุติยภูมิ

การพิจารณาผลจากนิวตรอนปนเปื้อนของแหล่งกำเนิดนิวตรอน

เนื่องจากแหล่งกำเนิดนิวตรอนมีสามารถผลิตนิวตรอนปฐมภูมิพลังงาน 14 MeV บริสุทธิ์ แต่ยังประกอบด้วยนิวตรอนปนเปื้อนที่มีพลังงานต่ำกว่า 12 MeV ลงมา ซึ่งเกิดมาจากคุณสมบัติของแหล่งกำเนิดนิวตรอนเอง หรือเกิดจากการกระเจิงของนิวตรอนปฐมภูมิภายในเป้าริเตียม ก่อน (โปรดดูในภาคผนวก) ดังนั้นจึงมีโอกาสที่นิวตรอนปนเปื้อนเหล่านี้จะตกกระทบกับวัตถุตัวอย่างด้วย ยิ่งวัตถุตัวอย่างมีขนาดใหญ่ก็ยิ่งมีโอกาสที่จะตกกระทบสูง และมีโอกาสที่จะเกิดอันตรกิริยา กับนิวเคลียสในวัตถุตัวอย่าง แล้วกระเจิงไปเข้าหัววัดรังสีนิวตรอนได้เหมือนกัน รวมทั้งสามารถเกิดการกระเจิงหลายครั้ง และการลดทอนภายในวัตถุตัวอย่างได้อีกเช่นกัน

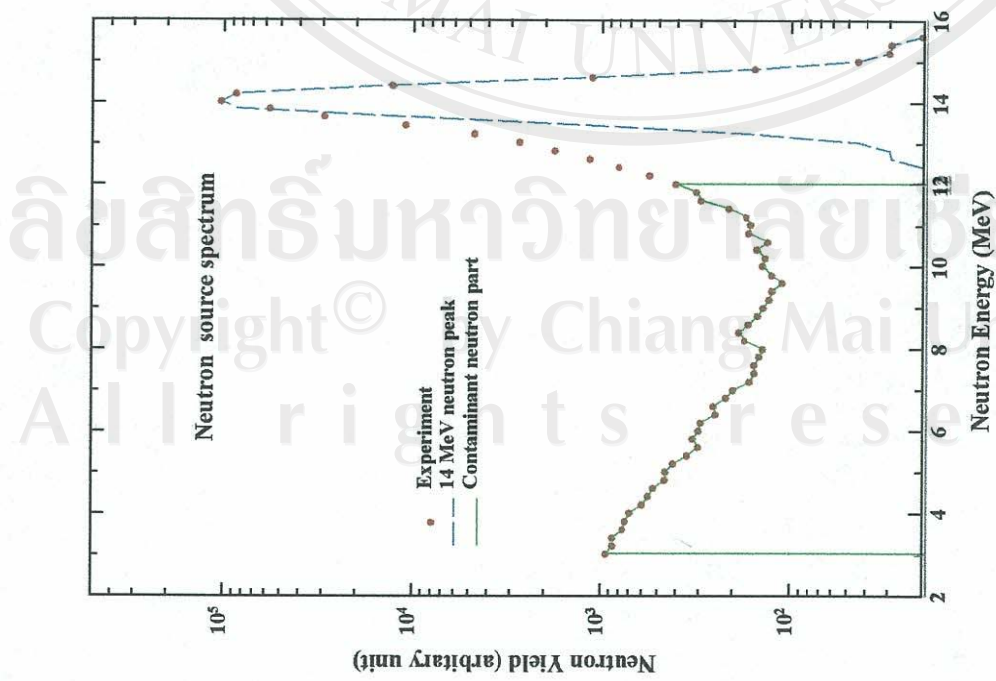
และการจำลองนิวตรอนที่เกิดในเป้าริเตียมในขั้นตอนที่ 1 นั้นไม่ได้ครอบคลุมถึงนิวตรอนปนเปื้อน ดังนั้นในขั้นตอนนี้ก็จะเปลี่ยนไปใช้วิธีสุ่มพลังงานและจำนวนของนิวตรอนจากสเปกตรัมของแหล่งกำเนิดนิวตรอนที่วัดได้โดยตรงจากเป้าริเตียมแทน ดังแสดงในรูปที่ 2 โดยจะแยกเป็นการจำลอง 2 กรณี (โปรดดูรูปที่ 3) คือ

- (ก) กรณีนิวตรอนปฐมภูมิพลังงาน 14 MeV ที่มีลักษณะเป็นพีค
- (ข) กรณีนิวตรอนปนเปื้อนที่มีพลังงานตั้งแต่ 3.0 ถึง 12.0 MeV

ซึ่งผลรวมของสเปกตรัมการกระเจิงจริงจากทั้งสองกรณีที่จำลองได้นั้น จะต้องสอดคล้องกับสเปกตรัม DDX ที่วัดได้จากการทดลองจริง จึงจะถือว่าผลของการจำลองเหตุการณ์นี้มีความถูกต้องตามความเป็นจริง

แต่ก่อนที่จะทำการเปรียบเทียบกัน จะต้อง normalized สเปกตรัมทั้งหมดที่จำลองได้ด้วยค่าคงที่ค่าหนึ่ง ซึ่งหาได้จากการเฉลี่ยต่อตุณมุนกระเจิง ดังนั้นทำให้ผลของการเปรียบเทียบจะเป็นเพียงเพื่อที่จะใช้เป็นแนวทางเท่านั้น

ดังนั้นเพื่อหลีกเลี่ยงความผิดพลาดเนื่องจากการใช้ค่าคงที่ที่ไม่ถูกต้องในการ normalize นั้น ก็จะเปลี่ยนไปใช้วิธีการหาค่าอัตราส่วนระหว่างสเปกตรัมการกระเจิงอุดมคติจากนิวตรอนปฐมภูมิพลังงาน - 14 MeV กับผลรวมของสเปกตรัมการกระเจิงจริงจากนิวตรอนปฐมภูมิพลังงาน - 14 MeV กับสเปกตรัมการกระเจิงจริงจากนิวตรอนปนเปื้อน แล้วจึงนำค่าอัตราส่วนที่ได้ไปคูณกับสเปกตรัม DDX ที่วัดได้จากการทดลองจริง สำหรับการแก้ไขผลของการกระเจิงหลายครั้งและการลดทอนฟลักซ์ของนิวตรอน



รูปที่ 2 สถากรัมของแหล่งกำเนิดของนิวตรอนที่วัดได้จากการทดลอง ซึ่งประกอบด้วย พีคของนิวตรอนบาร์เมียมีพีคสูง 14 MeV และ นิวตรอนบาร์เมียมีพีคสูงที่ 3 ที่ 12 MeV

รูปที่ 3 การจำลองการรังสีนิวเคลียสและการวัดทางรังสีนิวเคลียสในวัสดุรองบ้าน้ำร้อนบาร์เมียม 14 MeV และ ทางรังสีบาร์เมียม 3 เมตร ของจานเผา

การจำลองการกระเจิงหล่ายครั้งและการลดthonฟลักซ์ของนิวตรอนโปรแกรมคอมพิวเตอร์ MCNP

หลักการส่วนใหญ่จะคล้ายกับโปรแกรม SYNTHIA ส่วนการใช้งานนั้นผู้ใช้มือสารที่จะกำหนดโดยต้องเป็นไปตามรูปแบบที่มีไว้ให้ อาทิ ชนิด สมบัติ และรูปทรงของวัตถุ ลักษณะของแหล่งกำเนิดอนุภาค และหัวด่อนุภาค เป็นต้น (โปรดดูภาคผนวก)

สำหรับขั้นตอนในการประยุกต์โปรแกรม MCNP เพื่อใช้การจำลองการกระเจิงหล่ายครั้ง และการลดthonฟลักซ์ของนิวตรอนนั้น กระทำโดยเลียนแบบโปรแกรม SYNTHIA คือ

(ก) กรณีสเปกตรัมการกระเจิงจริง ใน input file ของ MCNP จะกำหนดให้

- Cell และ Surface cards เป็นรูปทรงระบบบอกเมื่อนอกกับวัตถุตัวอย่างที่ใช้ในการทดลองจริงทุกประการ
 - Material card เป็นของธาตุบิสมัท
 - Source card เป็นนิวตรอนปั๊มน้ำมีพลังงาน 14 MeV ที่มีลักษณะเป็นพีดค

(ข) กรณีสเปกตรัมการกระเจิงจากนิวตรอนปนเปื้อน

- Cell และ Surface cards - เมื่อนกรณี (ก)
- Material card เมื่อนกรณี (ก)
- Source card เป็นนิวตรอนปนเปื้อนที่มีพลังงานตั้งแต่ 3.0 ถึง 12.0 MeV

(ค) กรณีสเปกตรัมการกระเจิงอุดมคติ

- Material card เมื่อนกรณี (ก)
- Source card- เมื่อนกรณี (ก)
- Cell และ Surface cards จะกำหนดให้รูปทรงระบบบอกนั้นมีขนาดที่เล็กมาก คือ มีรัศมีเพียง 0.00001 ซม. และยาว 0.00001 ซม. เพื่อหลีกเลี่ยงการกระเจิงหล่ายครั้งและการลดthonฟลักซ์ของนิวตรอนโดยใช้วารี Variance reduction ของ MCNP คือ Force collision ซึ่งวิธีนี้จะเป็นการบังคับให้นิวตรอนเข้าไปใน cell ที่ต้องการ ซึ่งหมายความว่ากรณีที่วัตถุมีขนาดเล็กมาก เมื่อเทียบกับ mean free path

และผลลัพธ์จากการจำลองสามารถคำนวณได้ว่าโอกาสที่จะเกิดการกระเจิงมากกว่านึงครั้งมีเพียง 0.0002 เปอร์เซ็นต์

บทที่ 3

ผลการจำลอง

ผลการจำลองスペกตรัมของการกระเจิงหลายครั้งจากโปรแกรม SYNTHIA

โดยจะแสดงスペกตรัมที่จำลองได้ของแต่ละครั้งของการกระเจิง คือ

- スペกตรัมของการกระเจิง 1 ครั้ง(Single scattering)
 - スペกตรัมของการกระเจิง 2 ครั้ง(Double scattering)
 - スペกตรัมของการกระเจิง 3 ครั้ง (Triple scattering) และ
 - スペกตรัมของการกระเจิง 4 ครั้ง(Quadruple scattering)
- ที่มุ่งกระเจิงตั้งแต่ 30 ถึง 150 องศา สำหรับแต่ละกรณีต่างๆ

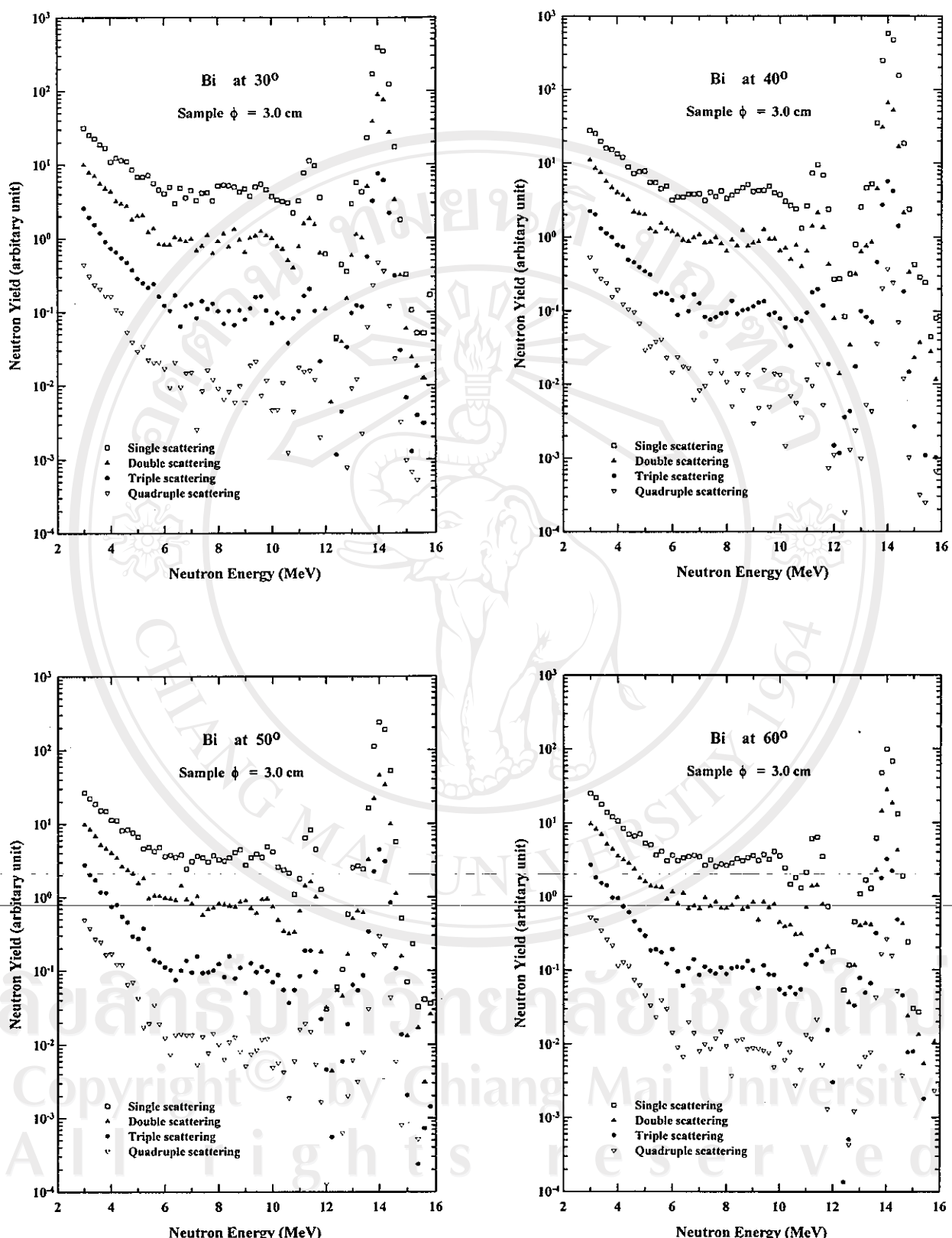
3.1 เมื่อวัตถุตัวอย่างมีขนาดเส้นผ่าศูนย์กลาง 3.0 เซนติเมตร

- กรณีนิวตรอนปฐมภูมิพลังงาน 14 MeV (พีค)

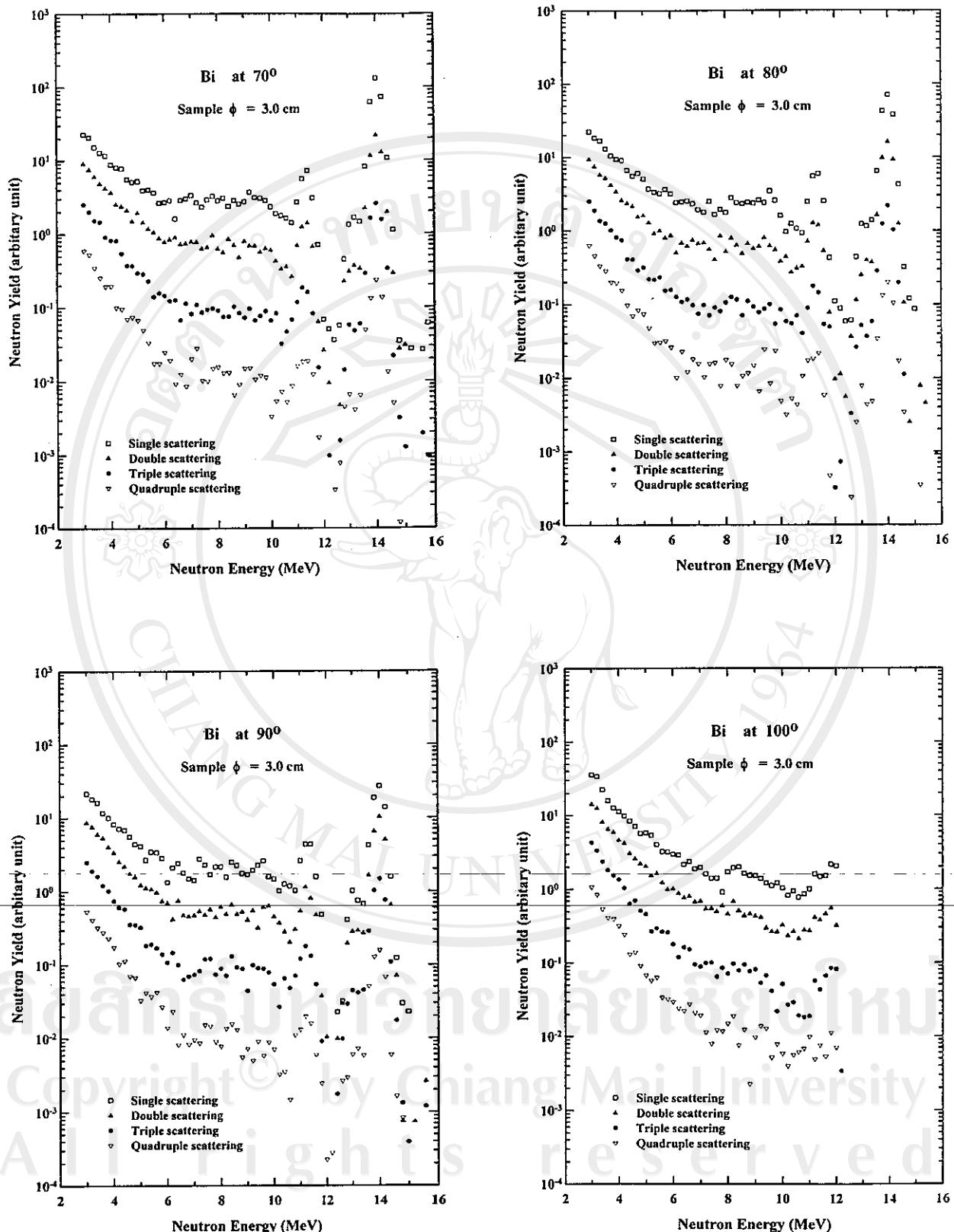
จากรูปที่ 4 ถึง 7 จะสังเกตได้ว่า ตลอดทุกมุ่งกระเจิง สเปกตรัมที่จำลองได้ของการกระเจิง 2 ครั้ง มีผลกระทบต่อสเปกตรัมที่จำลองได้ของการกระเจิง 1 ครั้ง คือในช่วงนิวตรอนพลังงาน 3 ถึง 6 MeV มีผลทำให้เพิ่มขึ้นประมาณ 25 ถึง 34 เปอร์เซ็นต์ และในช่วงนิวตรอนพลังงาน 6 MeV ขึ้นไป มีผลทำให้เพิ่มขึ้นประมาณ 19 ถึง 22 เปอร์เซ็นต์

ส่วนสเปกตรัมของการกระเจิง 3 ครั้งมีผลกระทบต่อการกระเจิง 1 ครั้ง คือในช่วงนิวตรอนพลังงาน 3 ถึง 6 MeV มีผลทำให้เพิ่มขึ้นประมาณ 4 ถึง 7 เปอร์เซ็นต์ และในช่วงนิวตรอนพลังงาน 6 MeV ขึ้นไป มีผลทำให้เพิ่มขึ้นประมาณ 1 ถึง 2 เปอร์เซ็นต์

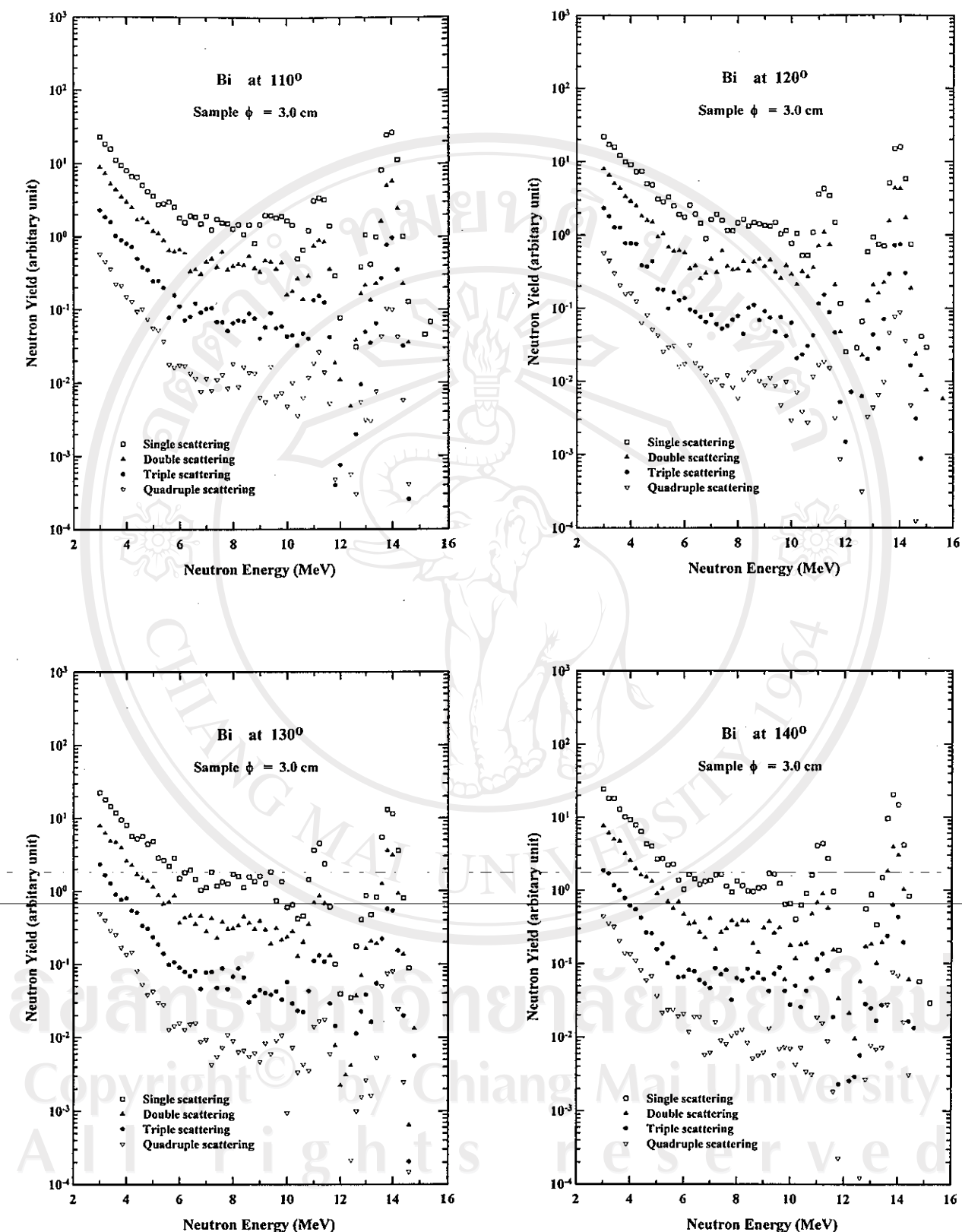
และสำหรับสเปกตรัมของการกระเจิง 4 ครั้งนี้จะสังเกตได้ว่าน้อยกว่าสเปกตรัมของการกระเจิง 1 ครั้งมาก ๆ ดังนั้นผลกระทบจึงไม่มีเลย



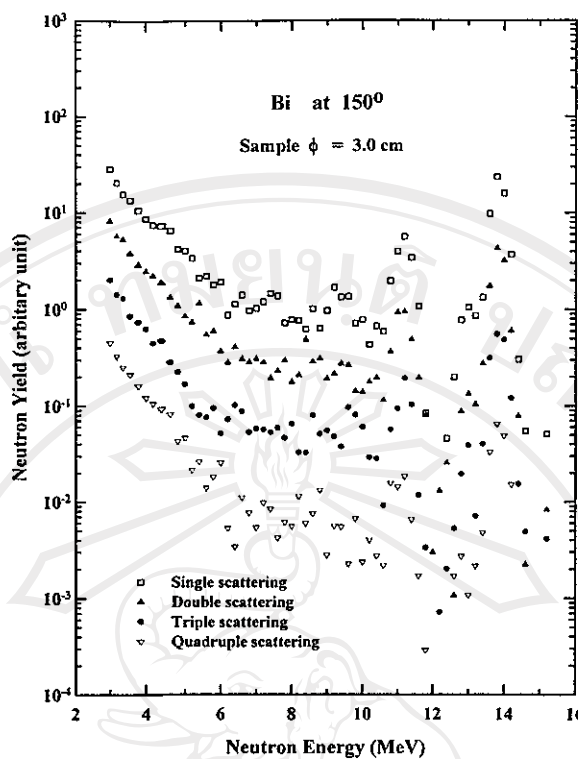
รูปที่ 4 สเปกตรัมการกระเจิง 1 2 3 และ 4 ครั้งของนิวตรอน 14 MeV ในวัตถุตัวอย่าง Bi ที่มีเส้นผ่าศูนย์กลาง 3.0 ซม ที่มุมกระเจิง 30 40 50 และ 60 องศา โดยใช้โปรแกรม SYNTHIA



รูปที่ 5 สเปกตรัมการกระเจิง 1 2 3 และ 4 ครั้งของนิวเคลอน 14 MeV ในวัตถุตัวอย่าง Bi ที่มีเส้นผ่าศูนย์กลาง 3.0 ซม ที่มุมกระเจิง 70 80 90 และ 100 องศา โดยใช้โปรแกรม SYNTHIA



รูปที่ 6 สเปกตรัมการกระเจิง 1 2 3 และ 4 ครั้งของนิวตรอน 14 MeV ในวัตถุด้าวย่าง Bi ที่มีเส้นผ่าศูนย์กลาง 3.0 ซม ที่มุม
กระเจิง 110° 120° 130° และ 140° องศา โดยใช้โปรแกรม SYNTHIA



รูปที่ 7 สเปกตรัมการกระเจิง 1 2 3 และ 4 ครั้งของนิวตรอน 14 MeV ในวัตถุตัวอย่าง Bi ที่มีเส้นผ่าศูนย์กลาง 3.0 ซม ที่มุม กระเจิง 150 องศา โดยใช้โปรแกรม SYNTHIA

อิทธิพลนิวตรอนปนเปื้อน

-กรณีนิวตรอนปนเปื้อน

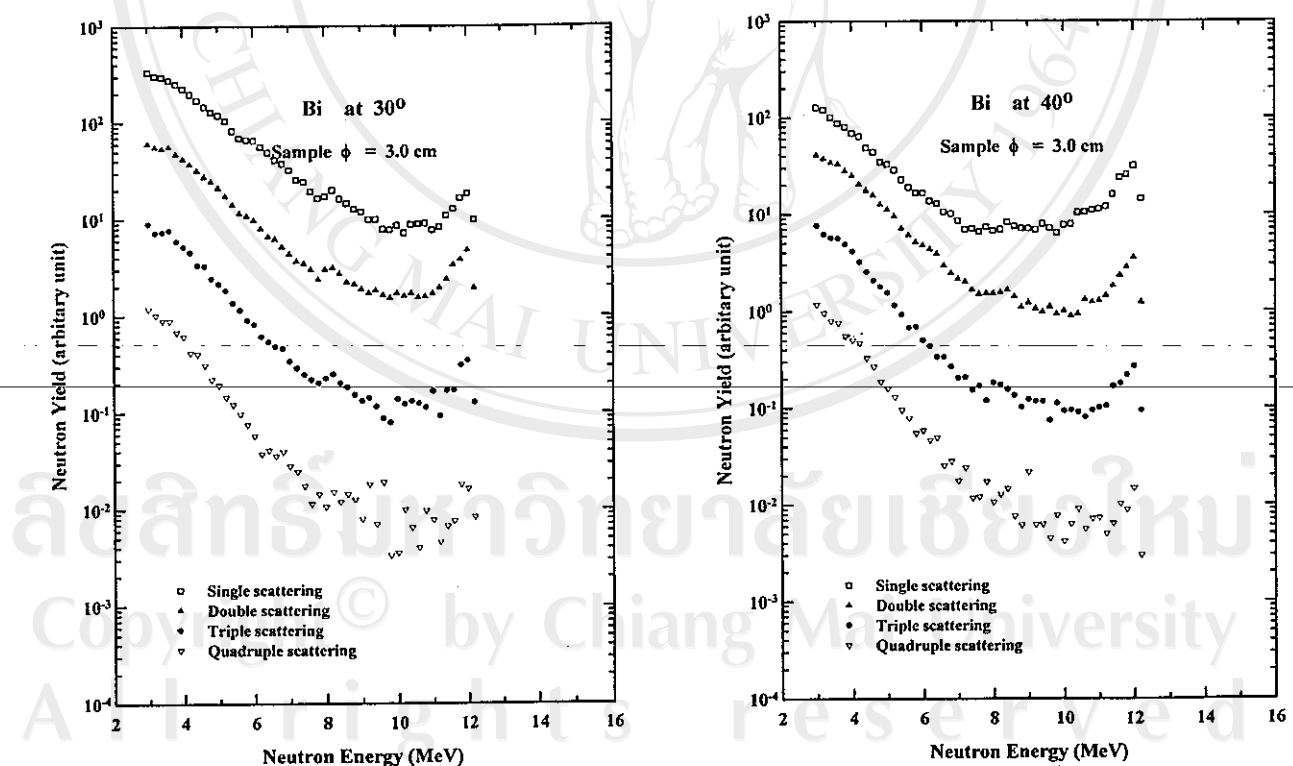
จากรูปที่ 8 ถึง 11 จะสังเกตได้ว่า ที่มุมกระเจิง 30 และ 40 องศา นิวตรอน 14 MeV ที่มีผลผลกระทบต่อการกระเจิง 2 ครั้ง มีผลผลกระทบต่อการกระเจิง 1 ครั้ง คือในตลอดช่วงพลังงานของนิวตรอน มีผลทำให้เพิ่มขึ้นประมาณ 14 ถึง 20 เปอร์เซ็นต์

ส่วนสเปกตรัมของการกระเจิง 3 ครั้งมีผลกระทบต่อการกระเจิง 1 ครั้ง คือในตลอดช่วงพลังงานของนิวตรอน มีผลทำให้เพิ่มขึ้นประมาณ 1 ถึง 2 เปอร์เซ็นต์

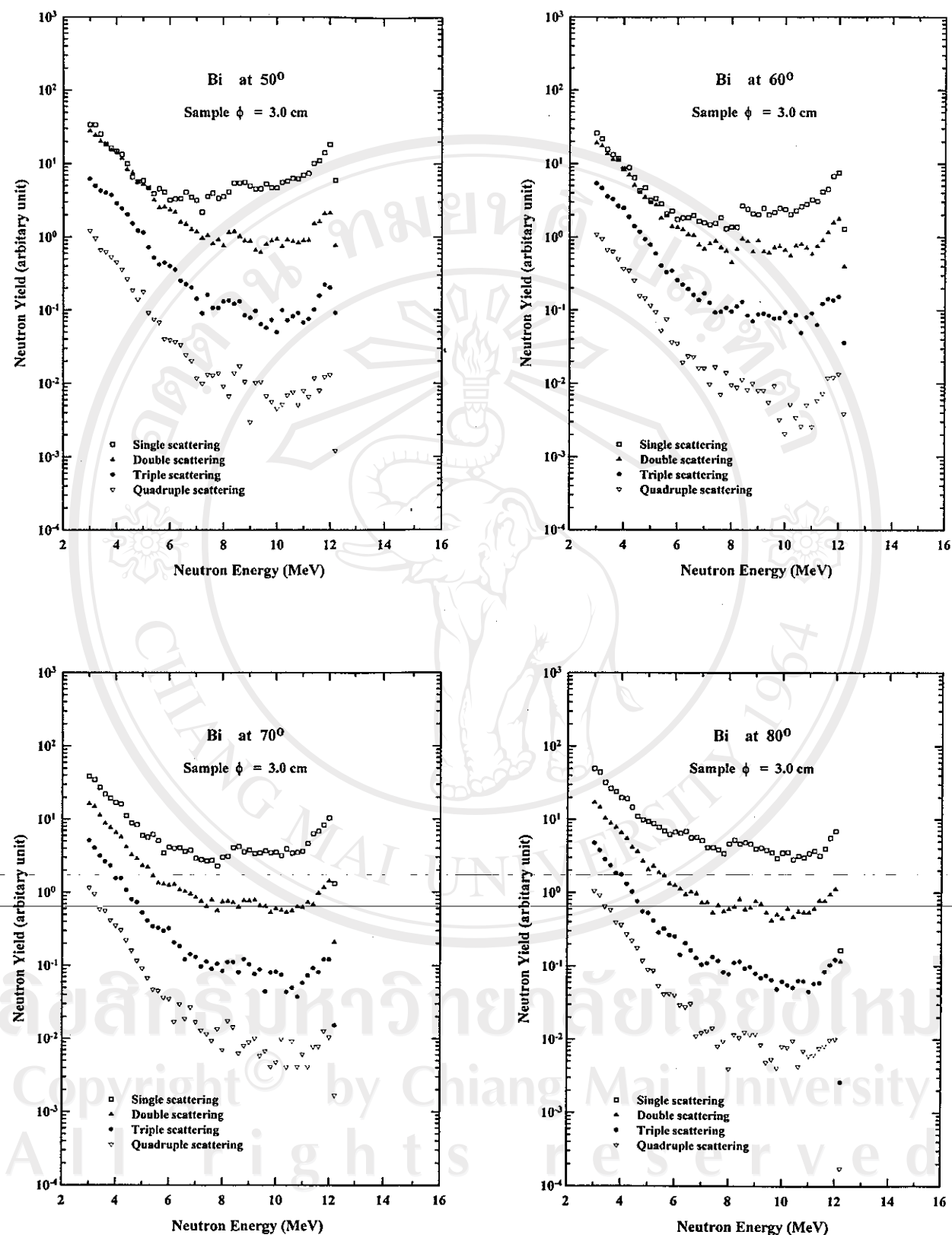
และสำหรับสเปกตรัมของการกระเจิง 4 ครั้งนั้นก็ไม่มีผลกระทบต่อสเปกตรัมของการกระเจิง 1 ครั้งเหมือนกับกรณีนิวตรอน 14 MeV (พีค)

แต่ที่มุนกระเจิงตั้งแต่ 50 องศาขึ้นไปนั้นกลับพบว่า สเปกตรัมที่จำลองได้ของกระเจิง 2 ครั้ง มีผลกระทบต่อสเปกตรัมที่จำลองได้ของการกระเจิง 1 ครั้งมากขึ้น คือในช่วงนิวตรอนพลังงาน 3 ถึง 6 MeV มีผลกระทบเพิ่มขึ้นมากกว่า 30 เปอร์เซ็นต์

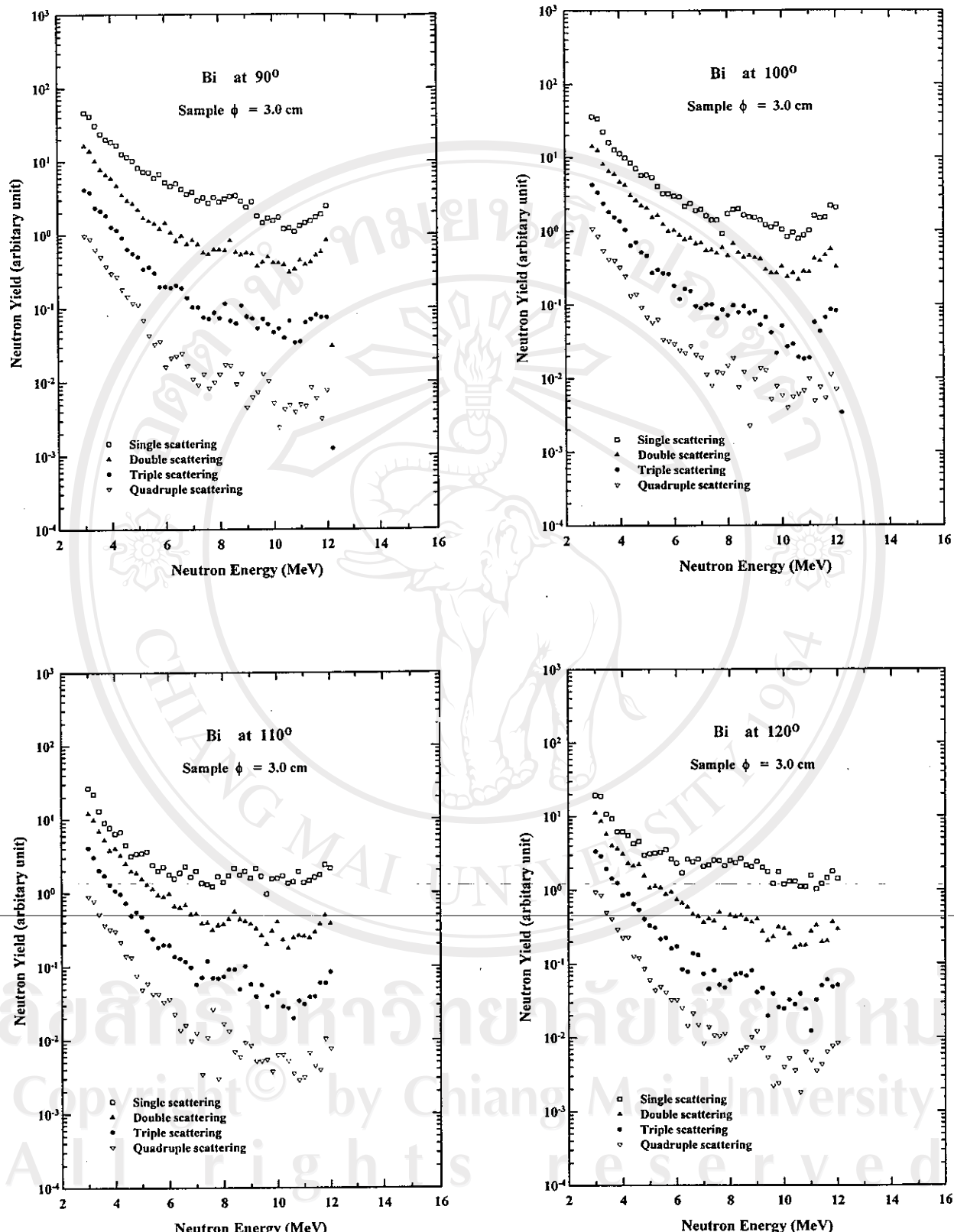
และโดยเฉพาะอย่างยิ่งที่มุนกระเจิง 50 และ 60 องศาที่น้ำหนักเพิ่มขึ้นเกือบ 100 เปอร์เซ็นต์ แต่ทั้งนี้แล้วถ้าพิจารณาให้ละเอียดจะพบว่าเป็นเพราะสเปกตรัมของการกระเจิง 1 ครั้งลดต่ำลงมากต่างหาก ทั้งเป็นเพราะว่าโอกาสของการเกิดการกระเจิงของนิวตรอนพลังงานต่ำ ที่มุนกระเจิงมากกว่า 50 องศาที่มีค่าน้อยมาก ซึ่งจะทำให้ผลกระทบจากการณีนิวตรอนปานเปื้อนที่มีต่อกรณีนิวตรอน 14 MeV (พีค) ก็จะลดลงมากตามไปด้วย (ดูในหัวข้อที่ 3.3)



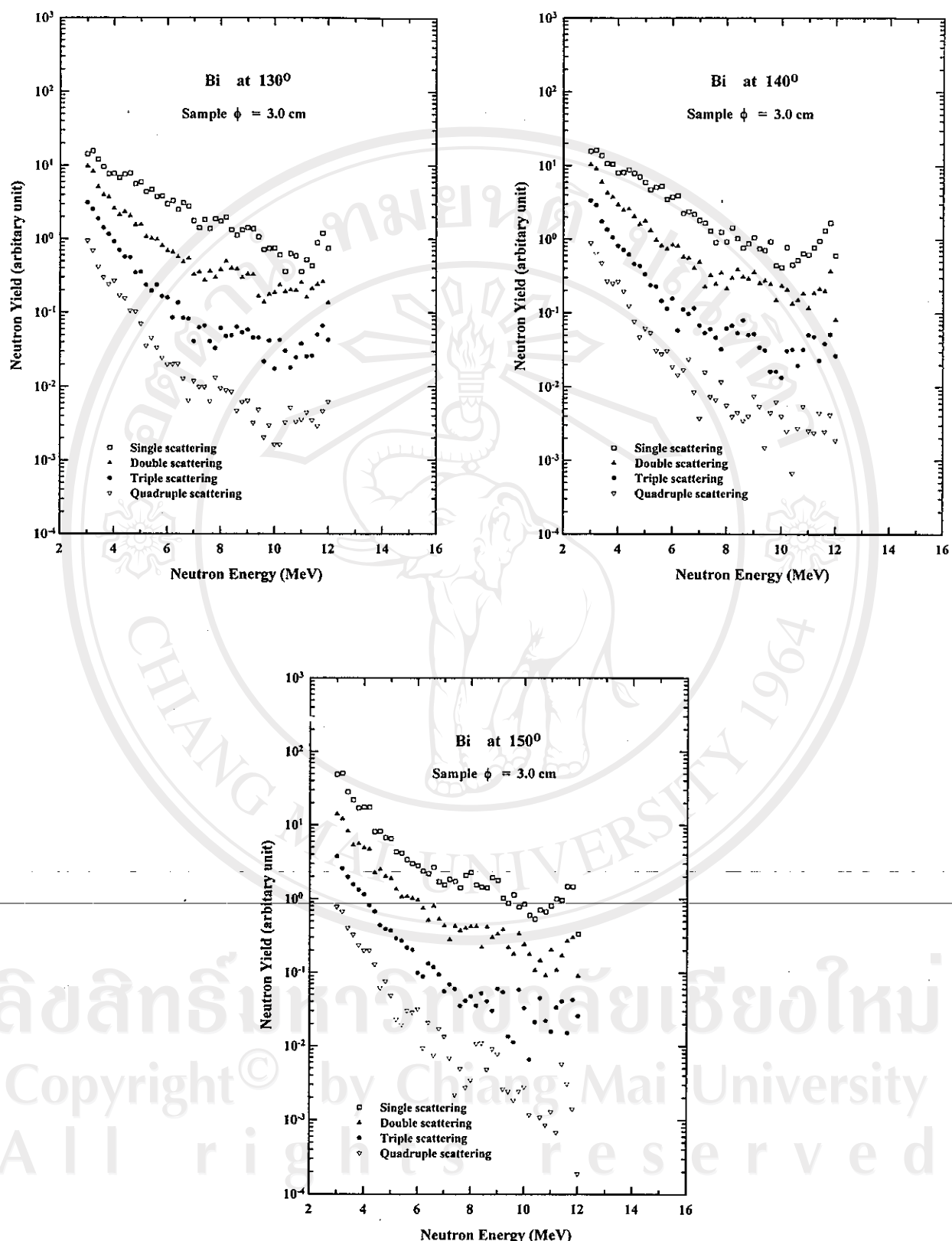
รูปที่ 8 สเปกตรัมการกระเจิง 1 2 3 และ 4 ครั้งของนิวตรอนปานเปื้อน ในวัสดุถั่วอย่าง Bi ที่มีเส้นผ่าศูนย์กลาง 3.0 ซม ที่มุนกระเจิง 30 และ 40 องศา โดยใช้โปรแกรม SYNTHIA



รูปที่ 9 สเปกตรัมการกระเจิง 1 2 3 และ 4 ครั้งของนิวตรอนปานเปื้อน ในวัตถุตัวอย่าง Bi ที่มีเส้นผ่าศูนย์กลาง 3.0 ซม ที่มุ่นกระเจิง 50 60 70 และ 80 องศา โดยใช้โปรแกรม SYNTHIA



รูปที่ 10 สเปกตรัมการกระเจิง 1 2 3 และ 4 ครั้งของนิวเคลียสปานเปื้อน ในวัตถุตัวอย่าง Bi ที่มีเส้นผ่าศูนย์กลาง 3.0 ซม ที่มุมกระเจิง 90 100 110 และ 120 องศา โดยใช้โปรแกรม SYNTHIA

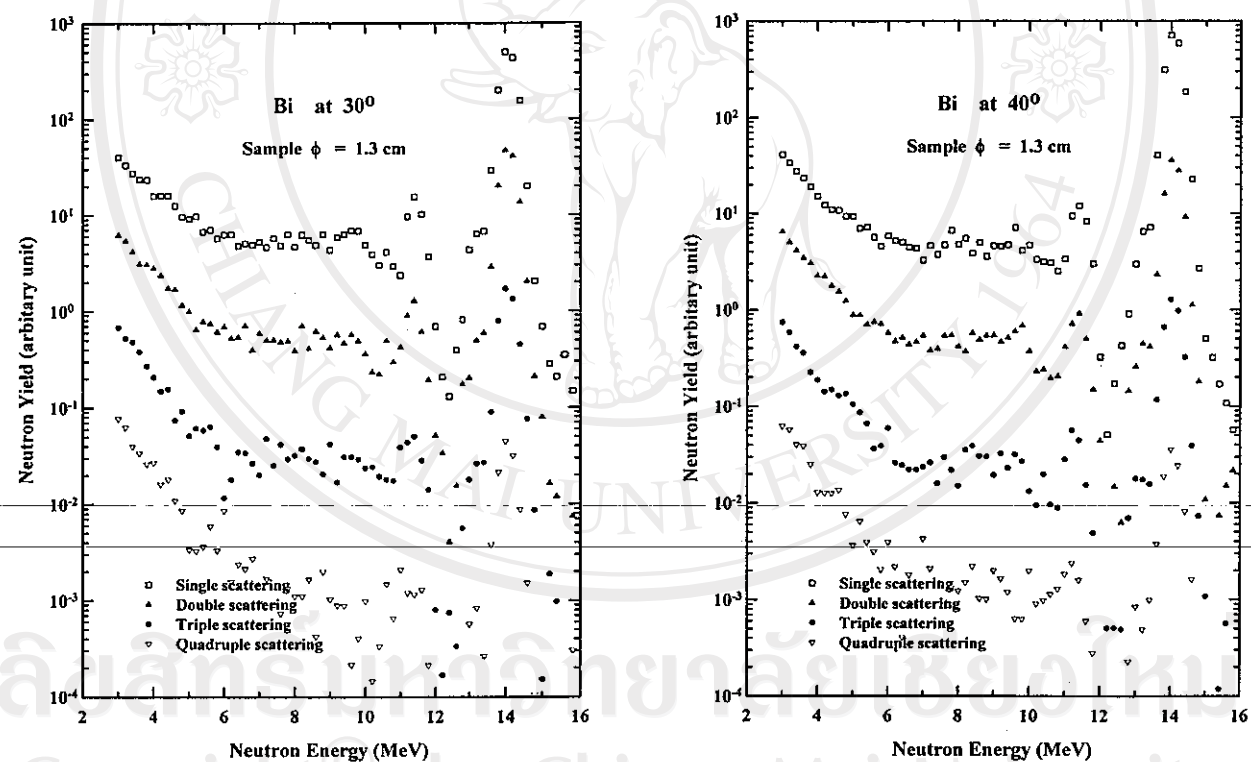


รูปที่ 11 สเปกตรัมการกระเจิง 1, 2, 3 และ 4 ครั้งของนิวตรอนปนเปื้อน ในวัตถุตัวอย่าง Bi ที่มีเส้นผ่าศูนย์กลาง 3.0 ซม ที่มุมกระเจิง 130, 140 และ 150 องศา โดยใช้โปรแกรม SYNTHIA

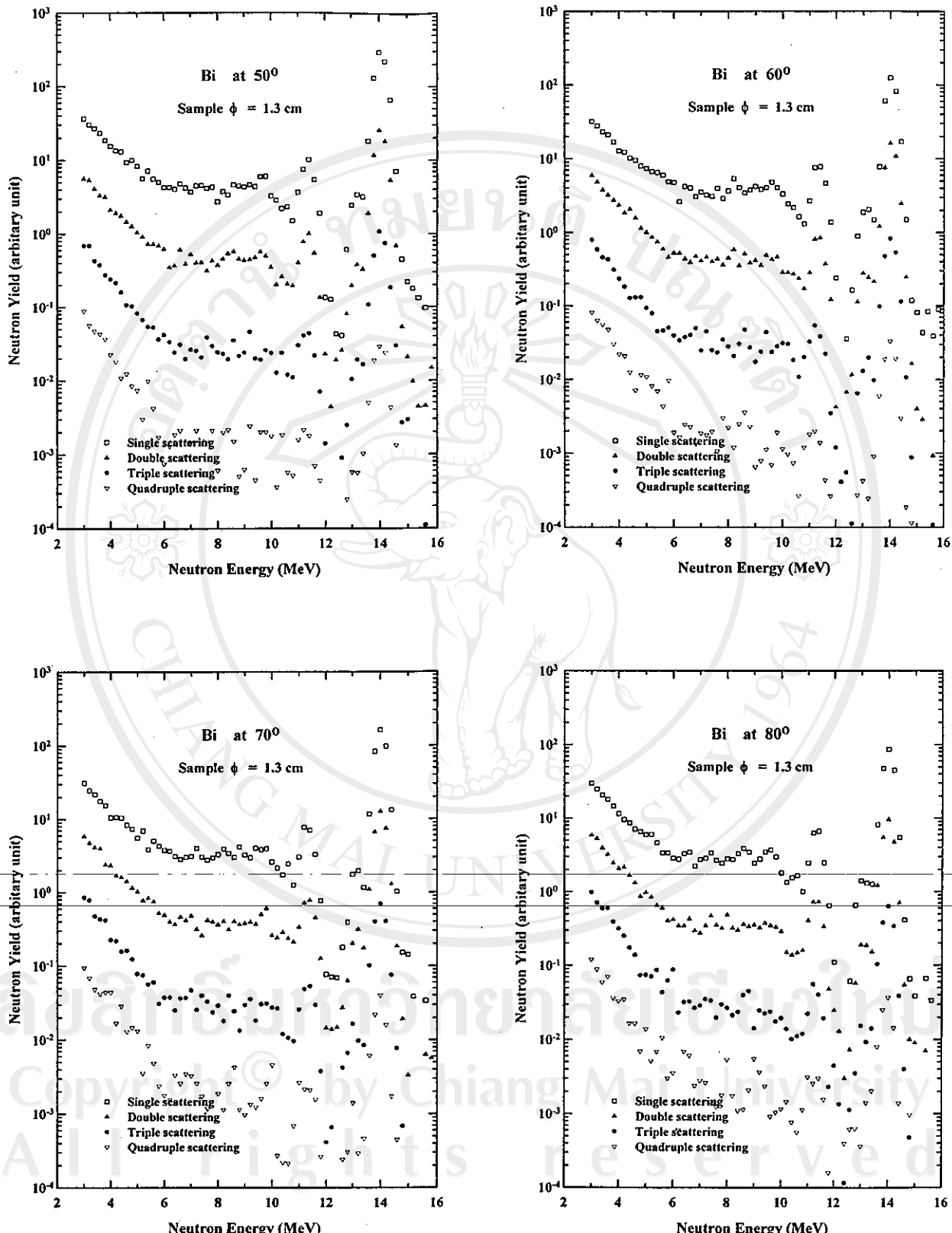
3.2 เมื่อวัตถุตัวอย่างมีขนาดเล็กกว่าศูนย์กลาง 1.3 เซนติเมตร

-กรณีนิวตรอนพลังงาน 14 MeV (พีค)

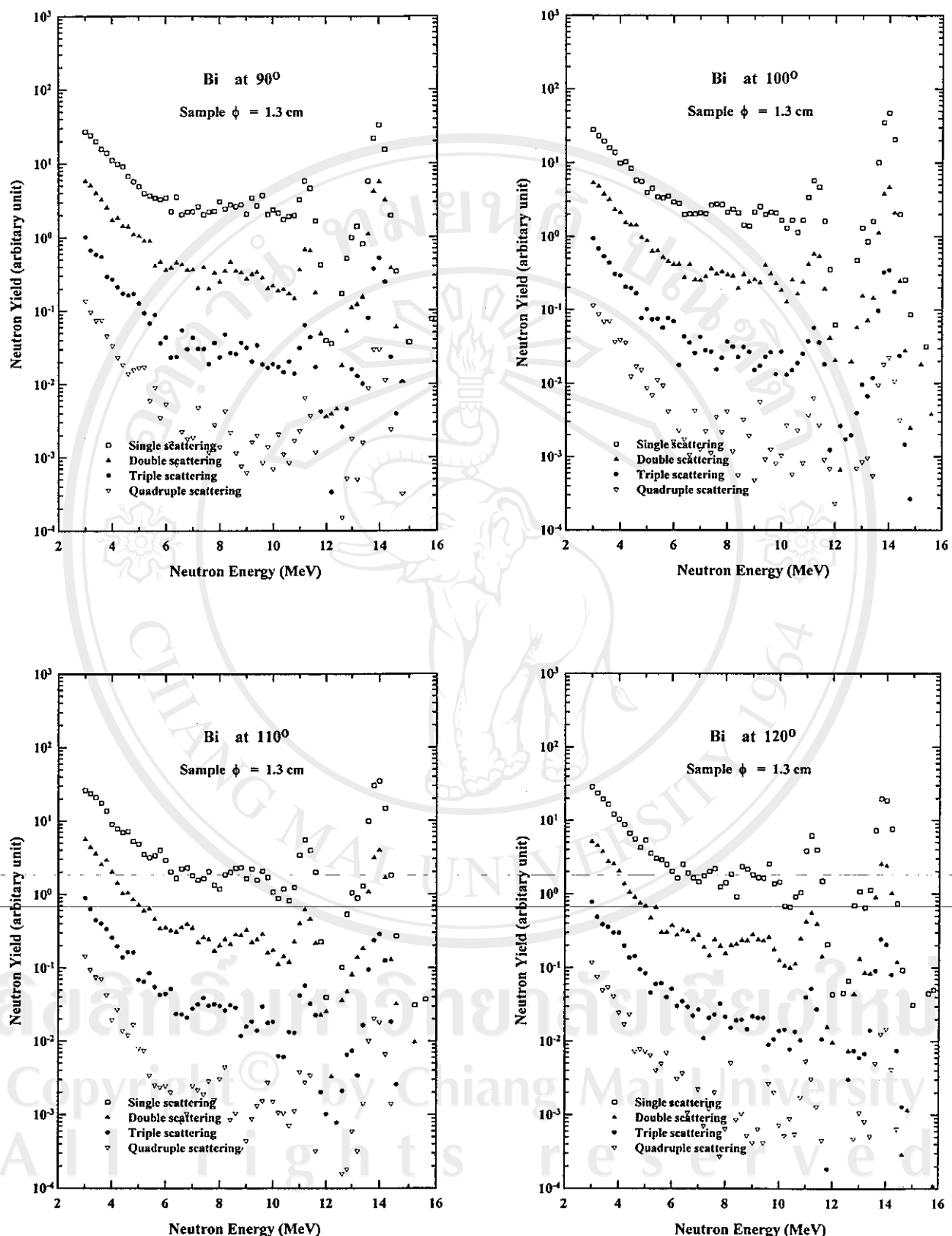
จากรูปที่ 12 ถึง 15 จะสังเกตได้ว่า ตลอดทุกมุมกระเจิง สเปกตรัมของการกระเจิง 2 ครั้งมีผลกระแทบต่อการกระเจิง 1 ครั้งลดลงมากเมื่อเทียบกับกรณีวัตถุตัวอย่างขนาด 3 ซม คือในช่วงนิวตรอนพลังงาน 3 ถึง 6 MeV มีผลกระแทบลดลงเหลือเพียงประมาณ 10 ถึง 15 เปอร์เซ็นต์เท่านั้น และในช่วงนิวตรอนพลังงาน 6 MeV ขึ้นไป มีผลกระแทบที่เพียงประมาณ 1 เปอร์เซ็นต์ ส่วนสเปกตรัมของการกระเจิงมากกว่า 2 ครั้งขึ้นไปนั้น มีผลกระแทบน้อยกว่า 1 เปอร์เซ็นต์



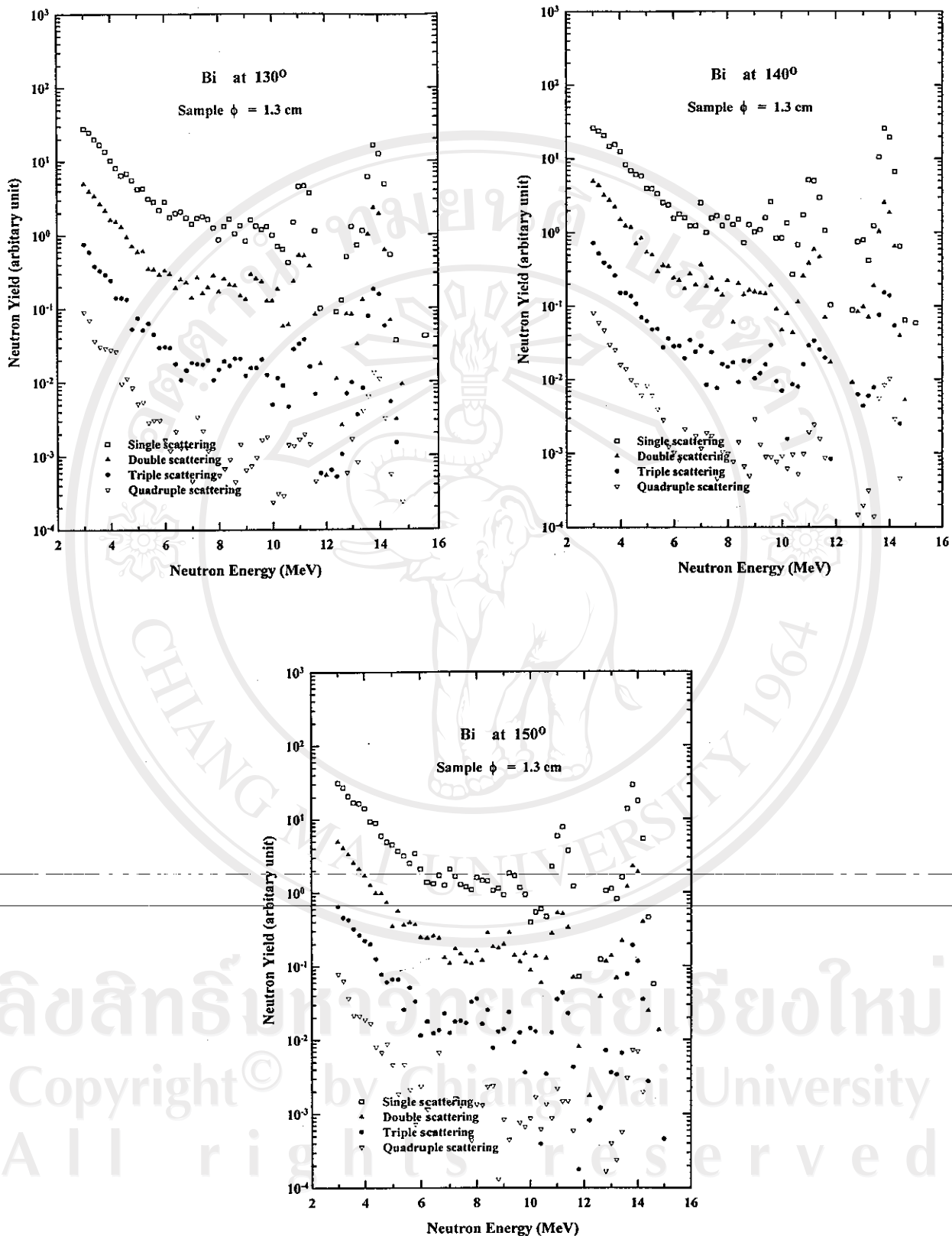
รูปที่ 12 สเปกตรัมการกระเจิง 1 2 3 และ 4 ครั้งของนิวตรอน 14 MeV ในวัตถุตัวอย่าง Bi ที่มีเส้นผ่าศูนย์กลาง 1.3 ซม ที่มุมกระเจิง 30 และ 40 องศา โดยใช้โปรแกรม SYNTHIA



รูปที่ 13 สเปกตรัมการกระเจิง 1 2 3 และ 4 ครั้งของนิวตรอน 14 MeV ในวัตถุตัวอย่าง Bi ที่มีเส้นผ่าศูนย์กลาง 1.3 ซม ที่มุมกระเจิง 5060 70 และ 80 องศา โดยใช้โปรแกรม SYNTHIA



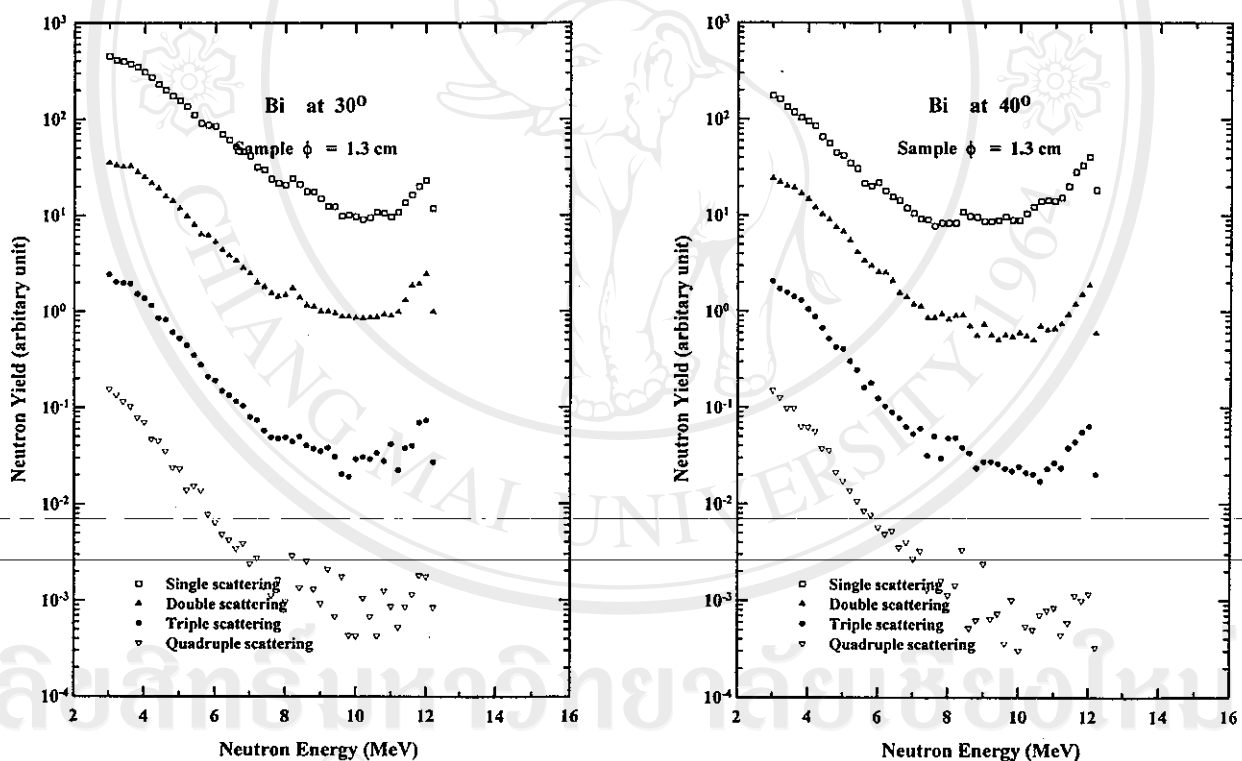
รูปที่ 14 สเปกตรัมการกระเจิง 1 2 3 และ 4 ครั้งของนิวตรอน 14 MeV ในวัตถุตัวอย่าง Bi ที่มีเส้นผ่าศูนย์กลาง 1.3 ซม ที่มุมกระเจิง 90 100 110 และ 120 องศา โดยใช้โปรแกรม SYNTHIA



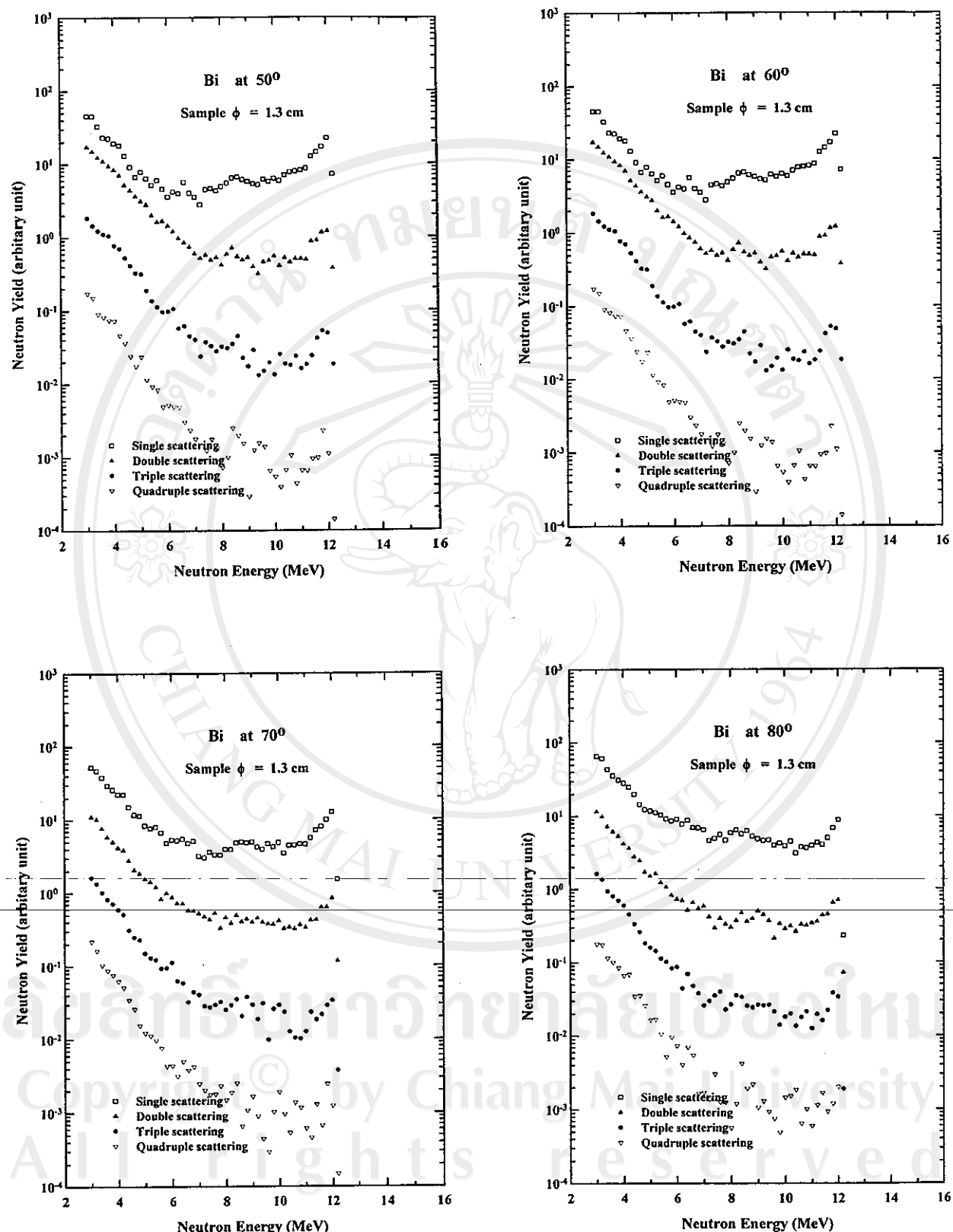
รูปที่ 15 สเปกตรัมการกระเจิง 1 2 3 และ 4 ครั้งของนิวตรอน 14 MeV ในวัตถุตัวอย่าง Bi ที่มีเส้นผ่าศูนย์กลาง 1.3 ซม ที่มุมกระเจิง 130 140 และ 150 องศา โดยใช้โปรแกรม SYNTHIA

-กรณีนิวตรอนปนเปื้อน

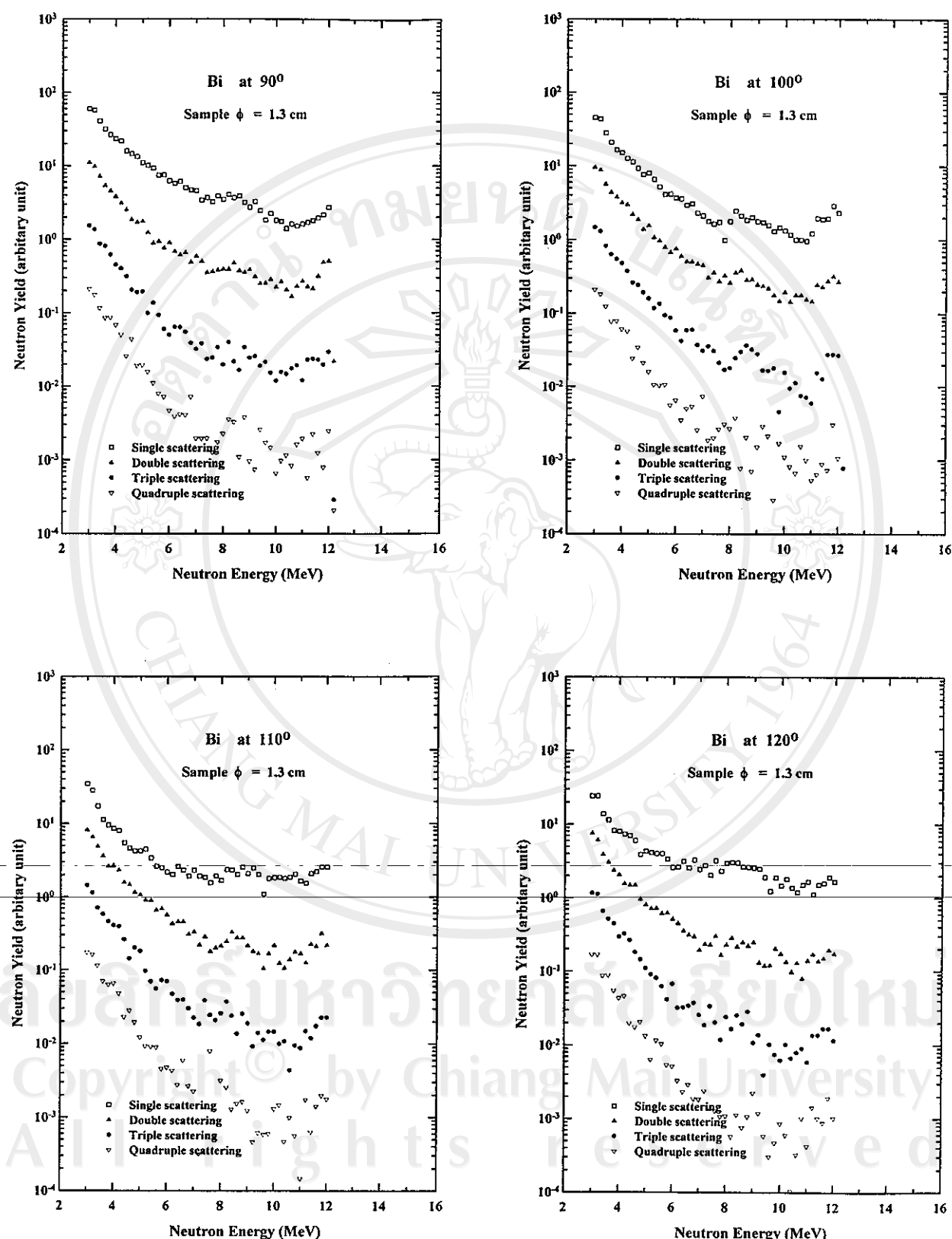
จากรูปที่ 16 ถึง 19 จะสังเกตได้ว่า ที่มุมกระเจิง 30 และ 40 องศา นิวตรอน สเปกตรัมของการกระเจิง 2 ครั้ง มีผลกระแทบท่อการกระเจิง 1 ครั้งลดลงมากเมื่อเทียบกับกรณีวัตถุตัวอย่างขนาด 3 ซม. คือในตลอดช่วงพลังงานของนิวตรอน มีผลกระแทบทดลงเหลือเพียงประมาณ 6 ถึง 8 เปอร์เซ็นต์ ส่วนสเปกตรัมของการกระเจิงมากกว่า 1 ครั้งขึ้นไปนั้น แทนจะไม่มีผลกระแทบทเลย ส่วนที่มุมกระเจิงตั้งแต่ 50 องศาขึ้นไปนั้นพบว่าคล้ายกับกรณีวัตถุตัวอย่างขนาด 3 ซม. แต่ผลกระแทบ สเปกตรัมของการกระเจิง 2 ครั้งต่อการกระเจิง 1 ครั้งลดลงเหลือเพียงประมาณ 20 เปอร์เซ็นต์



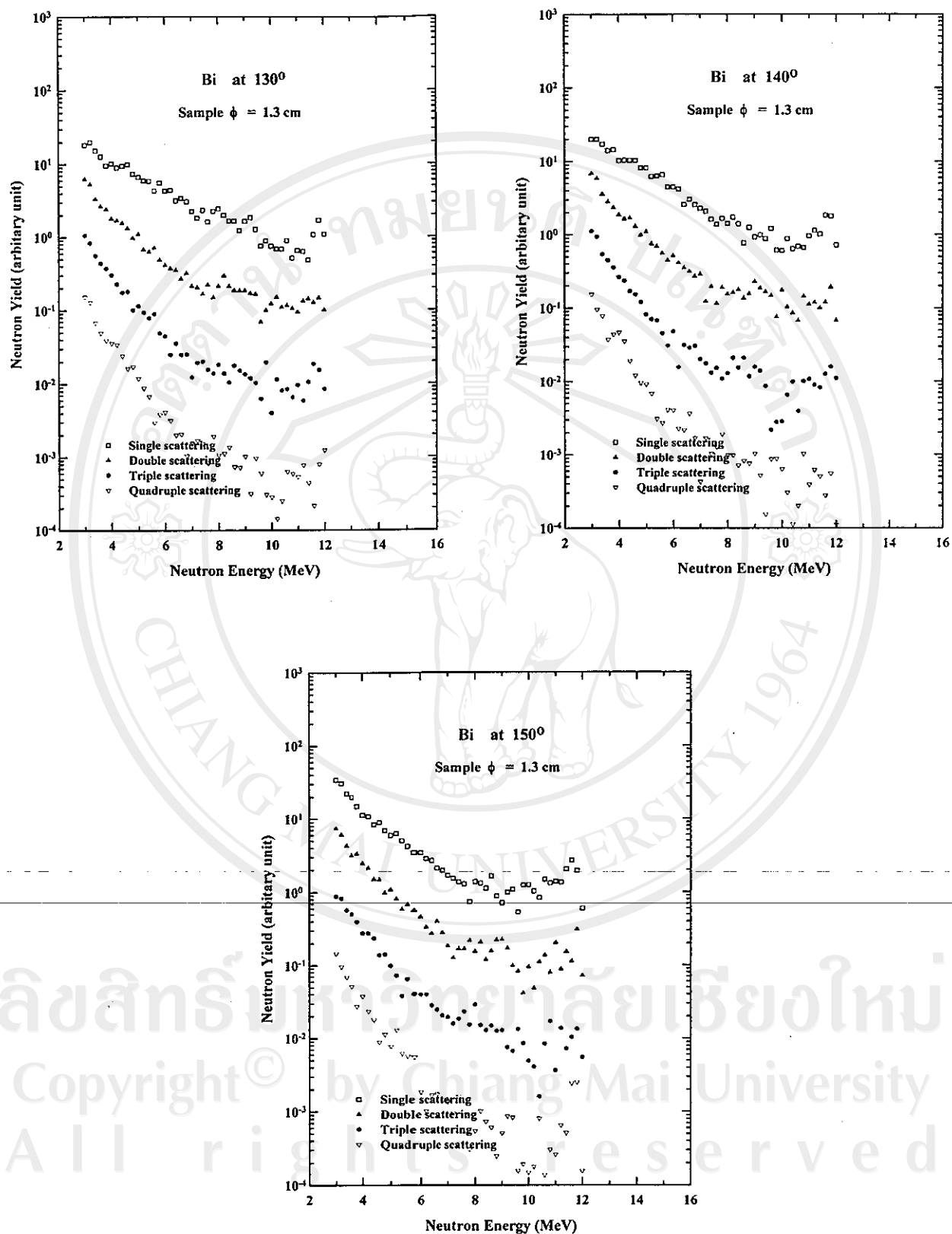
รูปที่ 16 สเปกตรัมการกระเจิง 1 2 3 และ 4 ครั้งของนิวตรอนปนเปื้อน ในวัตถุตัวอย่าง Bi ที่มีเส้นผ่าศูนย์กลาง 1.3 ซม ที่มุมกระเจิง 30 และ 40 องศา โดยใช้โปรแกรม SYNTHIA



รูปที่ 17 สเปกตรัมการกระเจิง 1 2 3 และ 4 ครั้งของนิวตรอนปานเปื้อน ในวัสดุตัวอย่าง Bi ที่มีเส้นผ่าศูนย์กลาง 1.3 ซม ที่มุมกระเจิง 50 60 70 และ 80 องศา โดยใช้โปรแกรม SYNTHIA



รูปที่ 18 สเปกตรัมการกระเจิง 1 2 3 และ 4 ครั้งของนิวตรอนปนเปื้อน ในวัตถุตัวอย่าง Bi ที่มีเส้นผ่าศูนย์กลาง 1.3 ซม ที่มุมกระเจิง 90 100 110 และ 120 องศา โดยใช้โปรแกรม SYNTHIA



รูปที่ 19 สเปกตรัมการกระเจิง 1 2 3 และ 4 ครั้งของนิวตรอนปนเปื้อน ในวัตถุตัวอย่าง Bi ที่มีเส้นผ่าศูนย์กลาง 1.3 ซม ที่มุมกระเจิง 90 100 110 และ 120 องศา โดยใช้โปรแกรม SYNTHIA

ผลการจำลองสเปกตรัมการกระเจิงอุดมคติ สเปกตรัมการกระเจิงจากนิวตรอน 14 MeV และสเปกตรัมการกระเจิงจากนิวตรอนป่นเปื้อนโดยใช้โปรแกรม SYNTHIA

3.3 เมื่อวัตถุตัวอย่างมีขนาดเส้นผ่าศูนย์กลาง 3 เซนติเมตร

กรณีนิวตรอนพลังงาน 14 MeV (พีค)

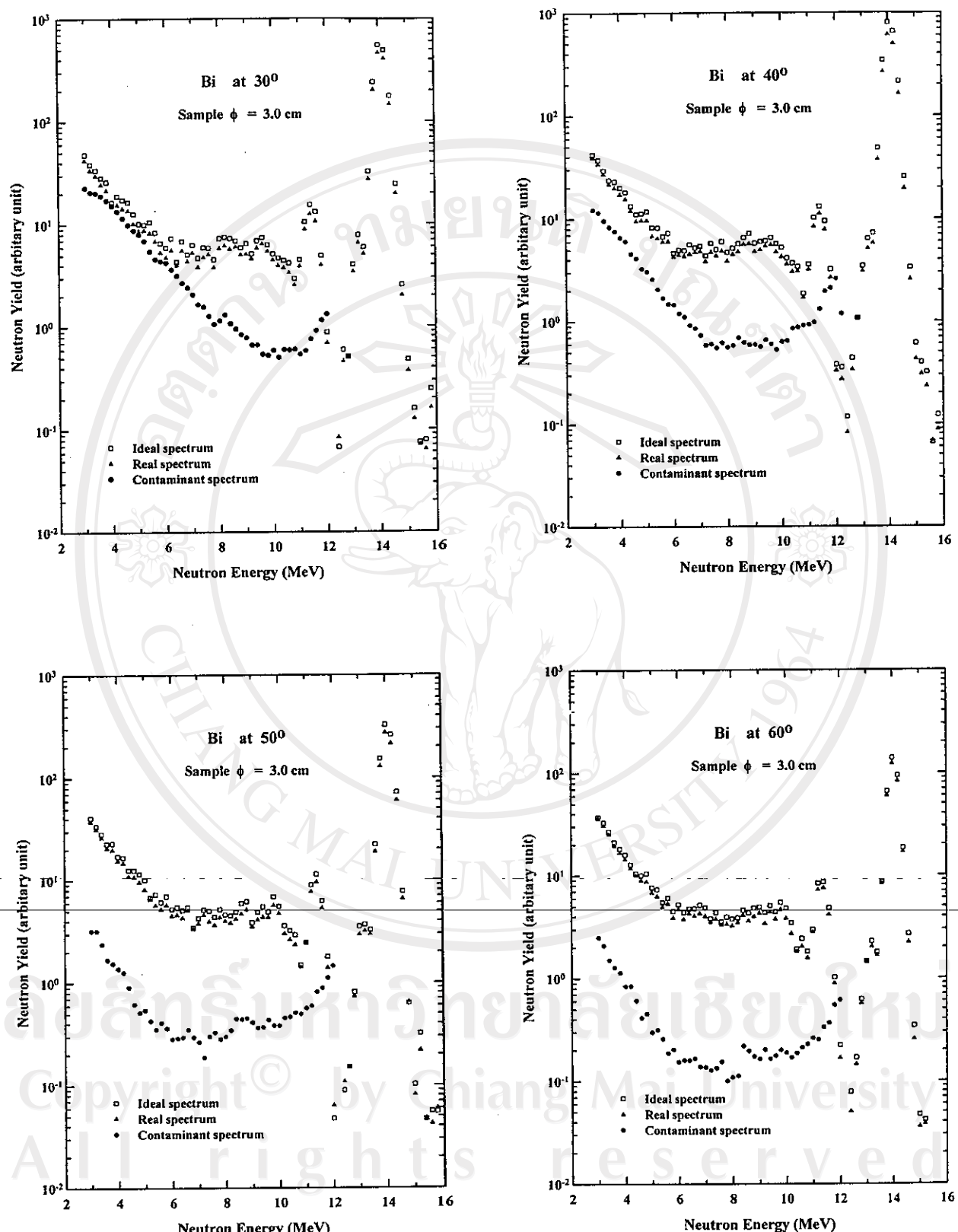
จากรูปที่ 20 ถึง 23 จะสังเกตได้ว่า ตลอดทุกมุมกระเจิง สเปกตรัมการกระเจิงจะต่ำกว่า สเปกตรัมการกระเจิงอุดมคติ ทั้งนี้เป็นผลเนื่องมาจากการเกิดการลดทอนฟลักซ์ของนิวตรอน

แต่เมื่อเปรียบเทียบระหว่างกรณีที่มุมกระเจิงต่ำๆตั้งแต่ 30 ถึง 60 องศา กับกรณีที่มุมกระเจิงสูงๆตั้งแต่ 90 องศาขึ้นไป พบร่วมสเปกตรัมการกระเจิงจริงที่มุมกระเจิงต่ำมีค่าต่ำกว่าที่มุมกระเจิงสูง ทั้งนี้อาจเป็นเพราะว่าที่มุมกระเจิงต่ำๆ นั้น การเกิดการกระเจิงมักจะเป็นแบบยึดหยุ่น(Elastic scattering) เสียเป็นส่วนใหญ่ ดังนั้นการกระเจิงแบบอื่นๆจึงมีค่าลดลง ดังจะเห็นได้จากพีคของการกระเจิงแบบยึดหยุ่น(ที่พลังงาน 14 MeV) ที่มุมกระเจิงต่ำมีค่าสูงกว่าที่มุมกระเจิงสูงมาก

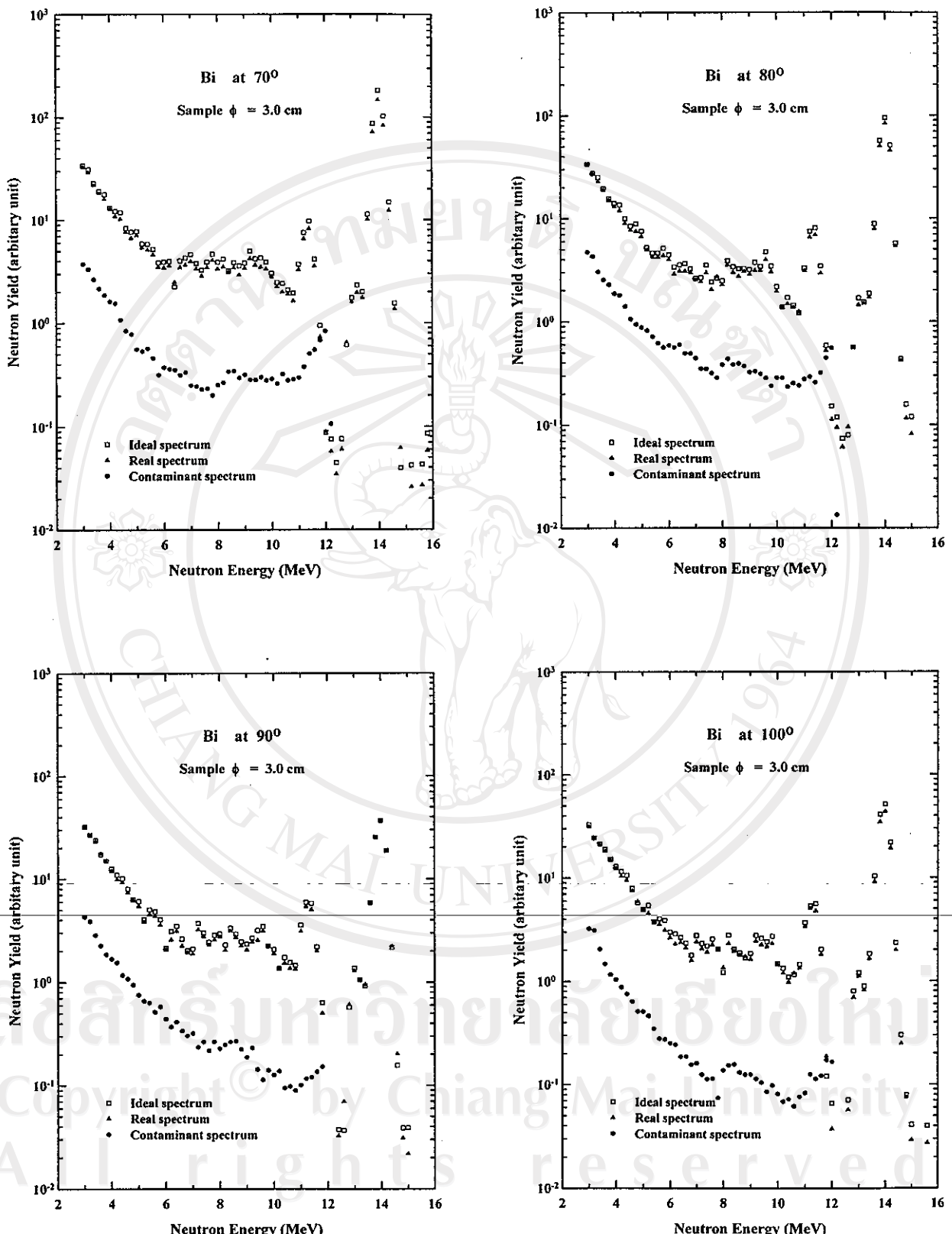
-กรณีนิวตรอนป่นเปื้อน

จากรูปที่ 20 ถึง 23 ได้แสดงสเปกตรัมการกระเจิงจากนิวตรอนป่น ซึ่งจะสังเกตได้ว่า ที่มุมกระเจิง 30 และ 40 องศา จะมีผลกระแทบท่อสเปกตรัมการกระเจิงจริงจากนิวตรอน 14 MeV มาก จนเกือบถึง 100 เปอร์เซ็นต์ ในช่วงที่พลังงานตั้งแต่ 3 ถึง 6 MeV ทั้งนี้อาจจะเป็นเพราะว่า ที่มุมกระเจิงต่ำๆ และพลังงานต่ำๆนั้น โอกาสของการเกิดการกระเจิงแบบยึดหยุ่นของนิวตรอนที่ มีพลังงานต่ำ มีค่าสูงมากและมากกว่าอันตรกิริยาแบบอื่น

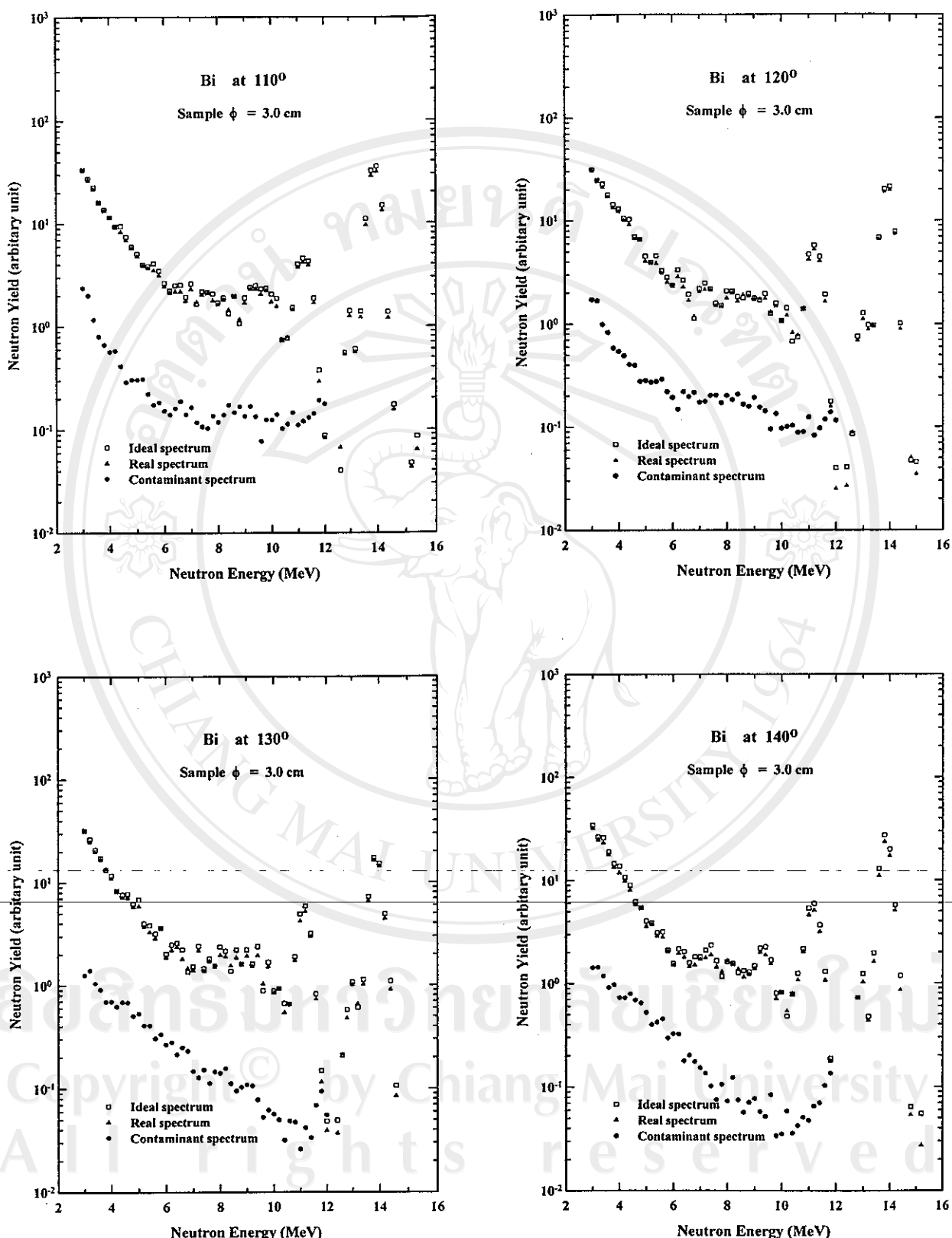
แต่ที่มุมกระเจิงตั้งแต่ 50 องศาขึ้นไปนั้น พบร่วมต่ำมากจึงแทนจะไม่มีผลกระแทบเลย



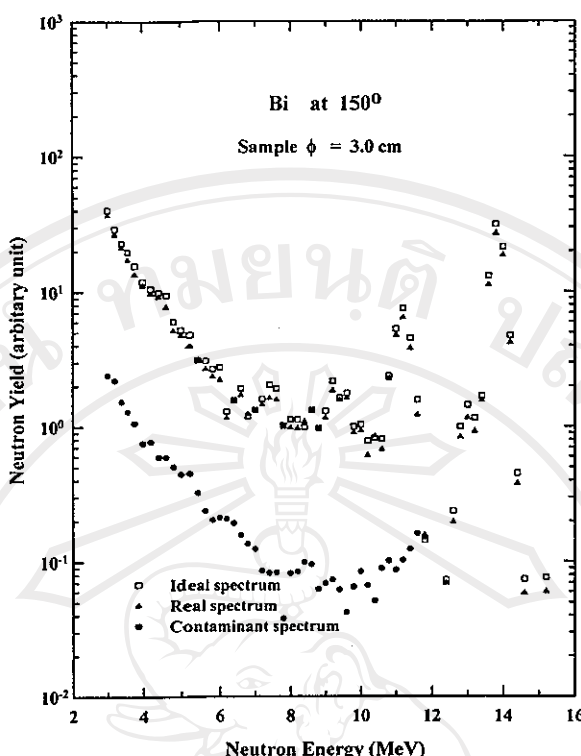
รูปที่ 20 สเปกตรัมการกระเจิงอุดมคติ และสเปกตรัมการกระเจิงจริง ของนิวตรอน 14 MeV และสเปกตรัมการกระเจิงจริง ของนิวตรอนปนเปื้อน ในวัตถุตัวอย่าง Bi ที่มีเส้นผ่าศูนย์กลาง 3.0 ซม ที่มุมกระเจิง 30 40 50 และ 60 องศา โดยใช้โปรแกรม SYNTHIA



รูปที่ 21 สเปกตรัมการกระเจิงอุดมคติ และสเปกตรัมการกระเจิงจริง ของนิวตรอน 14 MeV และสเปกตรัมการกระเจิงจริง ของนิวตรอนปั่นเปื้อน ในวัตถุตัวอย่าง Bi ที่มีเส้นผ่าศูนย์กลาง 3.0 ซม ที่มุมกระเจิง 70 80 90 และ 100 องศา โดยใช้โปรแกรม SYNTHIA



รูปที่ 22 สเปกตรัมการกระเจิงอุดมคติ และสเปกตรัมการกระเจิงจริง ของนิวตรอน 14 MeV และสเปกตรัมการกระเจิงจริง ของ นิวตรอนปืนเปื้อน ในวัตถุตัวอย่าง Bi ที่มีเส้นผ่าศูนย์กลาง 3.0 ซม ที่มุมกระเจิง 100 110 120 และ 130 องศา โดยใช้ โปรแกรม SYNTHIA



รูปที่ 23 สเปกตรัมการกระเจิงอุดมคติ และสเปกตรัมการกระเจิงจริง ของนิวตรอน 14 MeV และสเปกตรัมการกระเจิงจริง ของนิวตรอนป่นเปื้อน ในวัตถุตัวอย่าง Bi ที่มีเส้นผ่าศูนย์กลาง 3.0 ซม ที่มุนกระเจิง 150 องศา โดยใช้โปรแกรม SYNTHIA

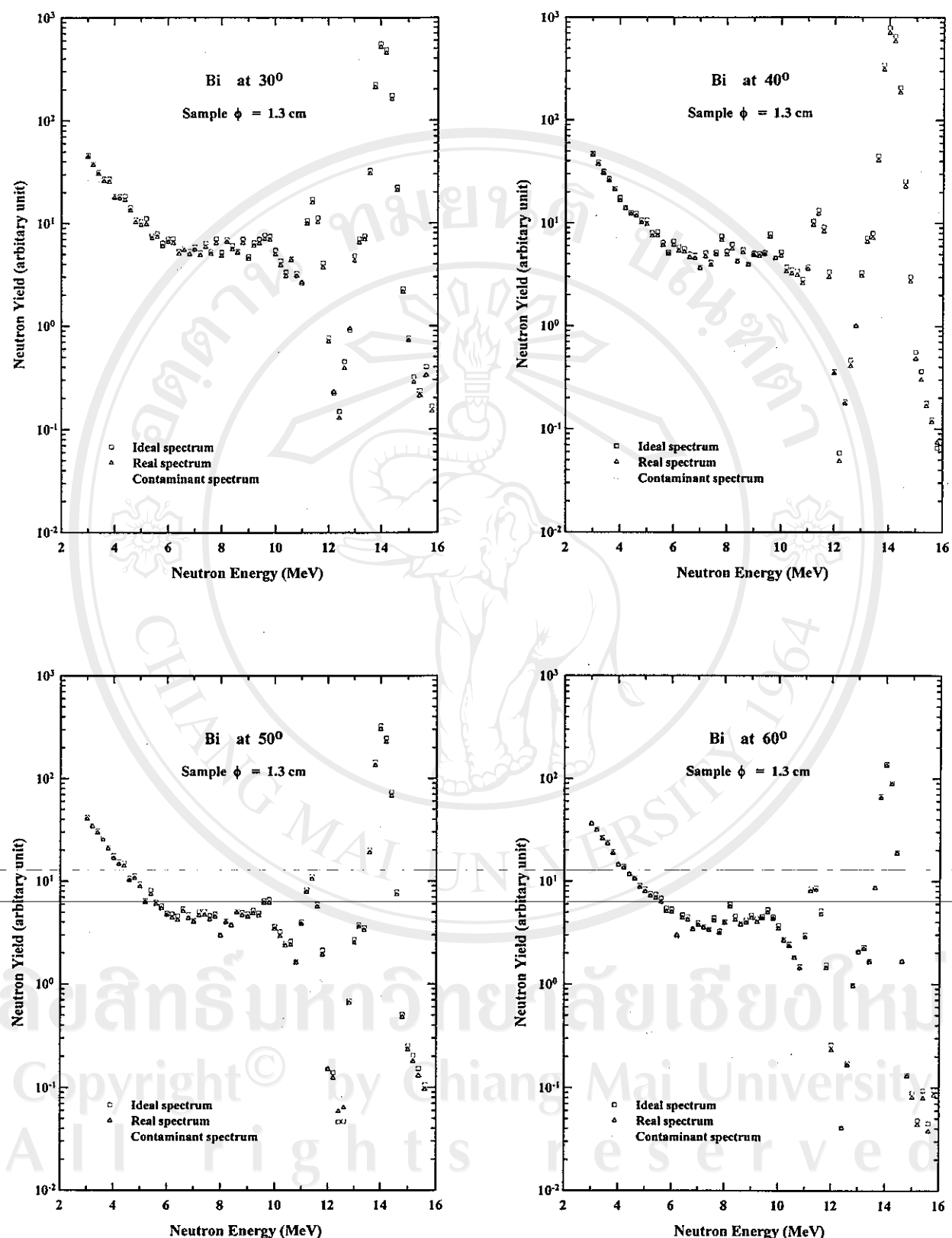
3.4 เมื่อวัตถุตัวอย่างมีขนาดเส้นผ่าศูนย์กลาง 1.3 เซนติเมตร

กรณีนิวตรอนพลังงาน 14 MeV (พีค)

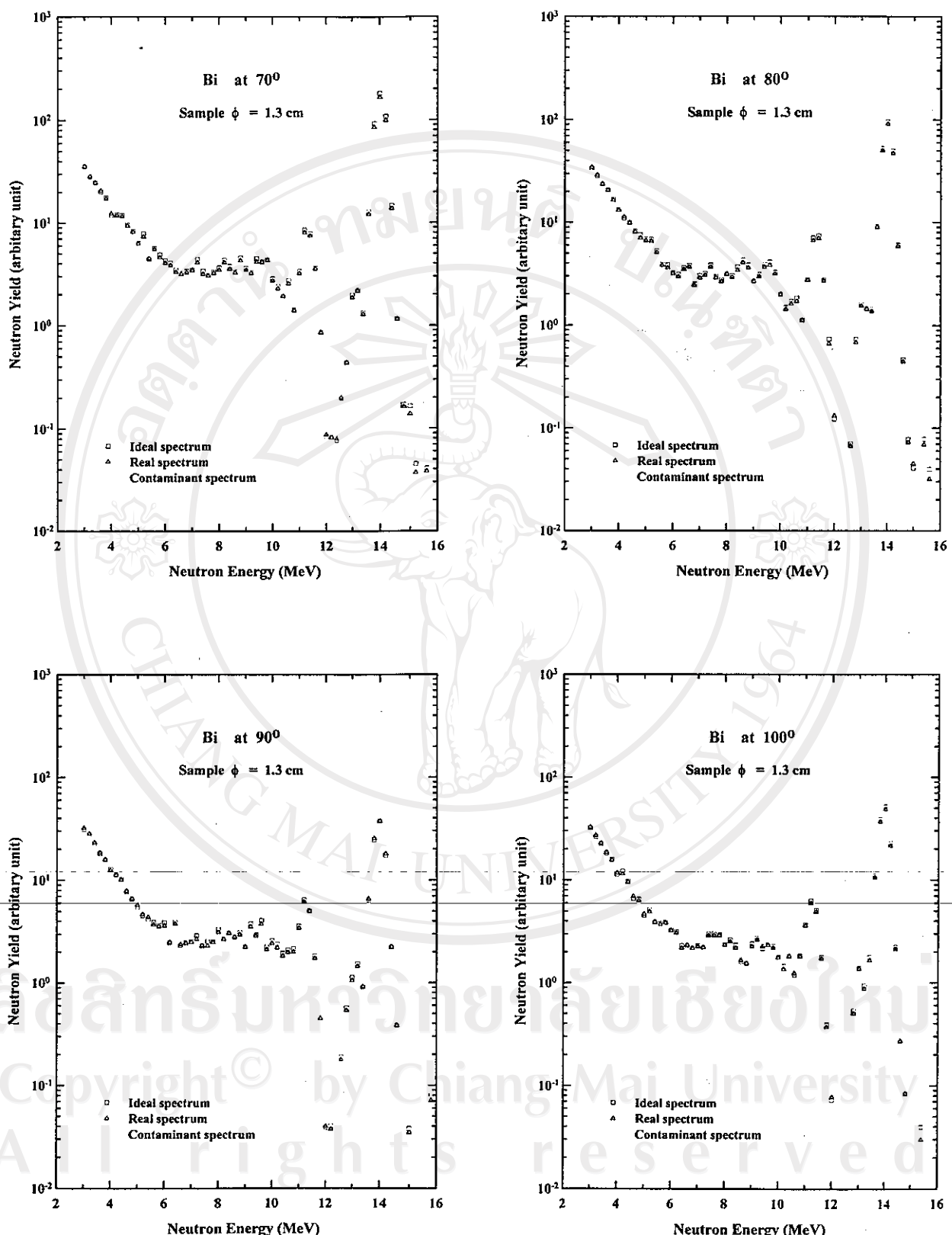
จากรูปที่ 24 ถึง 27 จะสังเกตได้ว่า ตลอดทุกมุมกระเจิง สเปกตรัมการกระเจิงจริงแบบเท่า กับสเปกตรัมการกระเจิงอุดมคติ และงว่าเกิดการลดTHONฟลักซ์ของนิวตรอนน้อยมาก เนื่องจาก วัตถุตัวอย่างมีขนาดเล็กลง

-กรณีนิวตรอนป่นเปื้อน

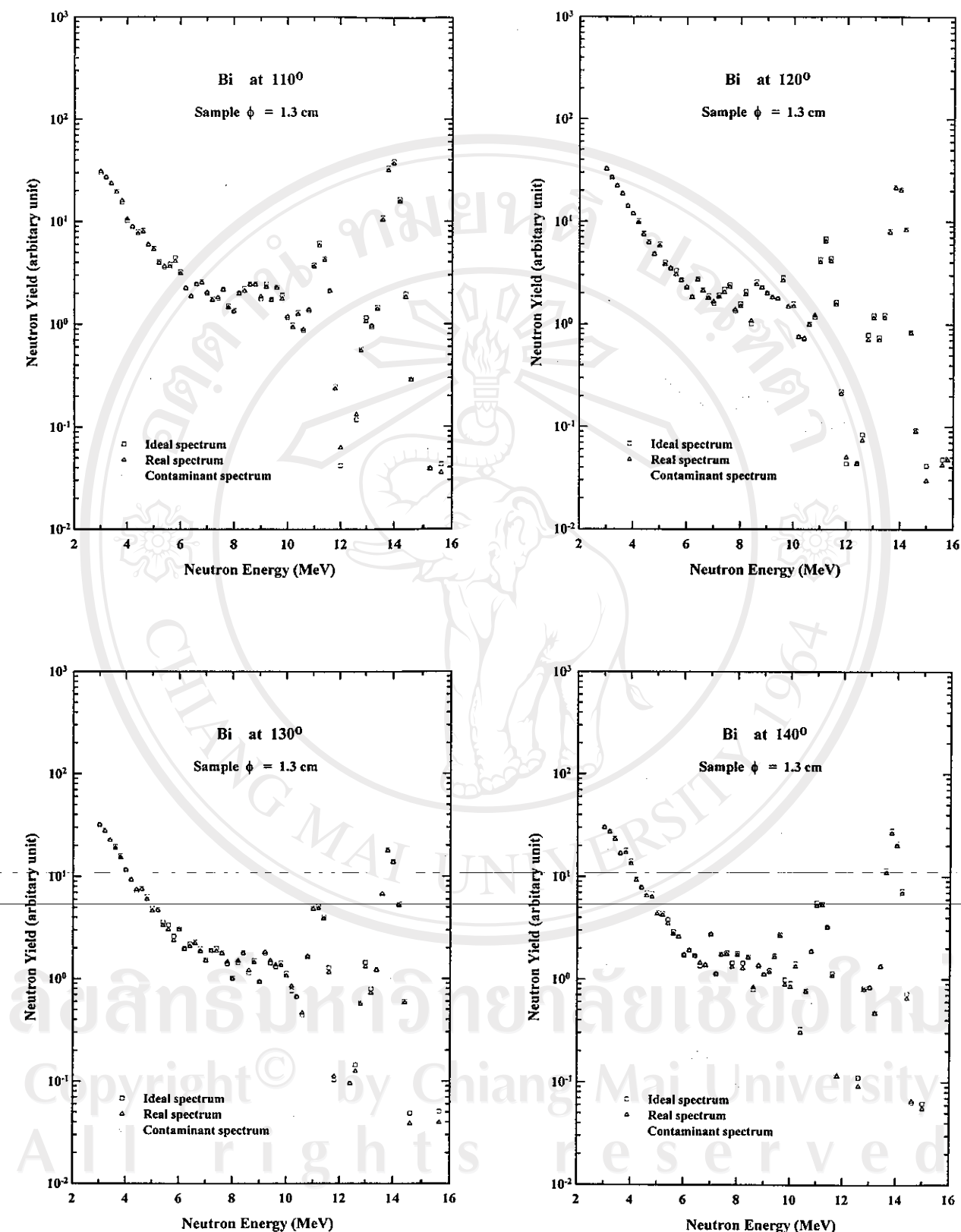
ผลที่ได้คล้ายกับผลเมื่อวัตถุตัวอย่างมีขนาดเส้นผ่าศูนย์กลาง 3.0 เซนติเมตร แต่ผลจากการ ลดTHONฟลักซ์ของนิวตรอนน้อยลง เนื่องจากวัตถุตัวอย่างมีขนาดเล็กลง



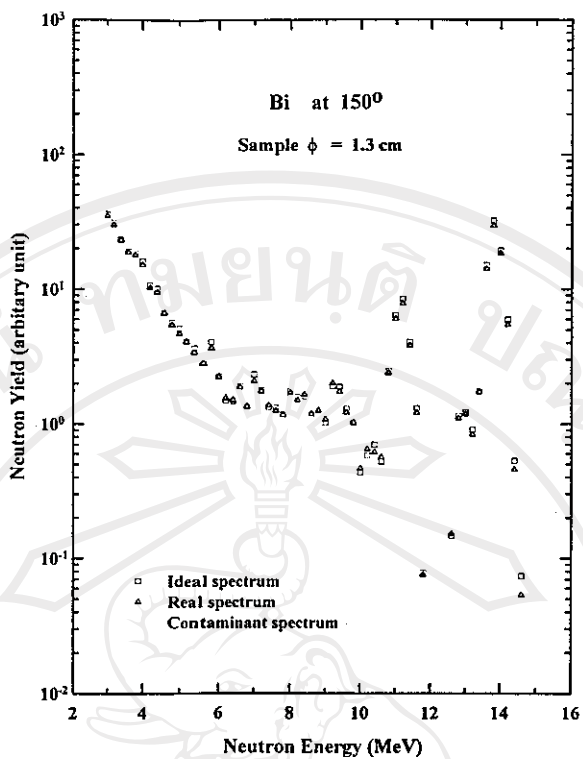
รูปที่ 24 สเปกตรัมการกระเจิงอุดมคติ และสเปกตรัมการกระเจิงจริง ของนิวตรอน 14 MeV และสเปกตรัมการกระเจิงจริง ของนิวตรอนบนเปื้อน ในวัสดุตัวอย่าง Bi ที่มีเส้นผ่าศูนย์กลาง 1.3 ซม ที่มุมกระเจิง 30 40 50 และ 60 องศา โดยใช้โปรแกรม SYNTHIA



รูปที่ 25 สเปกตรัมการกระเจิงอุดมคติ และสเปกตรัมการกระเจิงจริง ของนิวตรอน 14 MeV และสเปกตรัมการกระเจิงจริง ของนิวตรอนปั๊บเปื้อน ในวัสดุตัวอย่าง Bi ที่มีเส้นผ่าศูนย์กลาง 1.3 ซม ที่มุมกระเจิง 70 80 90 และ 100 องศา โดยใช้โปรแกรม SYNTHIA



รูปที่ 26 สเปกตรัมการกระเจิงอุดมคติ และสเปกตรัมการกระเจิงจริง ของนิวตรอน 14 MeV และสเปกตรัมการกระเจิงจริง ของนิวตรอนปานปื้นในวัสดุตัวอย่าง Bi ที่มีเส้นผ่าศูนย์กลาง 1.3 ซม ที่มุมกระเจิง 110 120 130 และ 140 องศา โดยใช้โปรแกรม SYNTHIA



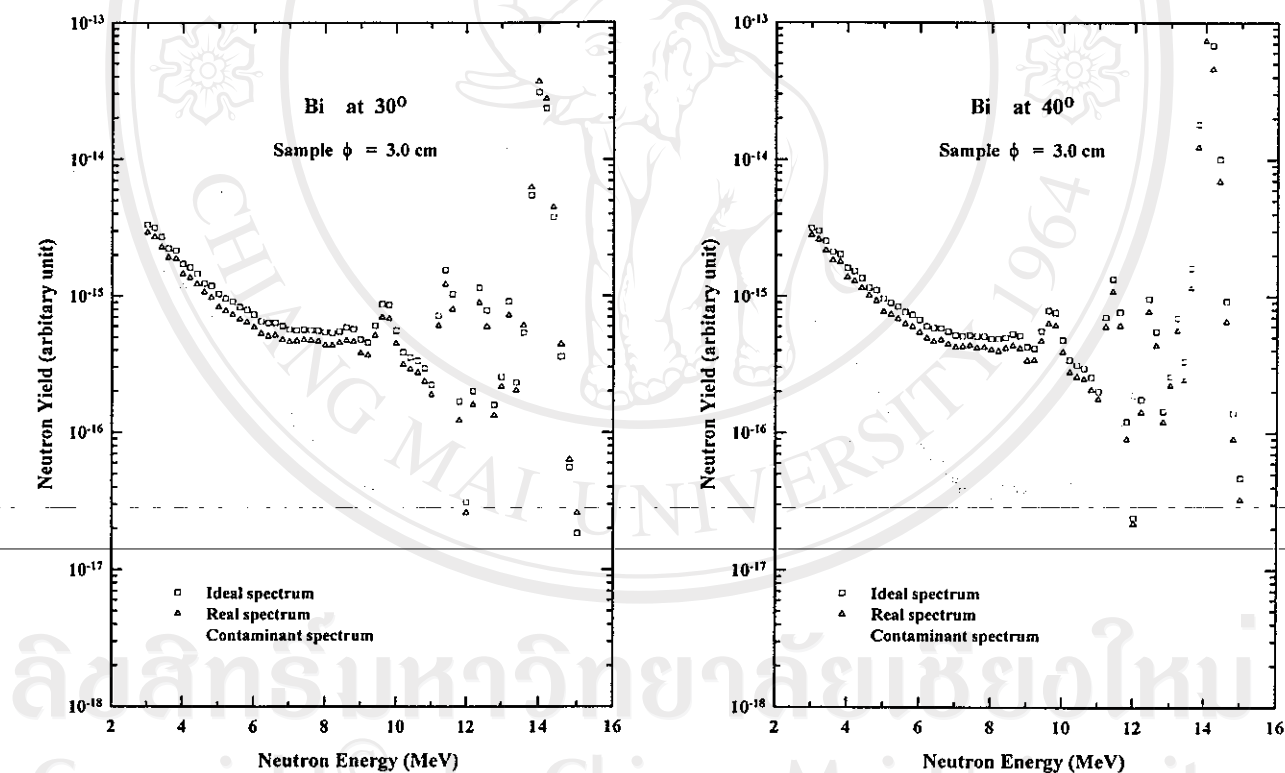
รูปที่ 27 สเปกตรัมการกระเจิงอุดมคติ และสเปกตรัมการกระเจิงจริง ของนิวตรอน 14 MeV และสเปกตรัมการกระเจิงจริง ของนิวตรอนป่นเปื้อน ในวัสดุด้าวอย่าง Bi ที่มีเส้นผ่าศูนย์กลาง 1.3 ซม ที่มุมกระเจิง 150 องศา โดยใช้โปรแกรม SYNTHIA

ลิขสิทธิ์มหาวิทยาลัยเชียงใหม่
Copyright © by Chiang Mai University
All rights reserved

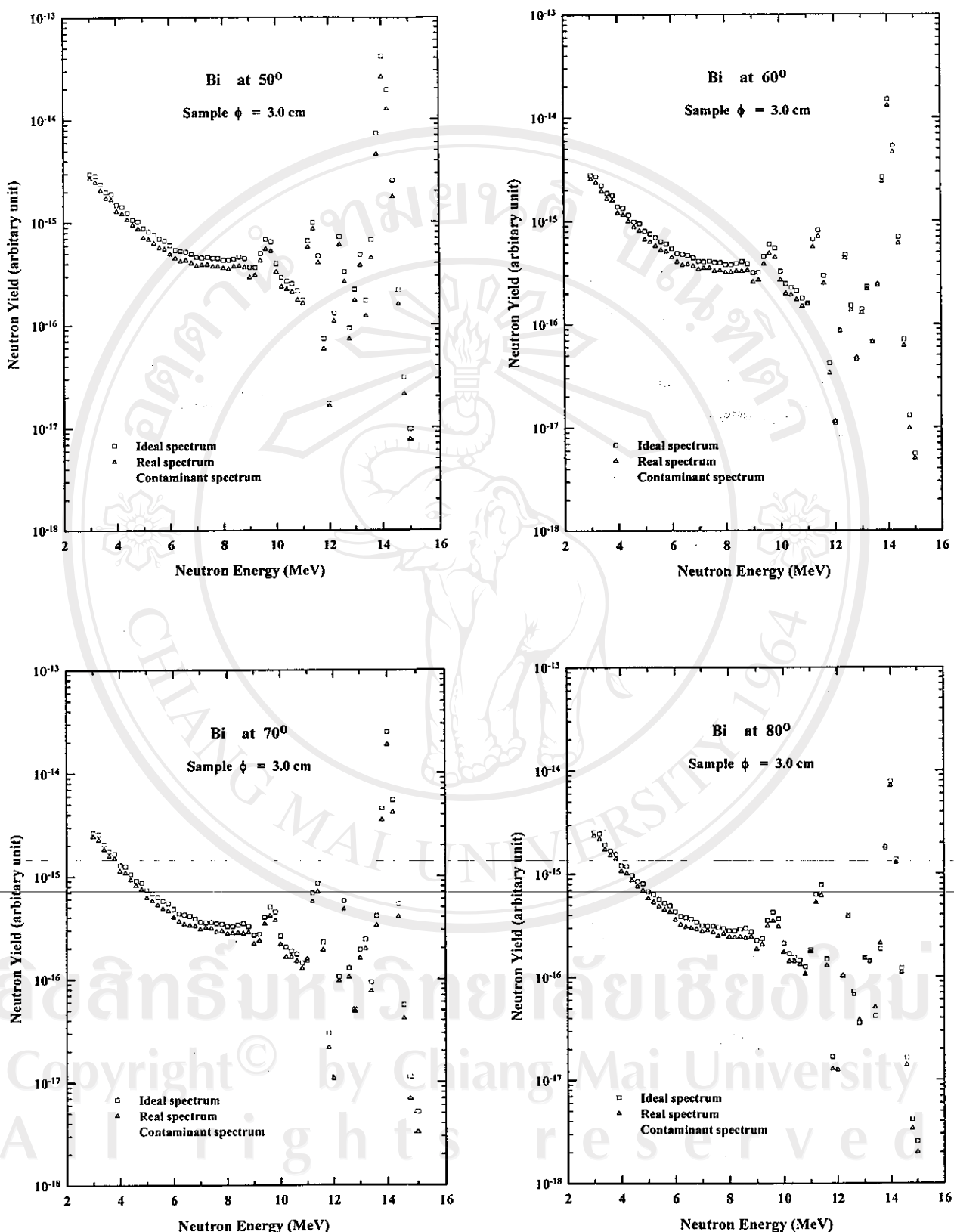
ผลการจำลองスペクトรัมการกระเจิงอุดมคติ สเปกตรัมการกระเจิงจริงจากนิวตรอน 14 MeV และสเปกตรัมการกระเจิงจริงจากนิวตรอนปั๊ปป่อนโดยใช้โปรแกรม MCNP

3.5 เมื่อวัตถุตัวอย่างมีขนาดเส้นผ่าศูนย์กลาง 3 เซนติเมตร

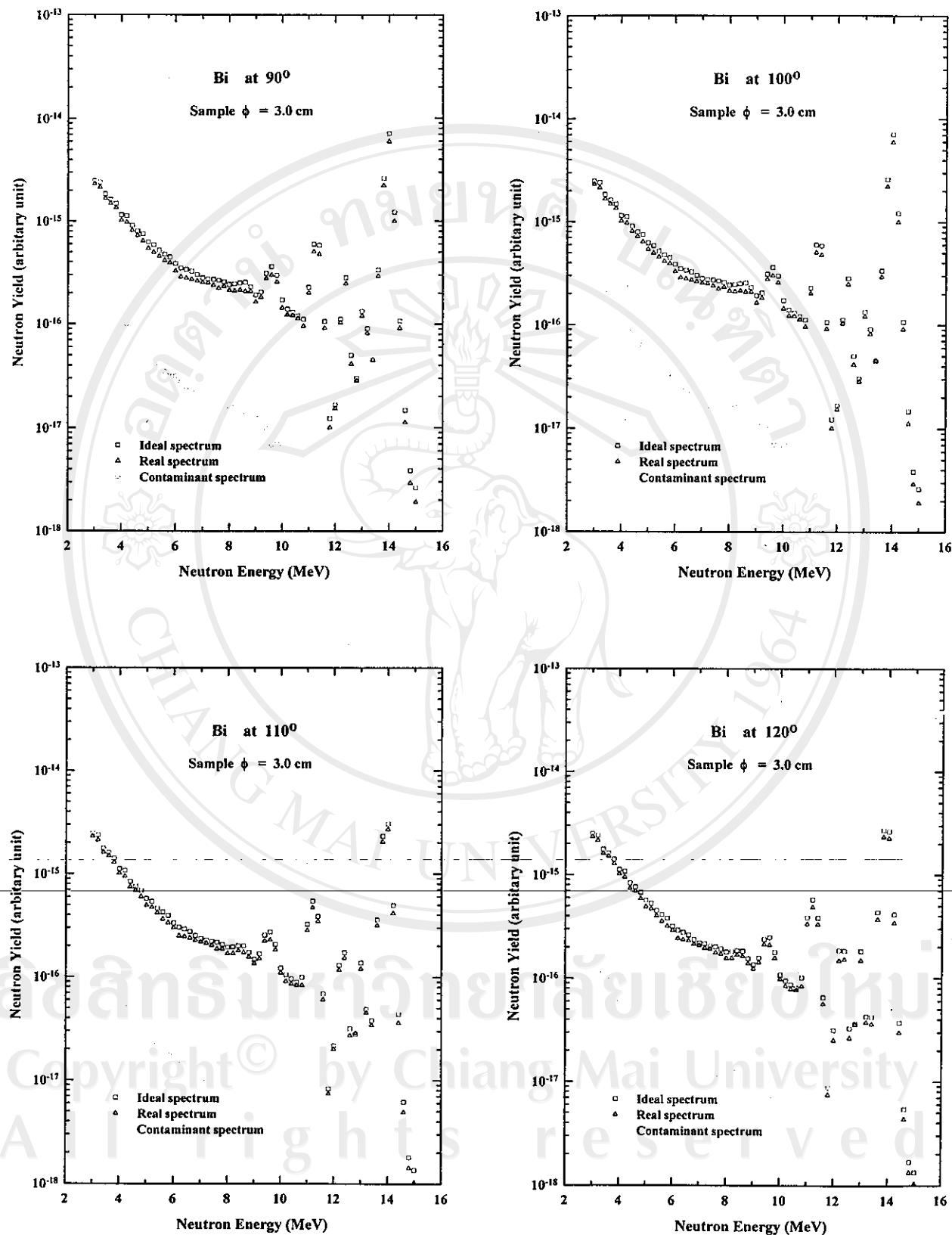
จากรูปที่ 28 ถึง 31 ผลที่ได้ส่วนใหญ่ใกล้เคียงกับผลจากโปรแกรม SYNTHIA ทั้งผลจากการลดตอน และผลจากนิวตรอนปั๊ปป่อน(ที่มุนกระเจิงต่ำ) ยกเว้นในช่วงพลังงาน 12 ถึง 14 MeV และที่ประมาณ 10 MeV เท่านั้นที่ผลจาก MCNP แสดงความเป็นพีคอย่างชัดเจน และในช่วงพลังงานตั้งแต่ 3 ถึง 8 MeVนั้น มีความรวมเรียบกว่า



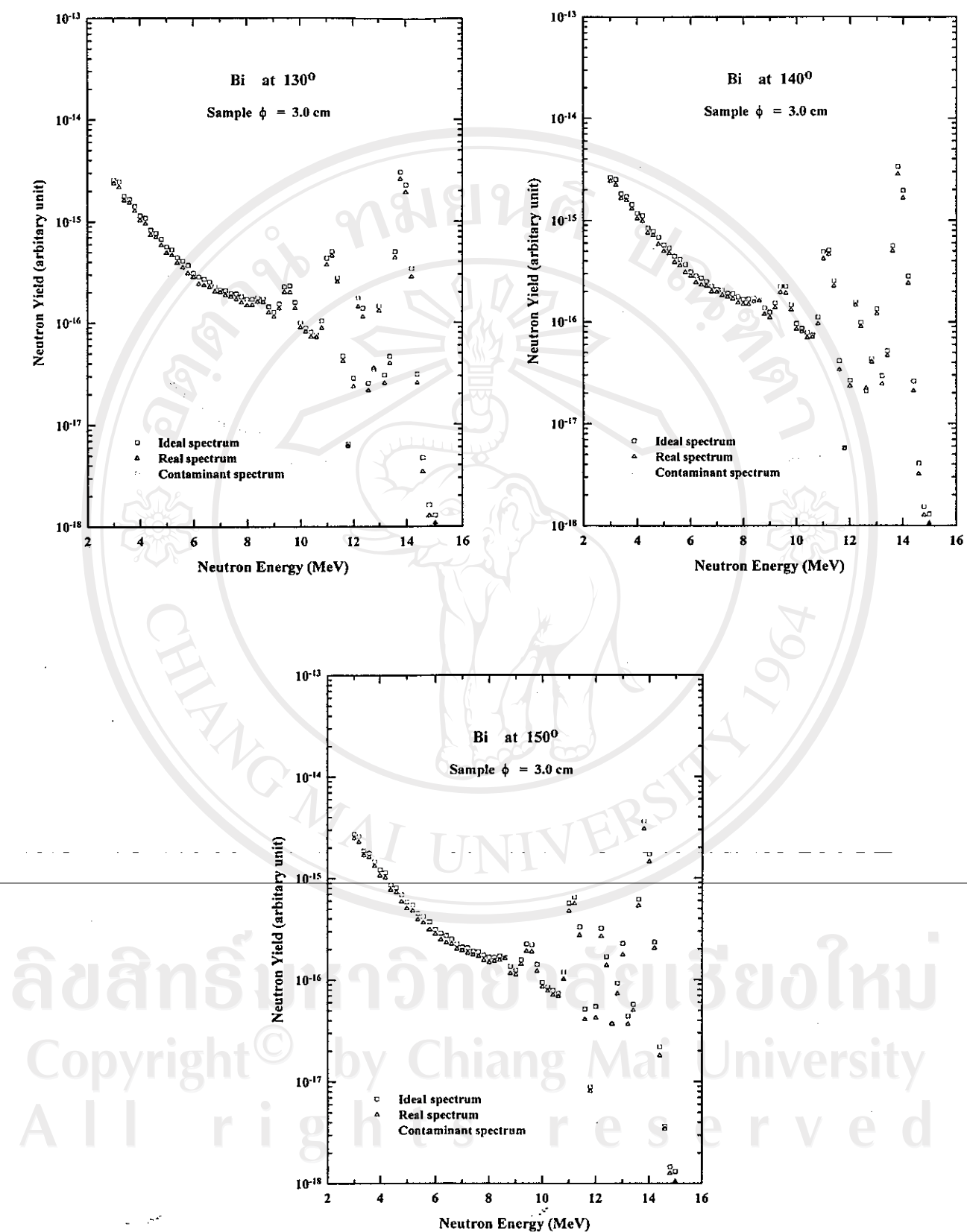
รูปที่ 28 สเปกตรัมการกระเจิงอุดมคติ และสเปกตรัมการกระเจิงจริง ของนิวตรอน 14 MeV และสเปกตรัมการกระเจิงจริง ของนิวตรอนปั๊ปป่อน ในวัตถุตัวอย่าง Bi ที่มีเส้นผ่าศูนย์กลาง 3.0 ซม ที่มุนกระเจิง 30 และ 40 องศา โดยใช้โปรแกรม MCNP



รูปที่ 29 สเปกตรัมการกระเจิงอุดมคติ และสเปกตรัมการกระเจิงจริง ของนิวเคลียน 14 MeV และสเปกตรัมการกระเจิงจริง ของนิวเคลียนปานเฉื่อน ในวัสดุตัวอย่าง Bi ที่มีเส้นผ่าศูนย์กลาง 3.0 ซม ที่มุมกระเจิง 50 60 70 และ 80 องศา โดยใช้โปรแกรม MCNP



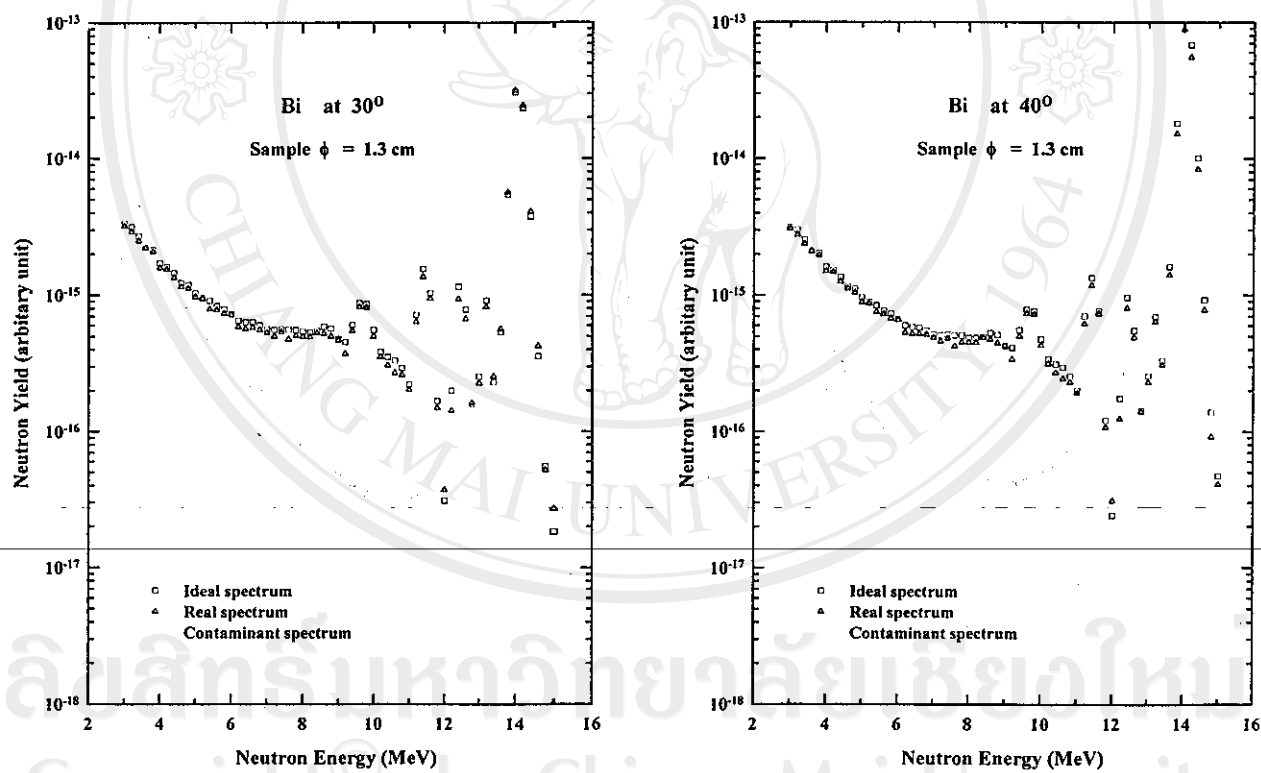
รูปที่ 30 สเปกตรัมการกระเจิงอุดมคติ และสเปกตรัมการกระเจิงจริง ของนิวเคลียร์อน 14 MeV และสเปกตรัมการกระเจิงจริง ของ นิวเคลียร์อนปนเปื้อน ในวัสดุดีดว่ายาง Bi ที่มีเส้นผ่าศูนย์กลาง 3.0 ซม ที่มุมกระเจิง 90 100 110 และ 120 องศา โดยใช้โปรแกรม MCNP



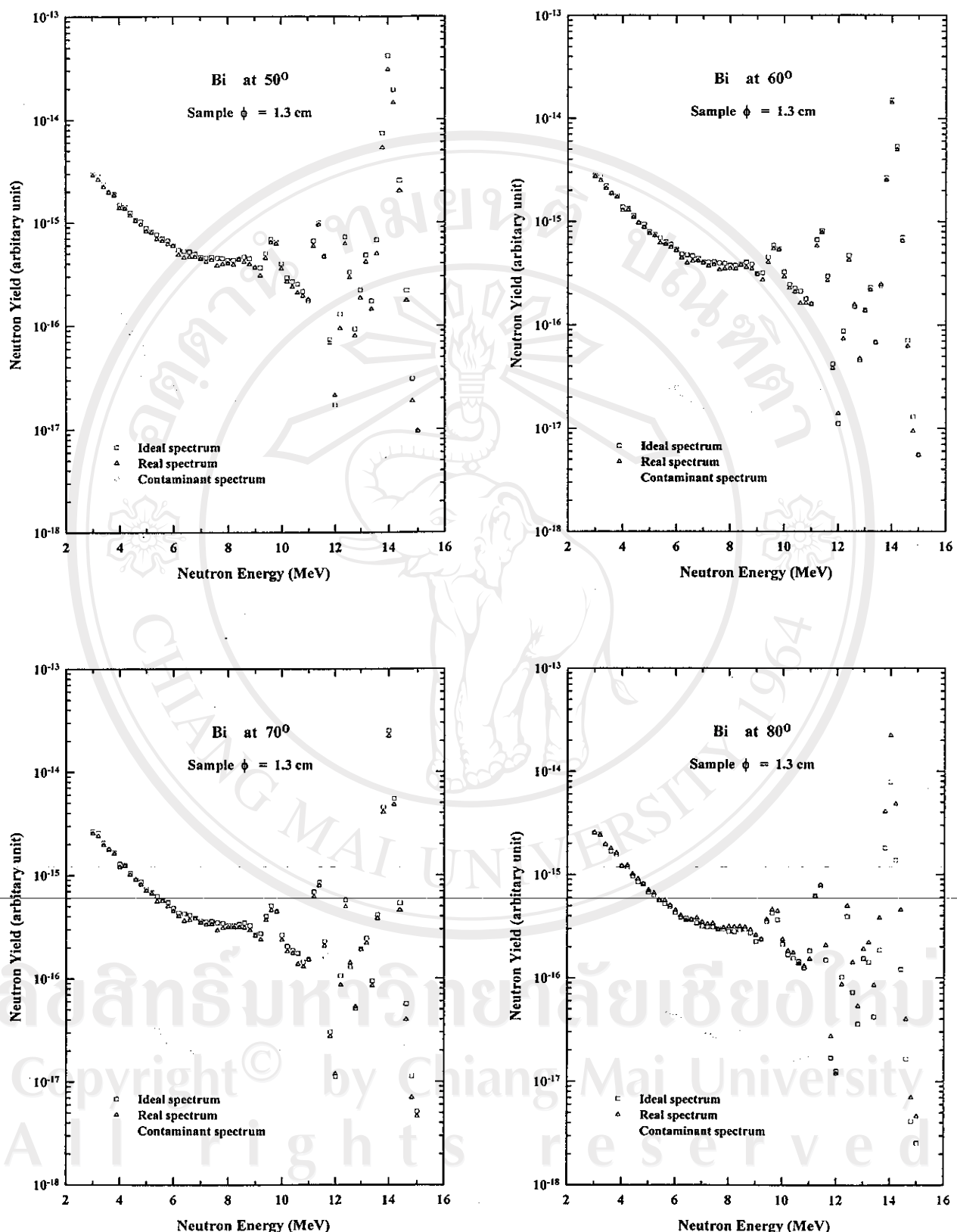
รูปที่ 31 สเปกตรัมการกระเจิงอุคਮคดิ และสเปกตรัมการกระเจิงจริง ของนิวเคลอน 14 MeV และสเปกตรัมการกระเจิงจริง ของนิวเคลอนบีมเมื่อในวัสดุตัวอย่าง Bi ที่มีเส้นผ่าศูนย์กลาง 3.0 ซม ที่มุมกระเจิง 130 140 และ 150 องศา โดยใช้โปรแกรม MCNP

3.6 เมื่อวัตถุตัวอย่างมีขนาดเส้นผ่าศูนย์กลาง 1.3 เซนติเมตร

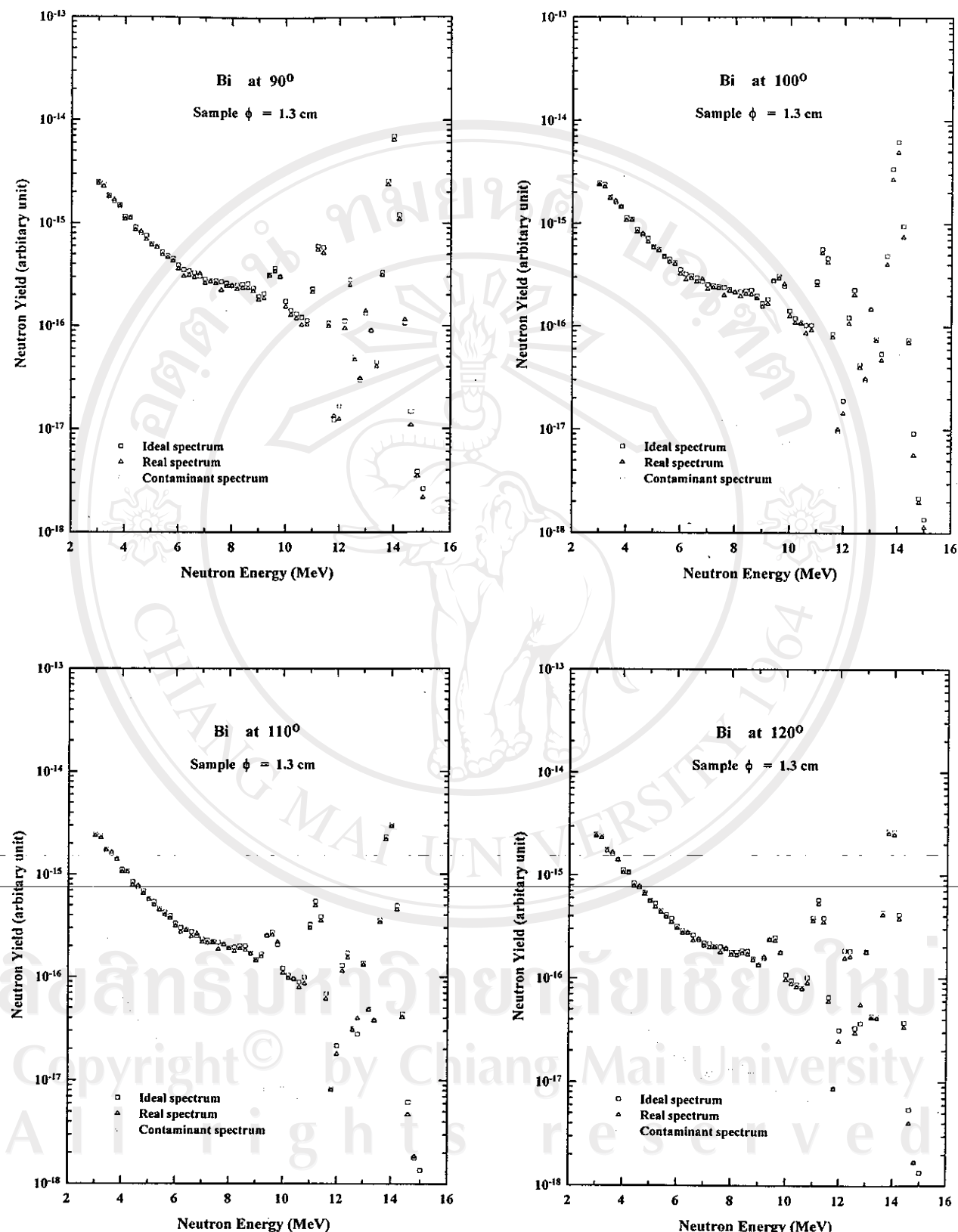
ผลของการลดทอนของฟลักซ์นิวตรอนเมื่อมองกับผลที่จำลองได้จากโปรแกรม SYNTHIA ส่วนที่มีพิคปรากฏในช่วงพลังงาน 12 ถึง 14 MeV และที่ 10 MeV ที่เมื่อมองกับในกรณีที่ใช้วัตถุตัวอย่างขนาด 3 ซม ในข้างตันดังจะเห็นจากรูปที่ 32 ถึง 35



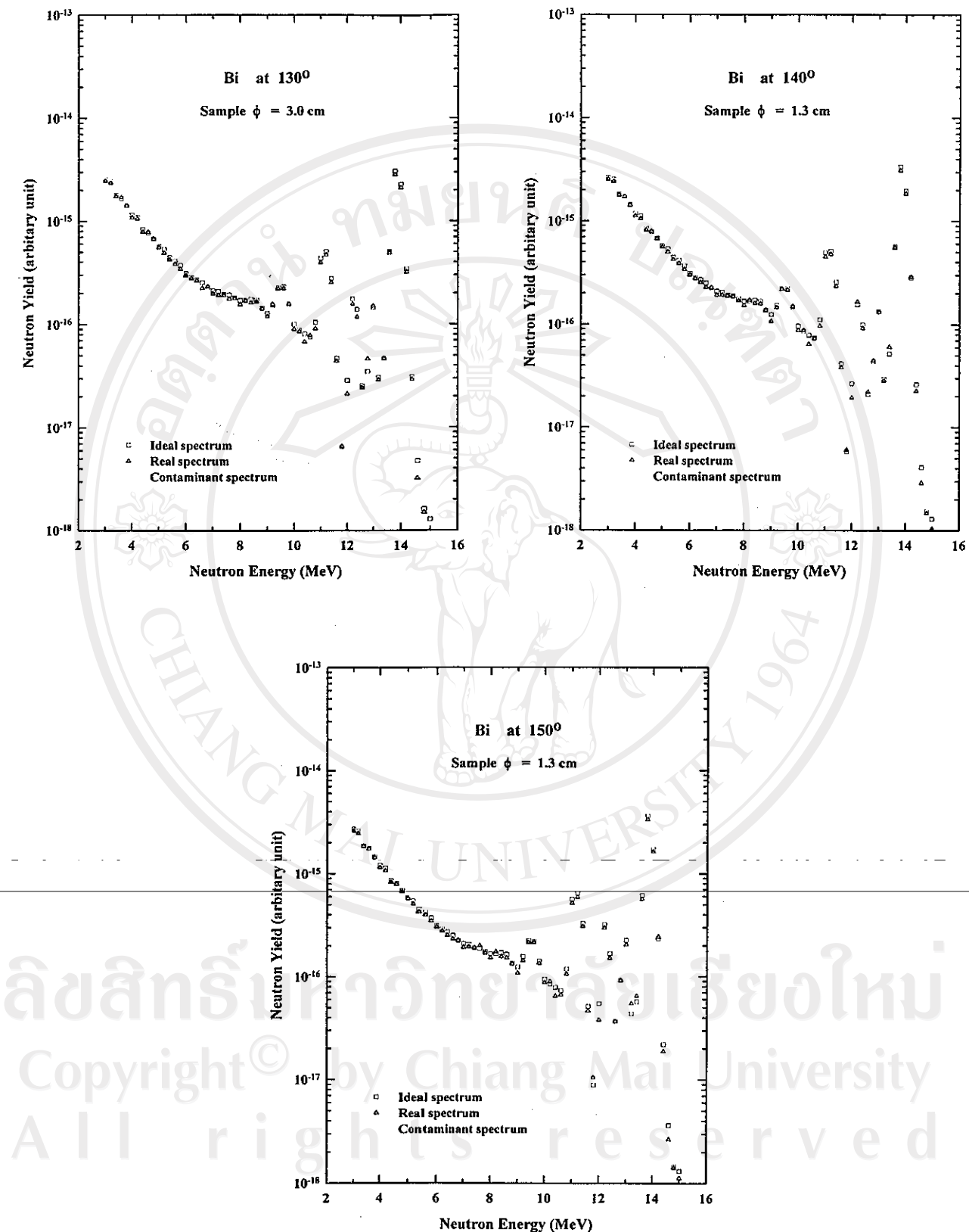
รูปที่ 32 สเปกตรัมการกระเจิงอุบัติ และสเปกตรัมการกระเจิงจริง ของนิวตรอน 14 MeV และสเปกตรัมการกระเจิงจริง ของนิวตรอนปืนปืน ในวัตถุตัวอย่าง Bi ที่มีเส้นผ่าศูนย์กลาง 1.3 ซม ที่มุมกระเจิง 30 และ 40 องศา โดยใช้โปรแกรม MCNP



รูปที่ 33 สเปกตรัมการกระเจิงอุคਮคดิ และสเปกตรัมการกระเจิงจริง ของนิวเคลอน 14 MeV และสเปกตรัมการกระเจิงจริง ของนิวเคลอนปืนปืน ในวัตถุตัวอย่าง Bi ที่มีเส้นผ่าศูนย์กลาง 1.3 ซม ที่มุมกระเจิง 50 60 70 และ 80 องศา โดยใช้โปรแกรม MCNP



รูปที่ 34 สมการรัมการกระเจิงอุณหภูติ และสมการรัมการกระเจิงจริง ของนิวตรอน 14 MeV และสมการรัมการกระเจิงจริง ของนิวตรอนปานเปื้อน ในวัตถุตัวบ่ง Bi ที่มีเส้นผ่าศูนย์กลาง 1.3 ซม ที่มุมกระเจิง 90 100 110 และ 120 องศา โดยใช้โปรแกรม MCNP



รูปที่ 35 สเปกตรัมการกระเจิงอุดมคติ และสเปกตรัมการกระเจิงจริง ของนิวเคลียน 14 MeV และสเปกตรัมการกระเจิงจริง ของนิวเคลียนปานเปื้อน ในวัสดุถ่วงตัว Bi ที่มีเส้นผ่าศูนย์กลาง 1.3 ซม ที่มุมกระเจิง 130 140 และ 150 องศา โดยใช้โปรแกรม MCNP

ผลของการจำลองด้วยโปรแกรม SYNTHIA เทียบกับผลที่ได้จากการทดลองจริง

เนื่องจากผลท้ายสุดของการจำลองสเปกตรัมที่มุ่งกระเจิงต่างๆ และได้ถูกกระเจายแล้วนั้น จะต้องสอดคล้องกับสเปกตรัม DDX ที่วัดได้จากการทดลองจริง (แต่แก้ไขผลของการกระเจิง หลายครั้งและการลดTHONฟลักซ์ของนิวตรอน) จึงจะถือว่าผลของการจำลองเหตุการณ์นี้มีความถูกต้องตามความเป็นจริง

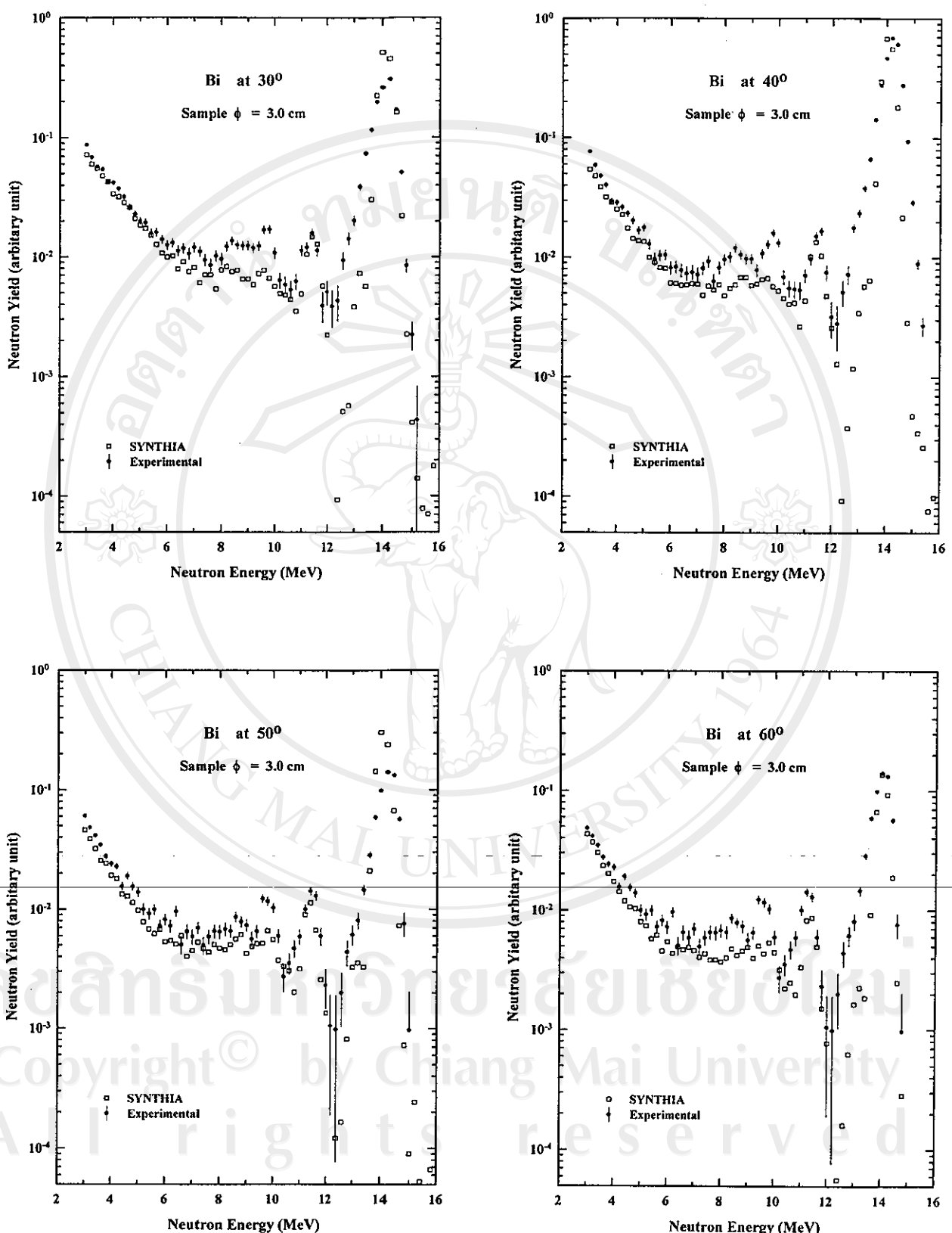
แต่ก่อนที่จะทำการเปรียบเทียบกัน จะต้อง normalized สเปกตรัมทั้งหมดที่จำลองได้ด้วยค่าคงที่ค่าหนึ่ง ซึ่งหาได้จากการเฉลี่ยตลอดทุกมุ่งกระเจิง ดังนั้นทำให้ผลของการเปรียบเทียบเงื่อนไขเป็นเพียงเพื่อที่จะใช้เป็นแนวทางเท่านั้น

ส่วนขั้นตอนในการแก้ไขผลของการกระเจิงหลายครั้งและการลดTHONฟลักซ์ของนิวตรอนนั้น ก็จะเปลี่ยนไปใช้วิธีการหาค่าอัตราส่วนระหว่างสเปกตรัมการกระเจิงอุดมคติกับสเปกตรัมการกระเจิงจากผลรวมทั้งกรณีผลจากขนาดของวัตถุตัวอย่างจากนิวตรอน 14 MeV (พีค) และกรณีผลจากนิวตรอนปนเปื้อน ซึ่งเป็นวิธีการที่จะหลีกเลี่ยงความผิดพลาดเนื่องจากการใช้ค่าคงที่ที่ไม่ถูกต้องในการ normalize

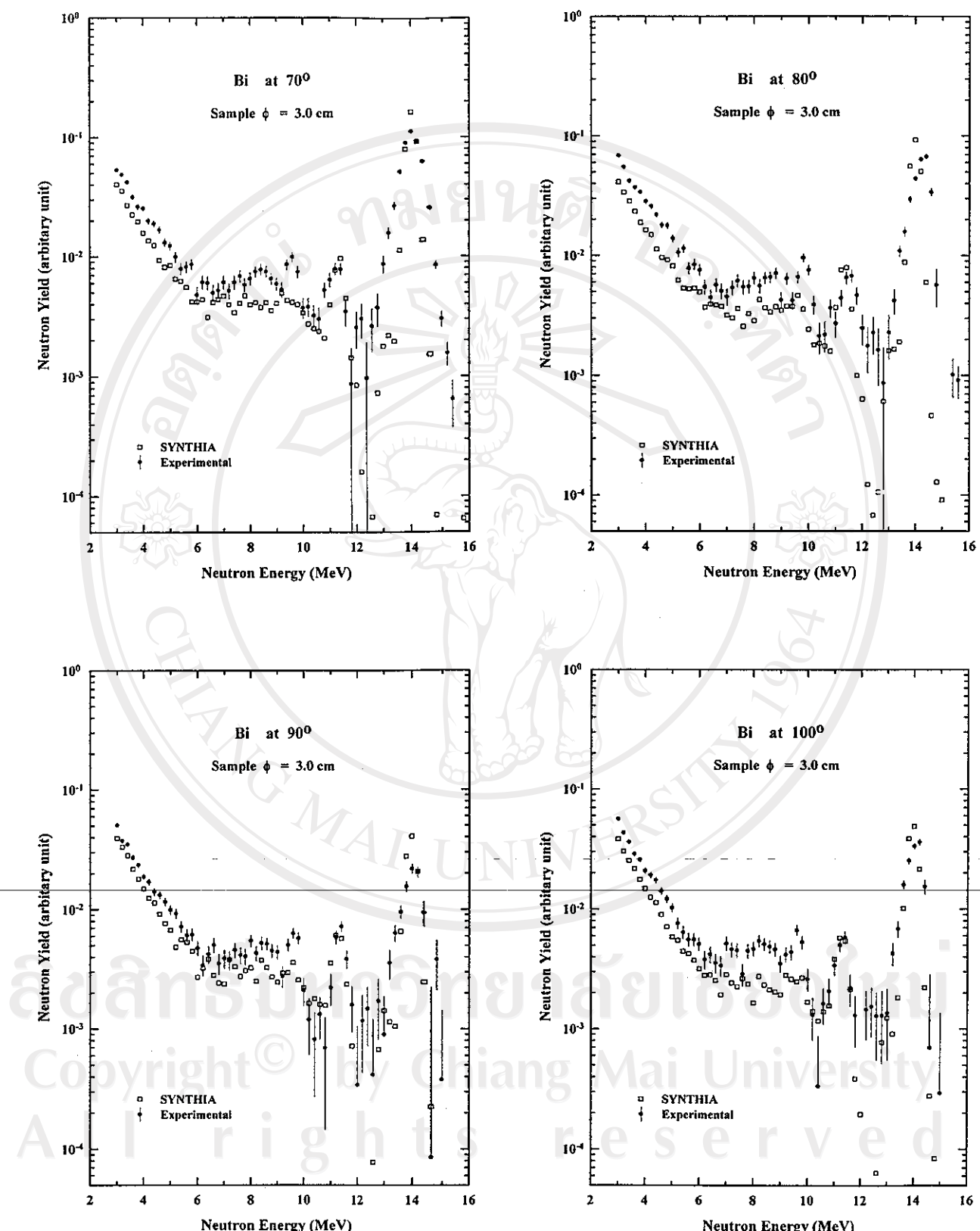
3.7 เมื่อวัตถุตัวอย่างมีขนาดเล็กกว่า 3 เซนติเมตร

จากรูปที่ 36 และ 39 พบว่าตลอดทุกมุ่งกระเจิง ผลของการจำลองด้วยโปรแกรม SYNTHIA เทียบกับผลที่ได้จากการทดลองจริง ส่วนใหญ่มีความสอดคล้องกันดี จะแตกต่างกันบ้างในเฉพาะบางมุมเท่านั้น ทั้งนี้อาจจะเป็นเพราะค่าที่นำมาใช้ normalized สเปกตรัมที่ได้จากการจำลองนั้นเป็นค่าเฉลี่ย ซึ่งอาจทำให้เกิดความผิดพลาดดังที่กล่าวไว้ในข้างต้น

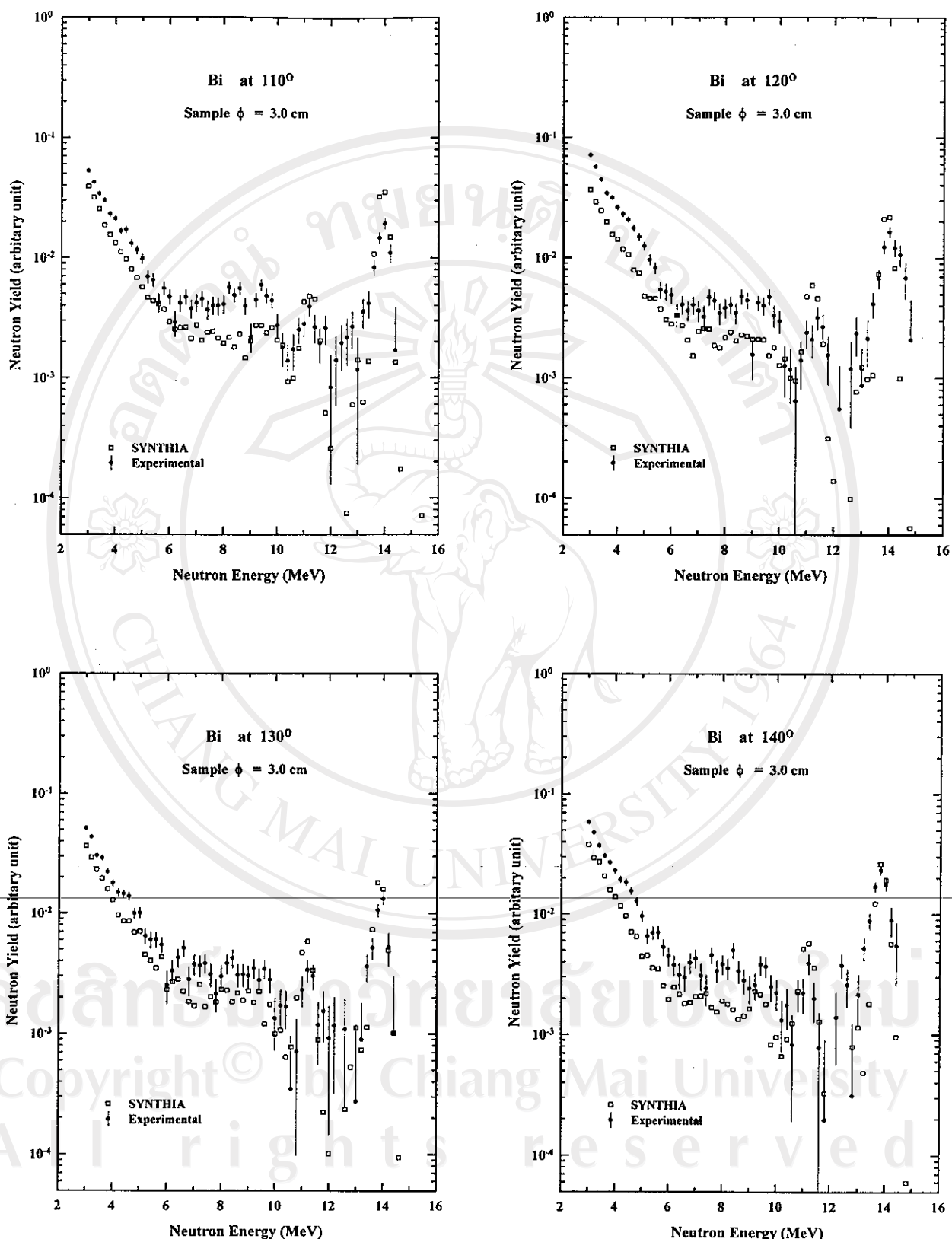
แต่ที่น่าสังเกต คือในช่วงของพลังงานนิวตรอนประมาณ 8 ถึง 10 ผลจากการทดลองมีลักษณะเป็นพีคต่างๆ ทั้งนี้อาจจะเป็น เพราะว่าระบบอำนาจการจำแนกพลังงานของเครื่องนิวตรอนที่มหาวิทยาลัยเชียงใหม่มีค่าสูง (Vilaithong et al., 1997) จึงทำให้สามารถแยกแยะได้เด่นชัดขึ้น รวมทั้งเป็น เพราะว่าข้อมูล energy distribution สำหรับนิวตรอนทุติยภูมิในช่วง Continuum ที่ใช้ในโปรแกรม SYNTHIA นั้นแม้ว่าจะมีลักษณะคล้ายพีคแต่เตี้ยมาก



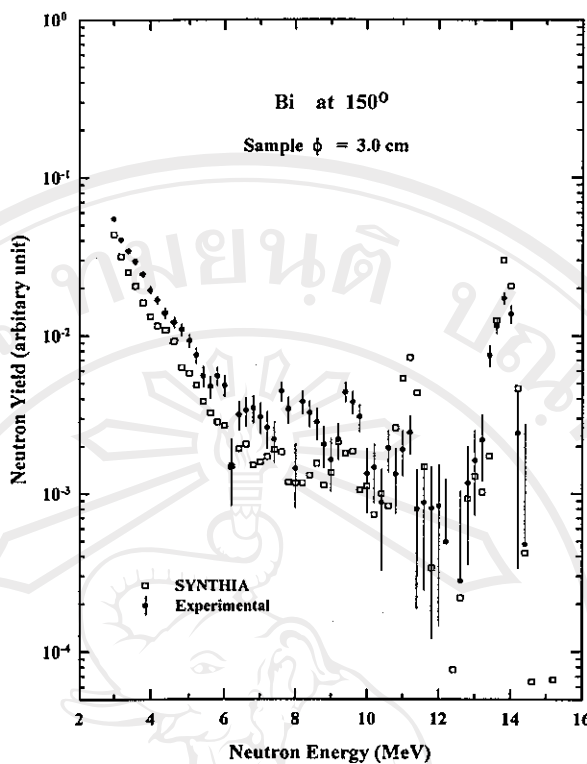
รูปที่ 36 ผลการจำลองโดยใช้โปรแกรม SYNTHIA เปรียบเทียบกับผลการทดลองจริง ของวัตถุตัวอย่าง Bi ที่มีเส้นผ่าศูนย์กลาง 3.0 ซม ที่มุมกระเจิง 30 40 50 และ 60 องศา



รูปที่ 37 ผลการจำลองโดยใช้โปรแกรม SYNTHIA เปรียบเทียบกับผลการทดลองจริง ของวัตถุตัวอย่าง Bi ที่มีเส้นผ่าศูนย์กลาง 3.0 ซม ที่มุมกระเจิง 70 80 90 และ 100 องศา



รูปที่ 38 ผลการจำลองโดยใช้โปรแกรม SYNTHIA เปรียบเทียบกับผลการทดลองจริง ของวัตถุตัวอย่าง Bi ที่มีเส้นผ่าศูนย์กลาง 3.0 ซม ที่มุมกระเจิง 110 120 130 และ 140 องศา



รูปที่ 39 ผลการจำลองโดยใช้โปรแกรม SYNTHIA เปรียบเทียบกับผลการทดลองจริง ของวัตถุตัวอย่าง Bi ที่มีเส้นผ่าศูนย์กลาง 3.0 ซม ที่มุ่งกระเจิง 150 องศา

3.8 เมื่อวัตถุตัวอย่างมีขนาดเล็กผ่าศูนย์กลาง 1.3 เซนติเมตร

จากรูปที่ 40 และ 41 ผลการเปรียบเทียบจะข้อแบ่งเป็น 2 กรณี คือ

-กรณีที่มุ่งกระเจิงต่ำๆ คือ 30, 50 และ 70 องศา

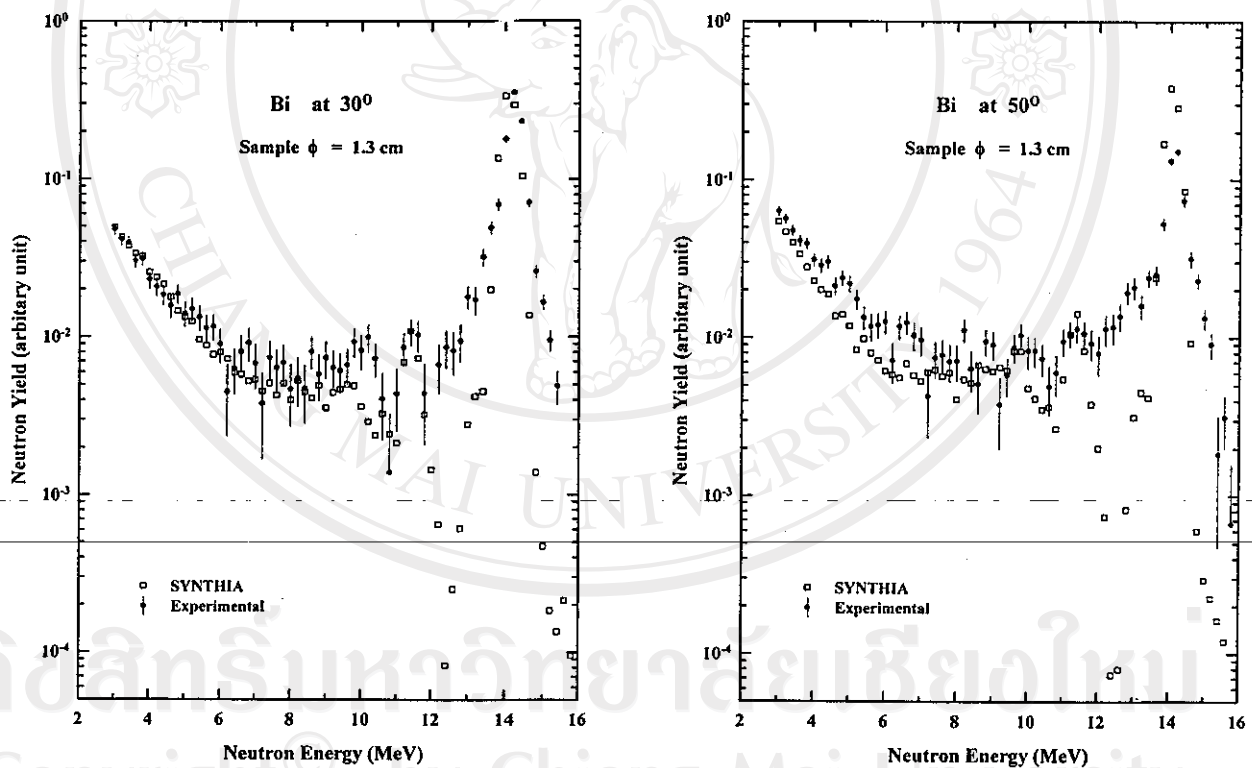
ผลจากการจำลองสอดคล้องกับผลที่ได้จากการทดลอง จะแตกต่างกันบ้างในเฉพาะบางช่วงของพลังงานเท่านั้น ทั้งนี้อาจจะเป็น เพราะค่าที่นำมาใช้ normalized ยังไม่ถูกต้อง ดังที่กล่าวไว้ในข้างต้น

-กรณีที่มุ่งกระเจิงสูงๆ คือ 110 และ 150 องศา

อาจจะเป็น เพราะว่าเวลาที่ใช้ในการเก็บข้อมูลไม่เพียงพอ แม้ว่าในการทดลองนี้จะใช้เวลาเก็บข้อมูลมากถึงประมาณ 30 ชั่วโมงแล้วก็ตาม ทั้งนี้คงเป็น เพราะว่า โอกาสของการเกิดการกระเจิงที่มุ่งกระเจิงสูง ามีค่าน้อยมาก (ซึ่งสังเกตได้จากเมื่อทำการทดลองโดยใช้วัตถุตัวอย่างขนาดใหญ่) ดังนั้นเมื่อใช้วัตถุตัวอย่างขนาดเล็ก ทำให้จำนวนนิวตรอนที่กระเจิงไปหัววัดมีค่าน้อย

ลงมาก และการวัดค่า DDX นั้น ในขั้นตอนการเก็บข้อมูลต้องมีการเก็บสเปกตรัม TOF ของ background(Sample-out) แล้วนำมาลบออกจากสเปกตรัม TOF ของ Bismuth(Sample-in) เพื่อที่จะจัดนิวตรอนที่มีได้มาจากการกระเจิงกับวัตถุตัวอย่างทั้งไป ซึ่งโดยปกติมักจะใช้เวลาเก็บกรณี Sample-out เพียง $1/3$ ถึง $1/2$ ของเวลาที่ใช้เก็บกรณี Sample-in แล้วใช้วิธี normalized ให้เท่ากันด้วยค่า neutron flux monitor

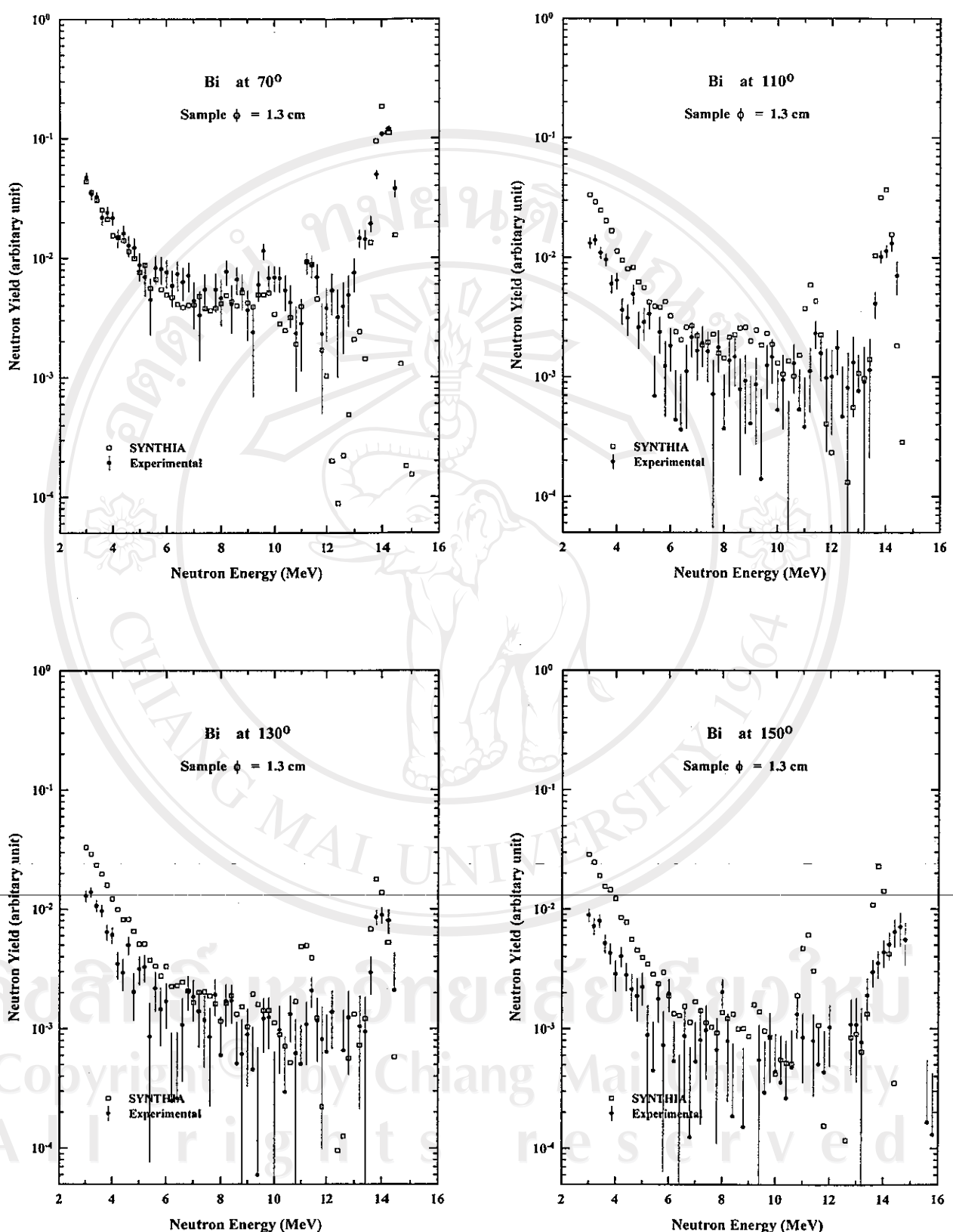
ดังนั้นเมื่อใช้วัตถุตัวอย่างขนาดเล็ก และใช้เวลาเก็บข้อมูลไม่มากเพียงพอที่จะทำให้ทั้งสองกรณีมีความแตกต่างกันในเชิงสถิติแล้ว เมื่อนำมาลบกันก็จะทำให้มีความคลาดเคลื่อนสูง



รูปที่ 40 ผลการจำลองโดยใช้โปรแกรม SYNTHIA เปรียบเทียบกับผลการทดลองจริง ของวัตถุตัวอย่าง Bi ที่มีเส้นผ่าศูนย์กลาง 1.3 ซม ที่มุมกระเจิง 30 และ 50 องศา

วาร
539.7213
0446.0

เลขทะเบียน.....เลขที่.....
สำนักหอสมุด มหาวิทยาลัยเชียงใหม่

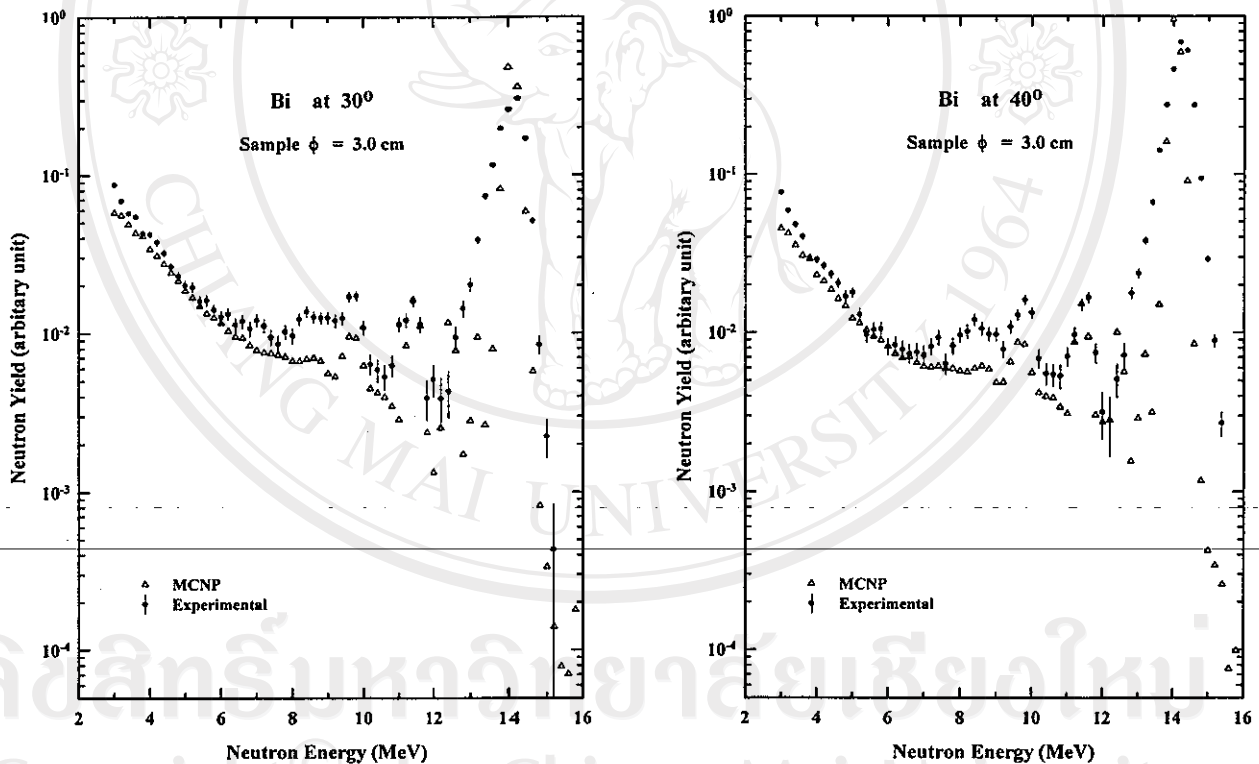


รูปที่ 41 ผลการจำลองโดยใช้โปรแกรม SYNTHIA เปรียบเทียบกับผลการทดลองจริง ของวัตถุตัวอย่าง Bi ที่มีเส้นผ่าศูนย์กลาง 1.3 ซม ที่มุมกระเจิง 70 110 130 และ 150 องศา

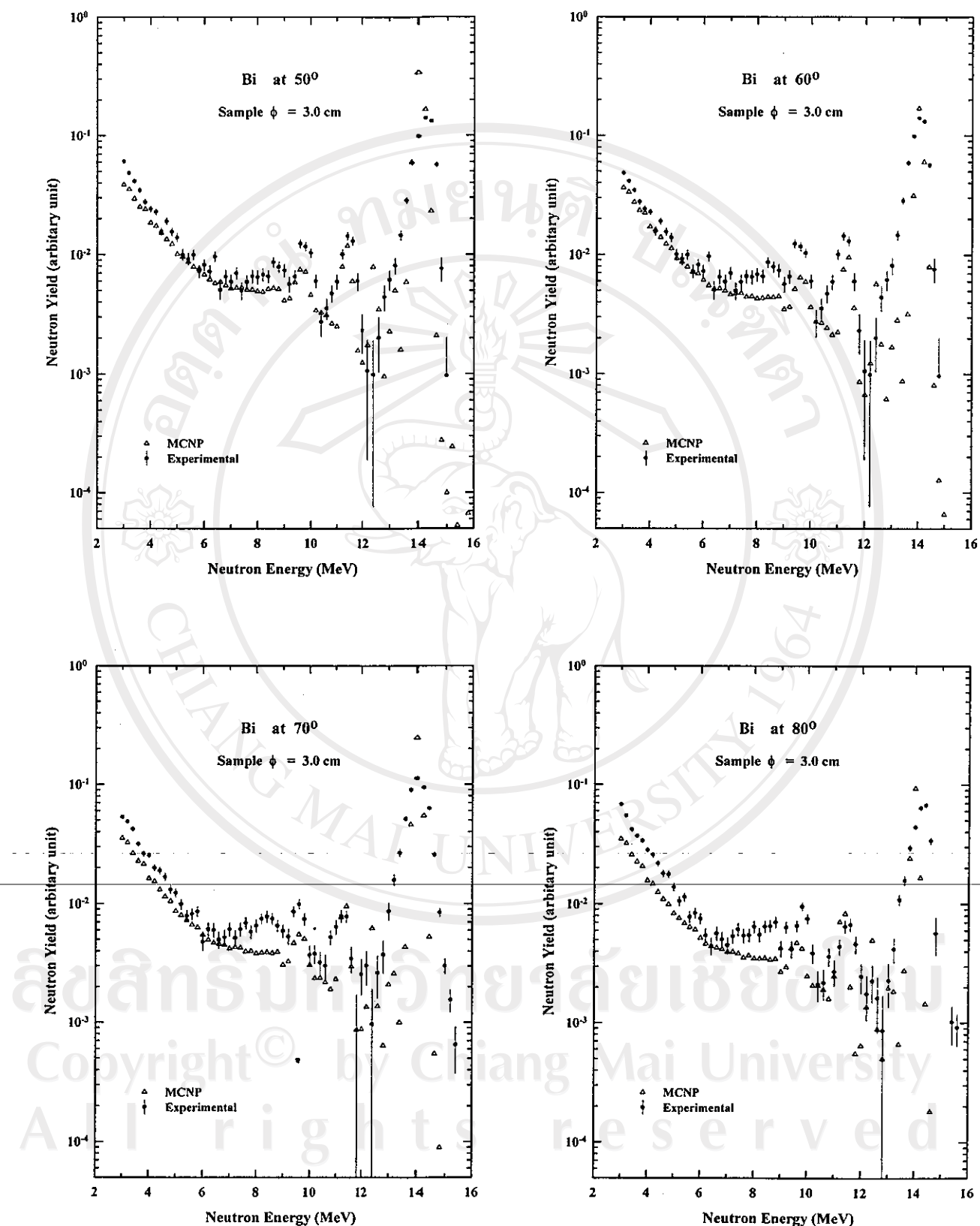
ผลของการจำลองด้วยโปรแกรม MCNP เทียบกับผลที่ได้จากการทดลองจริง

3.9 เมื่อวัตถุตัวอย่างมีขนาดเล็กผ่าศูนย์กลาง 3. เช่นติเมตร

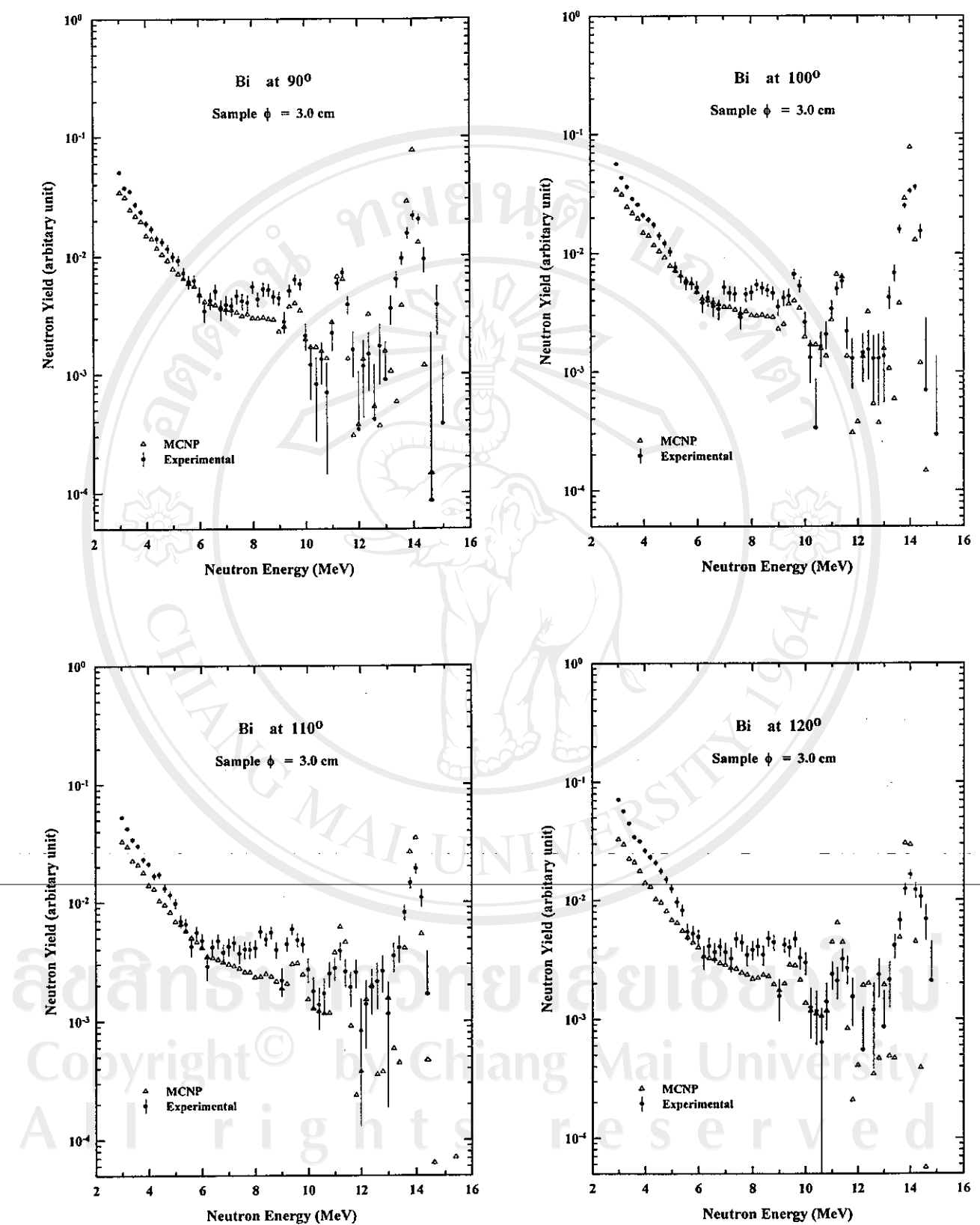
จากรูปที่ 41 ถึง 44 พบว่า ตลอดทุกมุมกระเจิงจะกระเจิง ผลของการจำลองด้วยโปรแกรม MCNP เทียบกับเมื่อเปรียบเทียบกับผลการทดลองจริงแล้ว พบร่วมกันของผลการทดลองจริงและผลการจำลองโดยใช้โปรแกรม MCNP ยังคงแสดงให้เห็นว่า ทั้งสองผลลัพธ์มีความใกล้เคียงกันมาก แต่เมื่อเทียบกับผลการจำลองจากโปรแกรม SYNTHIA ไม่มีประกายให้เห็น ทั้งนี้อาจเนื่องจากว่าโปรแกรม MCNP ใช้ฐานข้อมูล JENDL-FUSION FILES ซึ่งทันสมัยกว่า และประกอบด้วยข้อมูลที่สัมพันธ์กับค่า DDX โดยตรง



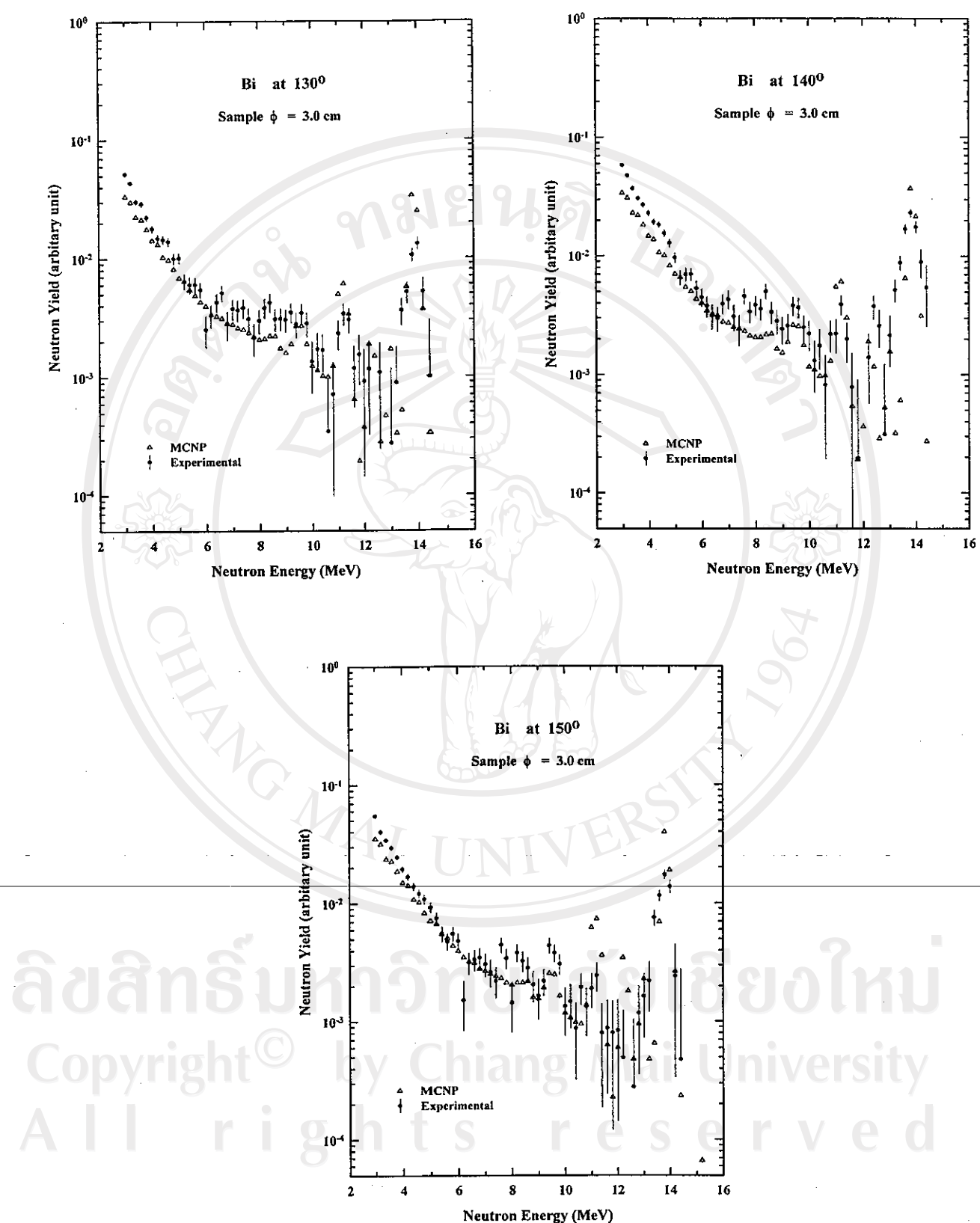
รูปที่ 41 ผลการจำลองโดยใช้โปรแกรม MCNP เปรียบเทียบกับผลการทดลองจริง ของวัตถุตัวอย่าง Bi ที่มีเส้นผ่าศูนย์กลาง 3.0 ซม ที่มุมกระเจิง 30 40 50 และ 60 องศา



รูปที่ 42 ผลการจำลองโดยใช้โปรแกรม MCNP เปรียบเทียบกับผลการทดลองจริง ของวัตถุตัวอย่าง Bi ที่มีเส้นผ่าศูนย์กลาง 3.0 ซม.
ที่มุมกระเจิง 70 80 90 และ 100 องศา



รูปที่ 43 ผลการจำลองโดยใช้โปรแกรม MCNP เปรียบเทียบกับผลการทดลองจริง ของวัตถุตัวอิสระ Bi ที่มีเส้นผ่าศูนย์กลาง 3.0 ซม
ที่มุมกระเดิง $90, 100, 110$ และ 120 องศา

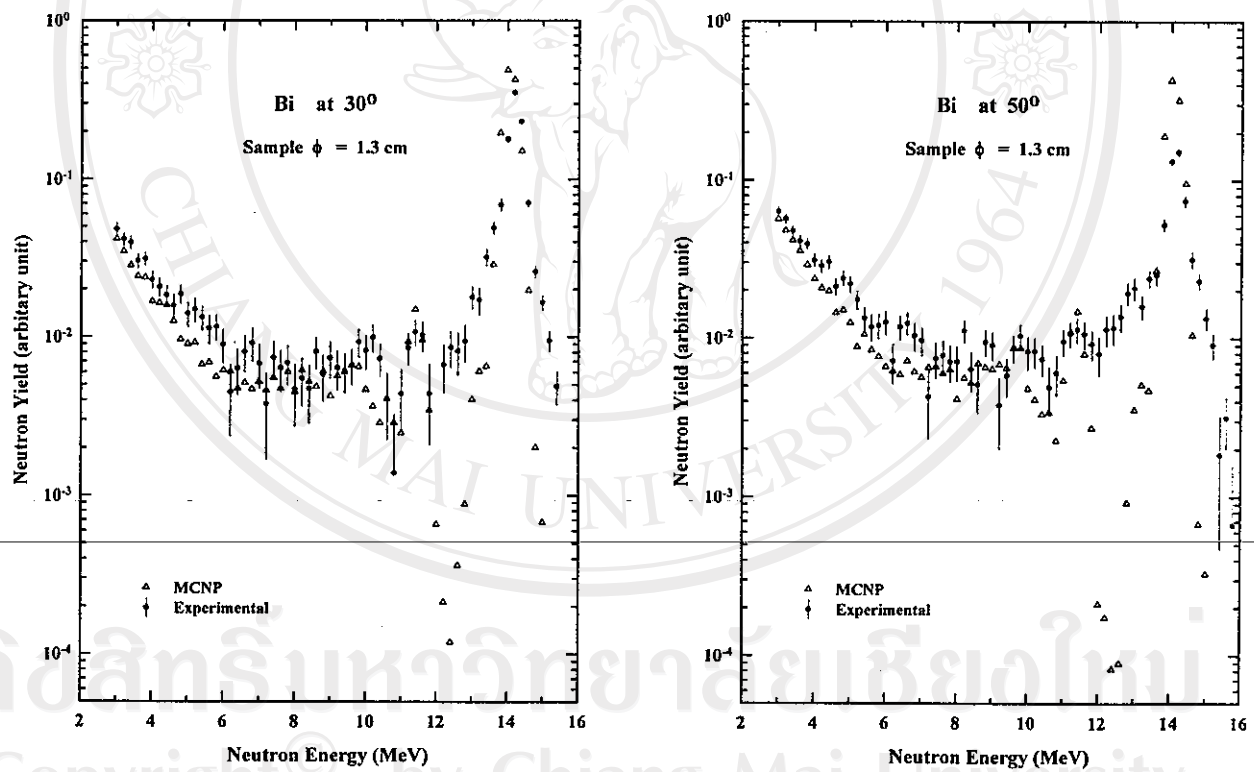


รูปที่ 44 ผลการจำลองโดยใช้โปรแกรม MCNP เปรียบเทียบกับผลการทดลองจริง ของวัตถุตัวอย่าง Bi ที่มีเส้นผ่าศูนย์กลาง 3.0 ซม ที่มุมกระเบื้อง 130 140 และ 150 องศา

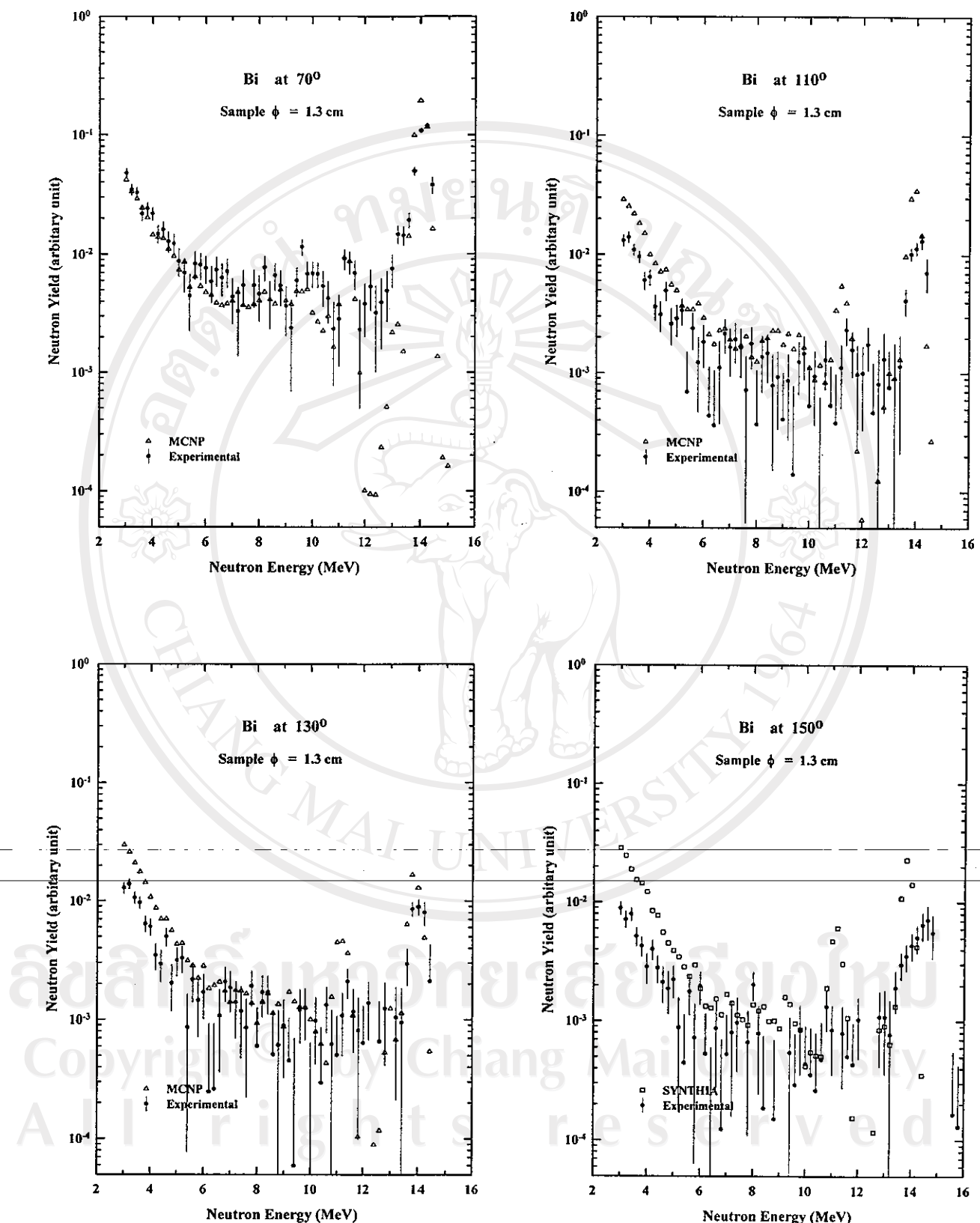
3.10 เมื่อวัตถุตัวอย่างมีขนาดเส้นผ่าศูนย์กลาง 1.3 เซนติเมตร

จากรูปที่ 45 พบว่า ผลของการจำลองด้วยโปรแกรม MCNP เพียบกับเมื่อเปรียบเทียบกับผลการทดลองจริงแล้ว พบว่าให้ผลลัพธ์เช่นเดียวกันในกรณีใช้โปรแกรม SYNTHIA ในหัวข้อ 3.8 กรณีที่มุนกระเจิงค่าๆ กีอ 30,50 และ 70 องศา

แต่สำหรับกรณีที่มุนกระเจิงสูงๆ พบว่าไม่สอดคล้องกัน ดังจะเห็นได้จากรูปที่ 46 ซึ่งคงเนื่องมาจากสาเหตุเดียวกัน



รูปที่ 45 ผลการจำลองโดยใช้โปรแกรม MCNP เมื่อเปรียบเทียบกับผลการทดลองจริง ของวัตถุตัวอย่าง Bi ที่มีเส้นผ่าศูนย์กลาง 1.3 ซม ที่มุนกระเจิง 30 และ 50 องศา



รูปที่ 46 ผลการจำลองโดยใช้โปรแกรม MCNP เปรียบเทียบกับผลการทดลองจริง ของวัตถุตัวอย่าง Bi ที่มีเส้นผ่าศูนย์กลาง 1.3 ซม ที่มุมกระเจิง 70 110 130 และ 150 องศา

ผลของการจำลองด้วยโปรแกรม SYNTIA และโปรแกรม MCNP เทียบกับผลที่ได้จากการทดลองจริง เมื่อวัตถุตัวอย่างมีขนาดต่างๆ และนิวตรอนปานปื้อนที่มีระดับต่างกัน

3.11 ปัญหาประสบ

หลังจากที่ได้ทดลองวัดค่า DDX (ยังไม่ได้แก้ไขผลของการกระเจิงหลายครั้งและการลดทอนของฟลักซ์นิวตรอน) แต่เมื่อเปรียบเทียบกับผลการจำลองที่ด้วยโปรแกรม SYNTIA ดังแสดงในรูปที่ 47 และเปรียบเทียบกับผลการจำลองที่ด้วยโปรแกรม MCNP ดังแสดงในรูปที่ 48 กลับพบว่าไม่สอดคล้องกัน คือในช่วงพลังงานต่ำ ตั้งแต่ 3.0-6.0 MeV ค่าที่วัดได้ต่ำกว่าค่าจาก การจำลองมาก แต่เมื่อนำไปเปรียบเทียบกับผลการทดลองของ Takahashi และคณะ ซึ่งเป็นที่ยอมรับและใช้อ้างอิงในงานด้านนี้(ค่าเหล่านี้ได้แก้ไขผลของการกระเจิงหลายครั้งและการลดทอนฟลักซ์แล้ว)กลับพบว่าให้ผลที่สอดคล้องกัน

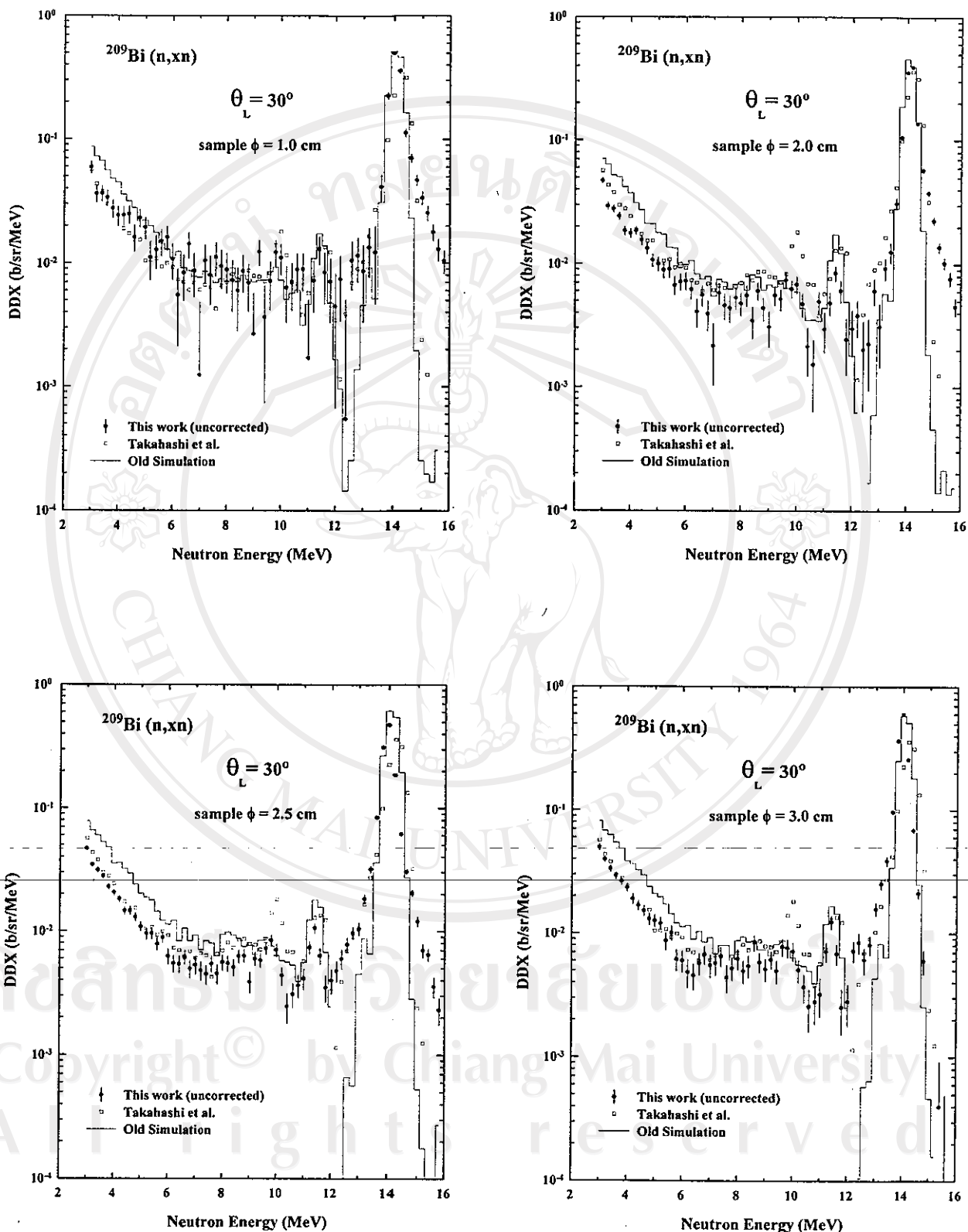
และเมื่อเปรียบเทียบกับผลการทดลองครั้งที่ผ่านมาในรูปที่ 49 ก็พบว่าในช่วงพลังงานตั้ง ก่อว่า ค่าที่ได้ในทดลองครั้งนี้ต่ำกว่ามาก จากผลการเปรียบเทียบดังกล่าวในข้างต้นทำให้คาด การณ์ได้ว่าผลกระเจิงจากนิวตรอนปานปื้อนมีค่าลดลงมาก ดังนั้นจึงไม่สอดคล้องกับผลการ ทดลองครั้งที่ผ่านมา และสาเหตุที่จะทำให้ผลกระเจิงส่วนนี้้อยลงได้ ก็คือแหล่งกำเนิดนิวตรอน ปฐมภูมิอาจมีการเปลี่ยนแปลงรูปร่างและลักษณะการกระจายของพลังงาน โดยเฉพาะอย่างยิ่ง ถ้าส่วนที่เป็นนิวตรอนปานปื้อนนั้นลดลง ซึ่งอาจจะเป็นไปได้ เพราะตลอดเวลาที่ผ่านมาระบบการ วัดพลังงานนิวตรอนได้รับการปรับปรุงประสิทธิภาพหลายประการ คือ

- ระบบคอลลิเมเตอร์ ได้เพิ่มเติมบางส่วนเพื่อลดนิวตรอนที่กระเจิงมาจากส่วนข้าง
- ตำแหน่งของเป้าตรวตเติม เนื่องจากได้เปลี่ยน Pick off ซึ่งเป็นอุปกรณ์สร้างสัญญาณเริ่มต้น (Start) ให้แก่ระบบอิเล็กทรอนิกส์
- แท่งกำบัง(Shadow bar) ที่ทำหน้าที่กำบังไม่ให้นิวตรอนปฐมภูมิผ่านไปเข้าหัววัดโดยตรง ซึ่ง ได้เปลี่ยนจากเหล็กมาเป็นหังสแตนและทองแดง

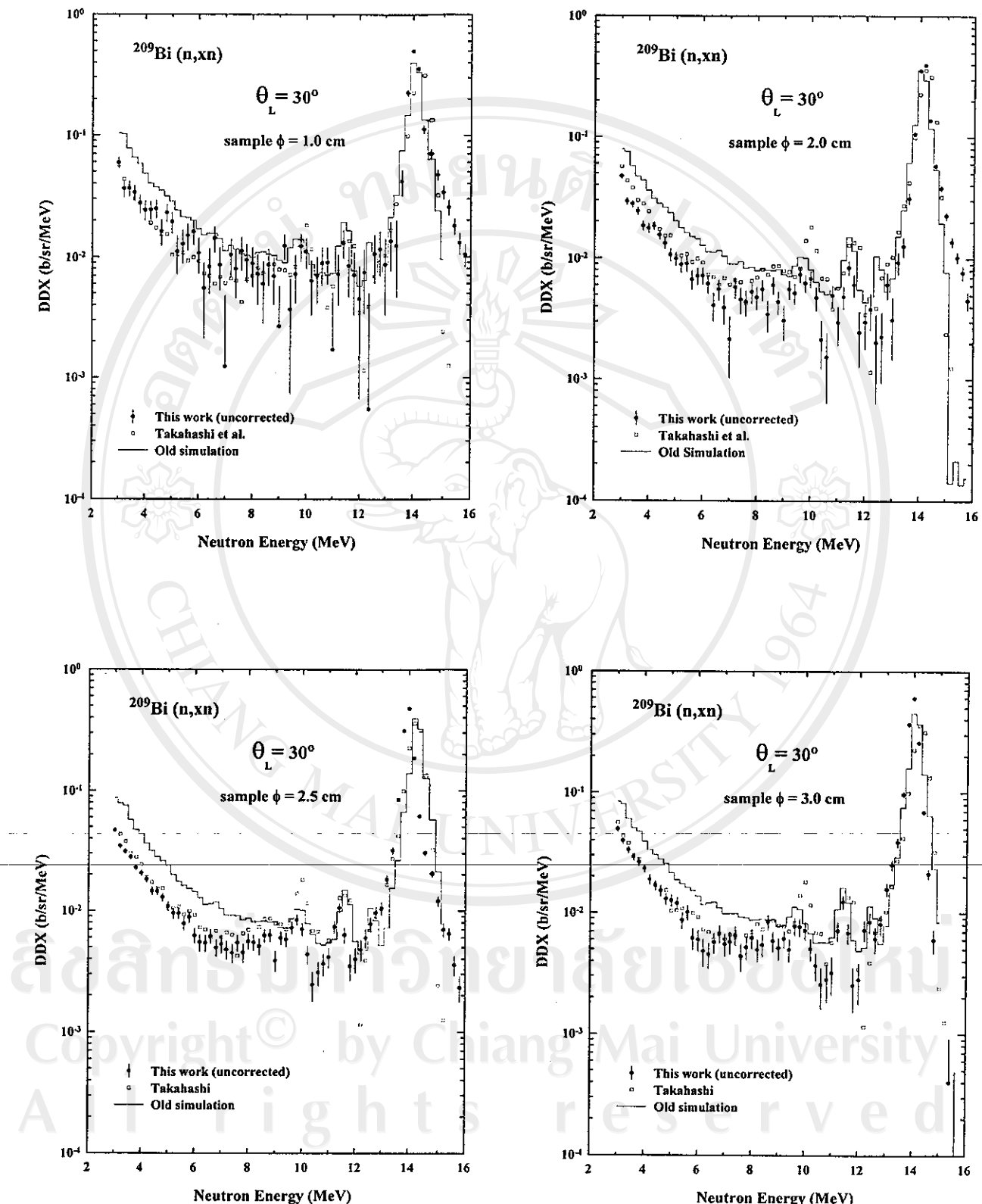
3.12 การแก้ไขและผลลัพธ์

ได้ทดลองวัดสเปกตรัมของแหล่งกำเนิดนิวตรอนใหม่ โดยพิจารณาดูนิวตรอนปานปื้อนเป็น พิเศษ ซึ่งพบว่าระดับของนิวตรอนปานปื้อนในสเปกตรัมของแหล่งกำเนิดนิวตรอนที่วัดใหม่ ต่ำ กว่าเดิมมากเกือบ 2 เท่าตัว ดังเห็นได้จากรูปที่ 50 ซึ่งเป็นไปตามที่คาดไว้

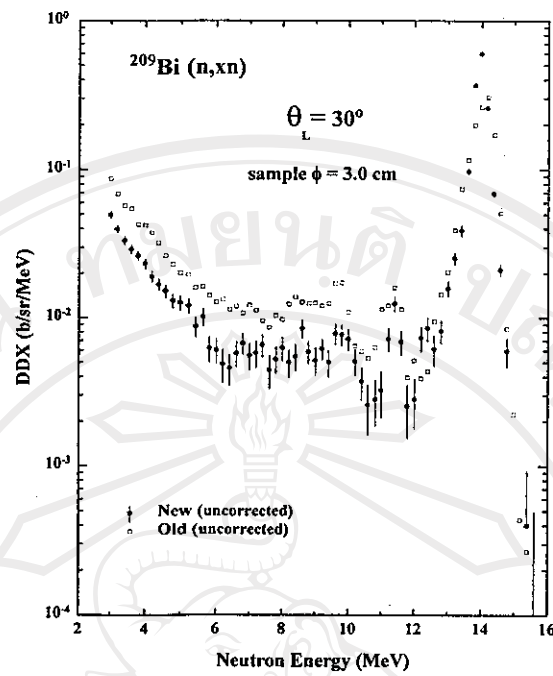
หลังจากนั้นก็ทำการจำลองใหม่โดยใช้สเปกตรัมของแหล่งกำเนิดนิวตรอนใหม่ ซึ่งผลการ จำลองใหม่ที่ได้นี้ห่างจากโปรแกรม SYNTIA และ MCNP สอดคล้องกับผลการทดลองจริงที่วัด ได้



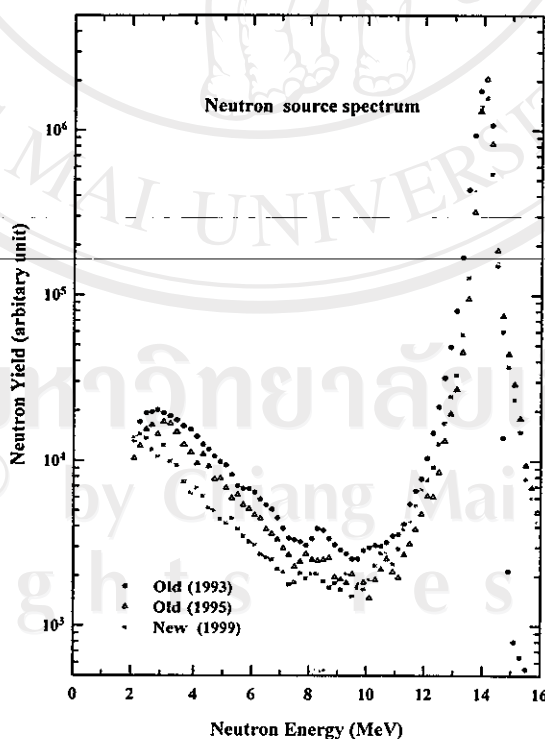
รูปที่ 47 ผลการจำลองโดยใช้โปรแกรม SYNTHIA เปรียบเทียบกับผลการทดลองจริง ของวัตถุตัวอย่าง Bi ที่มีเส้นผ่าศูนย์กลาง 1.0 2.0 2.5 และ 3.0 ซม ที่มุ่งกระเจิง 30 องศา เมื่อใช้สเปกตรัมของเหล็กกำนันวิเคราะห์วัดได้เดิน



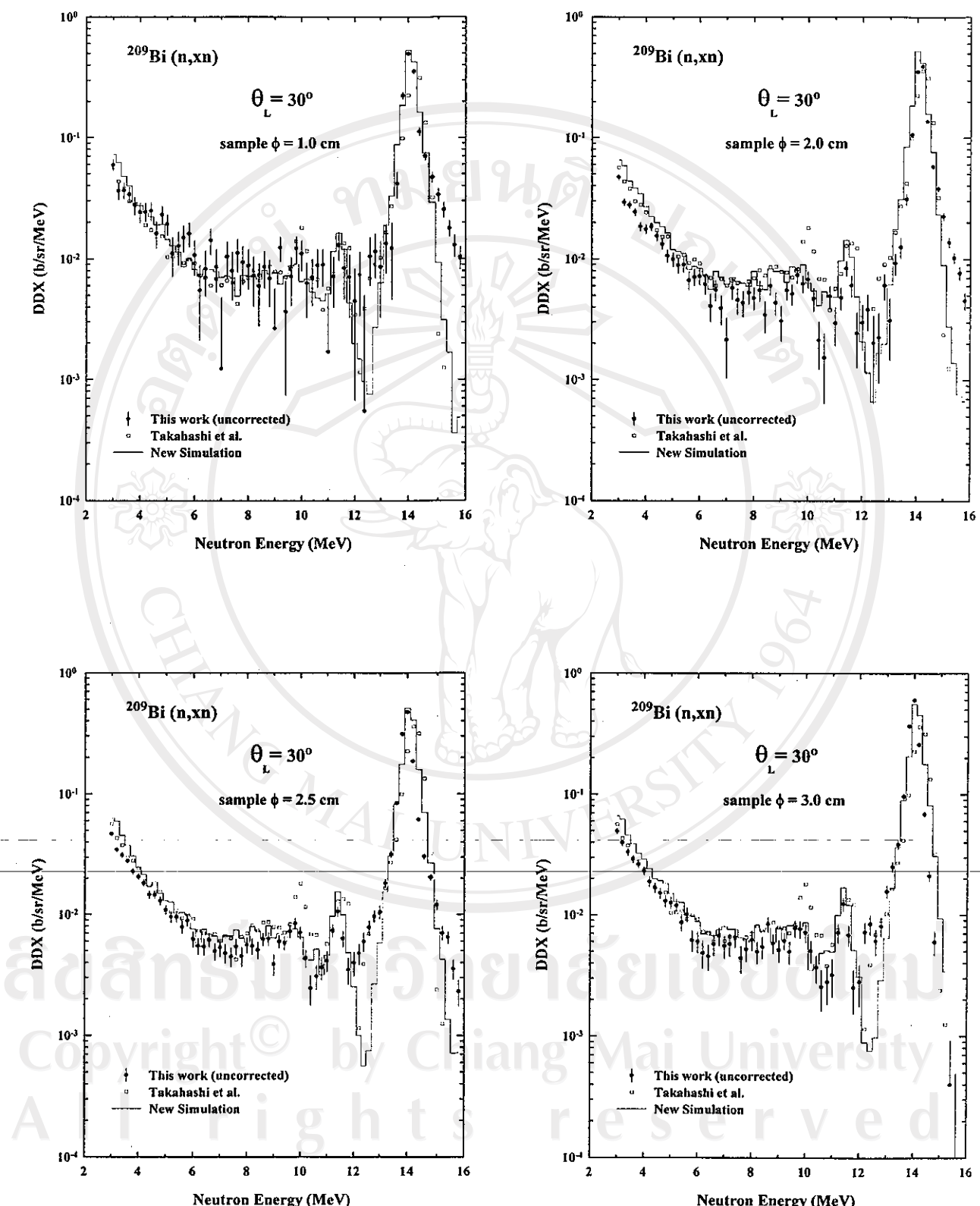
รูปที่ 48 ผลการจำลองโดยใช้โปรแกรม MCNP เปรียบเทียบกับผลการทดลองจริง ของวัตถุหัวอย่าง Bi ที่มีเส้นผ่าศูนย์กลาง 1.0 2.0 2.5 และ 3.0 ซม ที่มุ่งกระเจิง 30 องศา เมื่อใช้สเปกตรัมของแหล่งกำเนินนิวเคลียรอนที่วัดได้เดิม



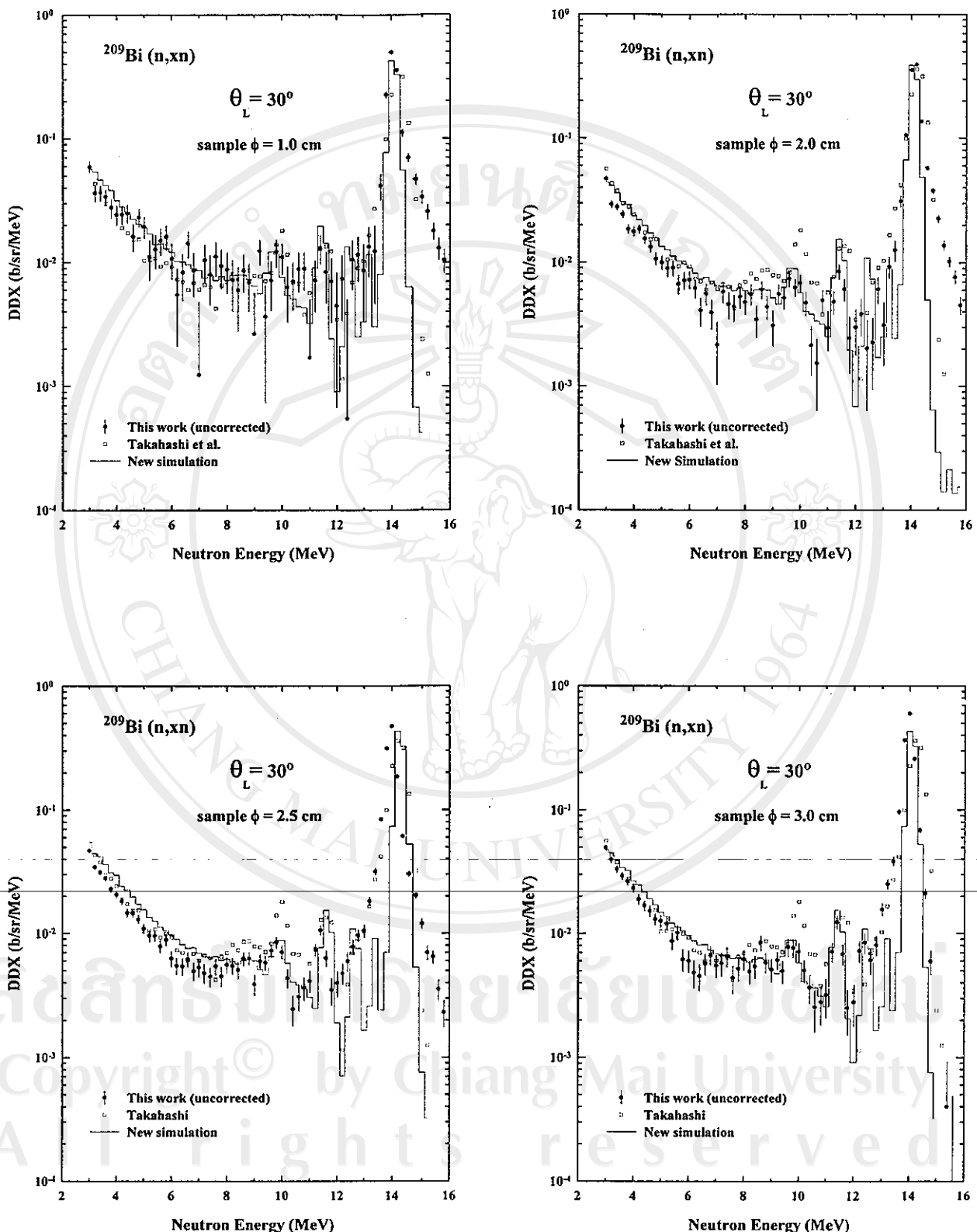
รูปที่ 49 ค่า DDX ที่วัดได้จากการทดลองจริง ของวัตถุตัวอย่าง Bi ที่มีเส้นผ่าศูนย์กลาง 3.0 ซม ที่มุมกระเจิง 30 องศา โดยเปรียบเทียบระหว่างครั้งเก่ากับครั้งใหม่ (ขังไม่ได้แก้ไขผลจาก การเกิดการกระเจิง หลากหลายครั้ง และการลดตอนของฟลักซ์นิวตรอน)



รูปที่ 50 สเปกตรัมของแหล่งกำเนิดนิวตรอนที่วัดได้จากการทดลองจริง โดยเปรียบเทียบระหว่างครั้งเก่ากับครั้งใหม่



รูปที่ 51 ผลการจำลองโดยใช้โปรแกรม SYNTHIA เปรียบเทียบกับผลการทดลองจริง ของวัตถุด้วงบ่าง Bi ที่มีเส้นผ่าศูนย์กลาง 1.0
2.0 2.5 และ 3.0 ซม. ที่มุมกระเจิง 30 องศา เมื่อใช้สเปกตรัมของแหล่งกำเนิดนิวตรอนที่วัดได้ใหม่



รูปที่ 52 ผลการจำลองโดยใช้โปรแกรม MCNP เปรียบเทียบกับผลการทดลองจริง ของวัตถุตัวอย่าง Bi ที่มีเส้นผ่าศูนย์กลาง 1.0 2.0 2.5 และ 3.0 ซม ที่มุมกระเจิง 30 องศา เมื่อใช้สเปกตรัมของแหล่งกำเนิดนิวเคลียรอนที่วัดได้ใหม่

บทที่ 4

สรุป

การศึกษาผลของการกระเจิงหล่ายครั้งและการลดTHONฟลักซ์ของนิวตรอน ด้วยเทคนิค蒙ติคาร์โล โดยใช้โปรแกรม SYNTHIA ซึ่งเป็นขั้นสำหรับงานทางด้านนี้โดยเฉพาะ และประยุกต์โปรแกรมคอมพิวเตอร์ MCNP ซึ่งเป็นโปรแกรมเอนกประสงค์ แสดงให้เห็นว่าเมื่อใช้บิสมัทขนาดเล็กกว่าเดิม 4 เท่า สามารถลดผลของการกระเจิงหล่ายครั้งได้ประมาณร้อยละ 85 ถึง 90 และผลของการลดTHONฟลักซ์ของนิวตรอนได้ประมาณร้อยละ 90 ถึง 95

สำหรับการศึกษาผลจากนิวตรอนปนเปื้อนนั้นจะขึ้นอยู่กับระดับขนาดของจำนวนนิวตรอนปนเปื้อนในสเปกตรัมของแหล่งกำเนิด กล่าวคือถ้ายิ่งมีระดับขนาดของนิวตรอนปนเปื้อนอยู่สูงมากก็จะส่งผลกระทบมากตามลำดับ และรุนแรงกว่าผลจากการเกิดการกระเจิงหล่ายครั้งแต่ผลจากนิวตรอนปนเปื้อนนี้จะไม่ขึ้นกับขนาดของวัตถุตัวอย่าง เนื่องจากบิสมัทเป็นธาตุหนักดังนั้นโอกาสการกระเจิงแบบยีดหุ่นสำหรับนิวตรอนพลังงานต่ำจึงมีค่าสูง และโดยเฉพาะการกระเจิงที่มุ่งต่อ ฯแล้วยิ่งมีมากขึ้น

การเปรียบเทียบผลการจำลองการกระเจิงหล่ายครั้งและการลดTHONฟลักซ์ของนิวตรอนจากโปรแกรม SYNTHIA กับ MCNP พบร่วมกัน พบว่าให้ผลลัพธ์ที่ใกล้เคียงกัน แม้ว่าจะแตกต่างกันในบางช่วงของพลังงานนิวตรอน ทั้งนี้คงเป็นเพราะว่าใช้ข้อมูลทางนิวเคลียร์ที่แตกต่างกัน และเมื่อเปรียบเทียบกับผลการทดลองจริงในการวัดค่า DDX และ พบร่วมกันโดยส่วนใหญ่สอดคล้องกันดี จะแตกต่างกันเฉพาะในช่วงของพลังงานนิวตรอนประมาณ 6 ถึง 10 MeV ซึ่งอาจจะเป็นเพราะค่า cross section ของช่วงพลังงานนี้มีค่าต่ำ ทำให้ค่าที่ได้มาจากการวิเคราะห์จากการทดลองมีความคลาดเคลื่อนทางสถิติสูง

ข้อเสนอแนะ คือ ควรจะทำการการศึกษาผลของการกระเจิงหล่ายครั้งและการลดTHONฟลักซ์ของนิวตรอน ด้วยเทคนิค蒙ติคาร์โลสำหรับธาตุเบา อาทิ ไฮโดรเจน คาร์บอน และธาตุปานกลาง อาทิ เหล็ก วานาเดียม รวมทั้งทดสอบด้วยการใช้รูปทรงกระบอก 2 ชั้นที่แกนกลางสามารถลดประกอบได้ ซึ่งในอดีตนิยมใช้ในการศึกษาทางด้านนี้

เอกสารอ้างอิง

1. M.Baba, S.Matsuyama, T.Ishikawa, M.Chiba, S.Sakase and N.Hirakawa, Nucl. Instr. And Meth., A366 (1995) 354.
2. Los Alamos National Laboratory, “RSIC COMPUTER CODE COLLECTION”,(1994)
3. A.Pavlik, private communication (1988).
4. T.Vilaithong, S.Singkarat, U.Tippawan, D.Boonyawan, S.Aumkaew and S.Ratanarin, “A Neutron Collimator System for Nuclear Energy Measurement Program,” Report submitted to National Research Council (1995).
5. A.Takahashi, E.Ichimura, Y.Sasaki and H.Sugimoto, J. Nuc. Sci Technol.25 (1988) 215.
6. T.Vilaithong, U.Tippawan and S.Singkarat, “A High Resolution of Double Differential Neutron Emission Cross Section for ^{209}Bi at 14 MeV Incident Energy,”Italian Physical Society,Conference Proceedings, 59, Part I (1997) 574.
7. U.Tippawan, S.Singkarat, S.Ratanarin and T.Vilaithong,“A Study of Multiple Scattering and Flux Attenuation of Fast Neutrons Inside a Cylindrical Sample by Using Monte Carlo Simulation Technique,The 7th Nuclear Science and Technology Conference,(1998)628.

ภาคผนวก

1. แหล่งกำเนิดนิวตรอนปฐมภูมิ (Primary Neutron Source)

-รูปร่างและลักษณะการกระจายพลังงานของนิวตรอนปฐมภูมิ

ในทางทฤษฎี พลังงานของนิวตรอนปฐมภูมิที่เกิดจากปฏิกิริยารวมตัว(Fusion reaction) แบบดิวเทอรอนกับตรีเตียม(d-T) จะมีลักษณะเป็นแบบพลังงานเดียว(monoenergetic) แต่ในทางการทดลองจริงแล้วพลังงานของนิวตรอนจะมีลักษณะการกระจายเป็นรูปเกาส์เชียนพีค (Gaussian peak) เนื่องจากผลกระทบต่างๆดังต่อไปนี้

(ก) ผลเนื่องจากการลดthon (attenuation) กล่าวคือพลังงานของดิวเทอรอนทั้งหมด กับเป้าตรีเตียมชนิด solid target ซึ่งเป็นเป้าแบบที่ตรีเตียมถูกดูดกลืนอยู่ในชั้นของโลหะที่มีสมบัติ ดูดกลืนก้าชกลุ่มไฮโดรเจนได้ดี เช่น ไททาเนียม เป็นต้น ดังนั้นดิวเทอรอนที่เข้าไปทำปฏิกิริยากับ ตรีเตียม จะถูกลดTHONพลังงานลงในชั้นความหนาของเป้า

(ข) ผลเนื่องจากมุมทั้งหมดของดิวเทอรอนที่เปลี่ยนไป เพราะเกิดการกระเจิงหลาย ครั้ง (multiple scattering) ภายในเป้า ทำให้มุมกระเจิงของนิวตรอนที่ออกมาคลาดเคลื่อนไปจาก ความจริง

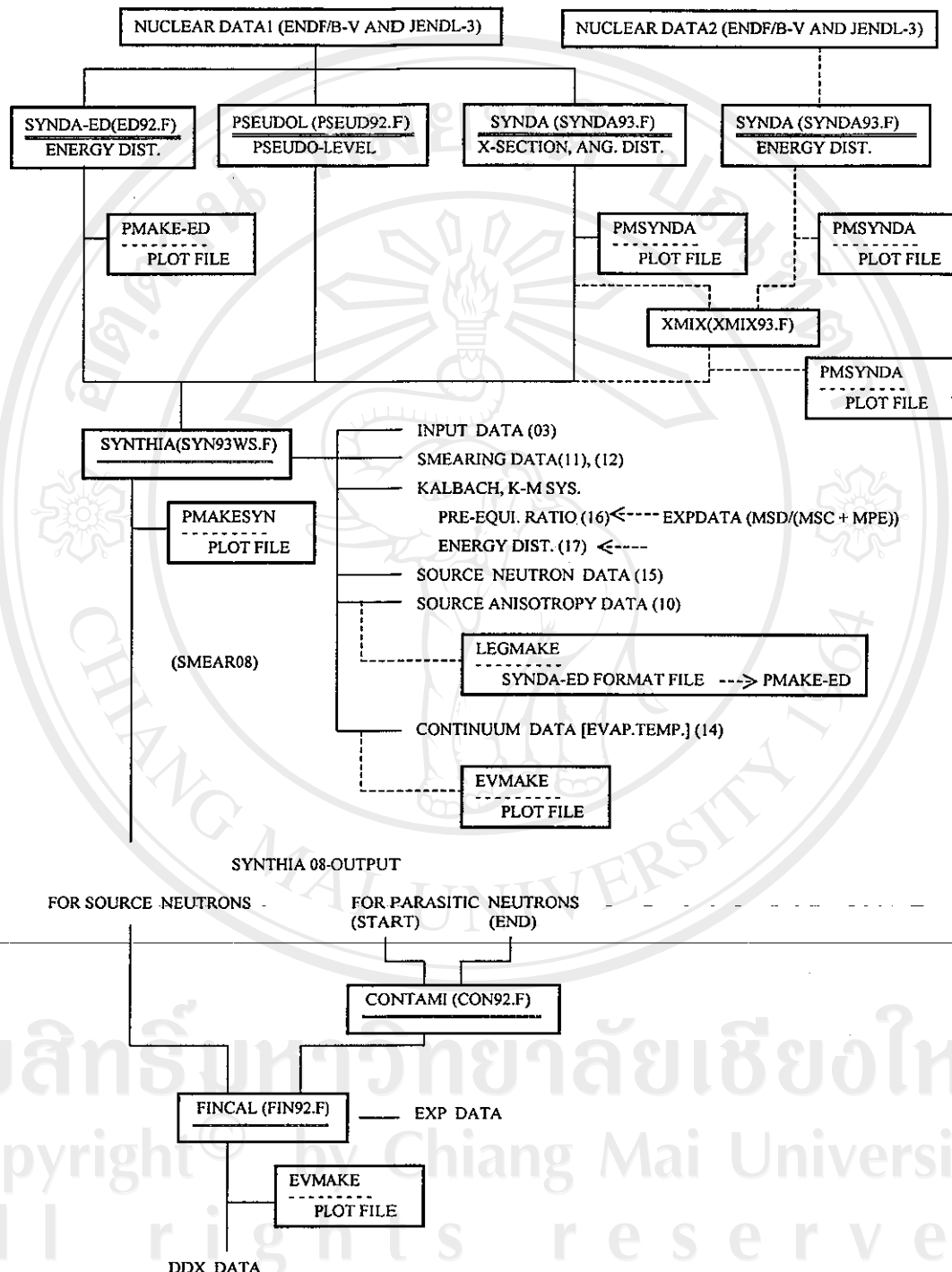
(ค) ผลเนื่องจากขนาดเส้นผ่าศูนย์กลางของลำดิวเทอรอนที่มีขนาดใหญ่ ซึ่งในการ ทดลองครั้งนี้ขนาดของบีมมีเส้นผ่าศูนย์กลางประมาณ 1 เซนติเมตร

(ง) ผลเนื่องจากการกระเจิงหลายครั้งของนิวตรอนภายในเป้า ทำให้พลังงานและมุม กระเจิงของนิวตรอนที่ออกมาคลาดเคลื่อนไปจากความจริง

นอกจากนี้ผลเนื่องมาจากกระเจิงหลายครั้งของนิวตรอนภายในที่รองรับ(Supporting Backing) ซึ่งชั้นของไททาเนียม-ตรีเตียมเคลือบติดอยู่ รวมทั้งที่ยึดเป้าตรีเตียม อาทิ วงแหวนยาง (O-ring) และท่อนำลำอนุภาคดิวเทอรอน และจากการ in-scatter ของนิวตรอนทุติยภูมิภายใน collimator (Vilaithong et al., 1995) รวมทั้งอาจจะเป็นนิวตรอนที่เกิดจาก parasitic reaction (d-D, d-C และ d-O) ซึ่งทำให้ลักษณะการกระจายของพลังงานมีค่าແผลอกไปในช่วงพลังงาน ต่ำๆ

จากการทดลองวัดสเปกตรัมของแหล่งกำเนิดนิวตรอนโดยตรงจากเป้าตรีเตียม โดยใช้ หัวดันนิวตรอนชนิด NE-213 ที่มีขนาดเส้นผ่าศูนย์กลาง 5.1 เซนติเมตร หนา 5.1 เซนติเมตร ซึ่งนำไปวางแทนที่ในตำแหน่งของหัวดันนิวตรอนหลัก โดยที่สเปกตรัมของแหล่งกำเนิดนิวตรอน มีการกระจายของพลังงานตั้งแต่ 3.0 ถึง 15.0 MeV ซึ่งเป็นการผสมอยู่ด้วยกันของนิวตรอนแท้ พลังงาน 14 MeV (purely 14 MeV neutrons) ที่มีลักษณะเป็นพีค และนิวตรอนปนเปื้อน (contaminant neutrons) ที่มีพลังงานตั้งแต่ 3.0 ถึง 12.0 MeV ส่วนนิวตรอนที่บริเวณใกล้ที่มี พลังงานประมาณ 13 MeV เกิดจากการกระเจิงของนิวตรอนทุติยภูมิภายในหัวดันนิวตรอนเอง (Takahashi et al., 1988) ซึ่งไม่เกี่ยวข้องดังนั้นจึงตัดออกไป

2 รายละเอียดเกี่ยวกับโปรแกรม SYNTHIA



รูปแผนผังการทำงานของโปรแกรม SYNTHIA

โปรแกรม SYNTHIA ประกอบด้วยโปรแกรมภาษาฟอร์แทรนที่สำคัญ คือ

1. SYNDA-ED(ED92.F) สำหรับอ่านและจัดข้อมูล Energy distribution จากฐานข้อมูลนิวเคลียร์ ENDF/B-V JENDL-3
2. SYNDA(SYNDA93.F) สำหรับอ่านและจัดข้อมูล Total cross section และ Angular distribution จากฐานข้อมูลนิวเคลียร์ ENDF/B-V JENDL-3
3. PSEUDOL(PSEUD92.F) สำหรับอ่านและจัดข้อมูล Pseudo-level จากฐานข้อมูลนิวเคลียร์ ENDF/B-V JENDL-3
4. SYNTHIA(SYN98WS.F) สำหรับจำลองการเกิดการระเจิงหลายครั้งและการลดTHONฟลักซ์ของนิวตรอนพลังงานสูง
5. โปรแกรมสนับสนุน ได้แก่ XMIX93.F , CON92.F , FIN92.F และโปรแกรมสำหรับผลกราฟต่าง ๆ ซึ่งบางโปรแกรมเขียนขึ้นเฉพาะกับระบบการทดลองของมหาวิทยาลัย Tohoku จึงต้องเขียนโปรแกรมใหม่มาเสริมแทน

Input file ของ SYN98WS.F คือ INPUT DATA (03)

BI-209 EN = 14.1 MEV ;for Fast Neutron Research Facility

3 5 1 1 0 0

1

0.5968

1.52 3.505 18.0 1200.0 0. 0.

0.2 0.2

0.14 2.0 16.0

5 1 2

2 5.E6 1 30000

5

17

30 40 50 60 70 80 90 100 110 120 130 140 150

0.028337 208.98

7

0.0 -0.8964 -2.5645 -2.6017 -2.617 -2.822 -2.85

2 2 2 2 2 2 4

0 0 0 0 0 0 7

0 0 1

10.0 1 2 0

KM

```

0 1 1
4 0 1 90 0
90.0
2 1. 1
0.03
1 1 1 1 1 1 1

```

ค่าอธิบายเกี่ยวกับ Input fileของ SYN98WS.F

--For SYNTHIA 93

Main Input Parameters for SYNTHIA [File:03] (cm, MeV unit)

No

- 1 TITLE title, arbitrary (A80)
 2 ICM =3; calculation in energy domain, recommended
 =4; same as 3 but consider the time difference in source- target distance, recommended
 =1,2; Calculation in TOF domain, not available in this version

INS any, (not used)

IEMPH =1; weighted tracking for some reaction
 =0; no weight

ISNS1 =1; start up the subroutine to read in the energy spectrum data,
 SYNDA-ED output(file:01) [SUBROUTINE READAP]

ISNS2 =1; start up the subroutine for calculation of evaporation
 spectrum [SUBROUTINE EVAPSP]

ISM =0; no smearing
 =1; smear both the REAL and IDEAL spectra with the same resolution function

[file: 11--REAL, IDEAL]

 =2; smear the REAL and IDEAL spectra with different resolution functions

[file: 11--REAL, file:12 IDEAL]

3 (ISNS1=1)

NNK1 number of the energy spectrum data, SYNDA-ED output
 read by [SUBROUTINE READSP]

4 DAGL half of the angle subtended by the detector (deg.)

5 RS radius of the sample

HS half height of the sample

SD sample-target center distance

FPATH sample-detector distance (flight path)

SR half-size of the beam spot, 3of Gaussian function

SL full target length

6 CWIDTH energy mesh of output spectra

SWIDTH energy mesh of output for incident neutrons energy spectrum

7 EO energy of incident charged-particle beam

EMIN cutoff energy of secondary neutrons
 EMAX maximum energy of secondary neutrons to consider
 8 NK maximum number of collisions within sample (<6)
 NF =0; count all the events which collided more than NK times
 =1; abandon the events which collided more than (NK+1) times,
 usually recommended
 INMULTI =0; no considering neutron multiplication reaction
 =1; consideration of neutron multiplication reactions (parameter inputs)
 =2; same as 1 but data are input by [SYNDA (sub-program)] table, see the figure
 of the program system
 9 IHS terminate the calculation for STR(IHS)-XLIMT
 XLIMT number of history
 NCAL =0; calculate only the neutron spectrum in the sample, incident flux attenuation and
 fluence factor Fx
 =1; calculate multiple-scattering
 TLIMT limit of the CPU time
***** Meanings of STR(i) *****
 STR(1) total histories
 STR(2) number of total incident neutrons = $\int S(\phi) \cdot (R/r)^2$,
 the spectrum of incident neutrons is SW(1,Y)
 STR(3) number of neutrons which experienced collision,
 = $\int S(\phi) \cdot (R/r)^2 \cdot \exp(-\sum t_i) \cdot dt$
 STR(4) number of neutrons which experienced no collision,
 = $\int S(\phi) \cdot (R/r)^2 \cdot \exp(-\sum t_i) \cdot (1 - \sum t_i)$, recommended
 STR(5) number of neutrons which were not incident on sample
 STR(6) number of neutrons absorbed
 STR(8) number of neutrons lower than EMIN
 STR(9) number of neutrons collided more than NK times

 10 NOUT output of collision distribution in the sample
 =0; no output
 =1; output the history distribution
 =2; output the IDEAL flux
 =3; output the REAL flux
 =4; output the IDEAL reaction rate
 =5; output the REAL reaction rate
 11 NDT1 number of detectors (scattering angles),
 =0; 20 points with equal step in cos
 12 (NDT=1) (THETA(I), I=1, NDT1) scattering angles (deg)
***** 13 ~ 21 Reaction Control Cards *****

- 13 D(14) sample atomic or molecular density (atoms/barn Ecm)
 ATM(0) sample mass number
- 14 IRMAX number of reaction type to consider;
 0 for single atom sample, +10 for compound sample
- 15 (Q(I), I=1,IRMAX); Q-vale of I-th reaction
- 16 (STAD(I), I=1,IRMAX); angular distribution of I-th reaction
 =0; isotropic in CM system
 =1; isotropic in Lab system
 =2; provide data in CM system
 =3; provide data in Lab system
 =4; Kalbach-Mann systematics or
 Kalbach systematics
- 17 (STED(I),I=1,IRMAX); energy distribution of I-th reaction
 =0; calculate by the kinematics, used for STAD=0~3
 =1~5; type of energy spectrum for STAD=1,3
 1; evaporation spectrum
 2; numerical data 1 (1st data of SYNDA-ED output)
 3; numerical data 2 (2nd data of SYNDA-ED output)
 4; numerical data 3 (3rd data of SYNDA-ED output)
 5; numerical data 4 (4th data of SYNDA-ED output)
 6; pseudo-level, isotropic in CM (STAD=0)
 7; Kalbach-Mann systematics (STAD=4) ; Kalbach systematics
 8; Phase-space, not available in this version
- 18 (IRMAX>10) (ATM(I), I=1,IRMAX-10); mass number for I-th reaction channel
- 19 IFSI =1; adopt phase-space for the IRMAX-th reaction channel, not available
 IPSU =1; adopt pseudo-levels for the IRMAX-th reaction channel, 30 levels
 IKM =1; adopt Kalbach-Mann systematics for the IRMAX-th
 channel, < 100 meshes
 =2; adopt Kalbach systematics for the IRMAX-th channel, 100 meshes
 *NOTE: only one of IFSI, IPSU, IKM can be adopted
- 20 (IKM=1,2; when Kalbach-Mann or Kalbach systematic is adopted)
 EKMLIM low limit of neutron energy to apply Kalbach-Mann or Kalbach systematics
 STAD01 angular distribution of the IRMAX-th reaction in the energy region lower than
 EKMLIM (=STAD(IR))
 STED01 energy distribution of the IRMAX-th reaction in the energy region lower than
 EKMLIM (=STED(IR))
 EISO energy of secondary neutrons to switch to isotropic angular distribution
- 21 (IKM=2; when kalbach-systematic is adopted)
 AB mass number of the target
 NB neutron number of the target

- ZB atomic number of the target
- 22 LACOM comment for IDEAL-flux on the IRMAX-th reaction channel (A10)
ex.) IDEA-CONTI, IDEA-4B.P.S
- 23 LEX any, not used
- IDATA =0; adopt lethargy unit
=1; adopt energy unit, usually employed
- LGD =0; $\Sigma(\theta) = \exp(\sum_l(2l+1)A_lP_l(\theta))$ or $\exp(\sum_l A_l P_l(\theta))$
=1; $\Sigma(\theta) = (\sum_l(2l+1)A_lP_l(\text{THETA}))$ or $(\sum_l A_l P_l(\theta))$, usually employed
- 24 IIS =0; other source reaction, input mass and Q-value in card 28
=1; p-T reaction source
=2; d-T reaction source
=3; d-D reaction source
=4; numerical input (spectrum is independent of incident energy and emission angle)
=5; numerical input (spectrum is dependent of incident energy and emission angle)
- NS1 any, not used
- N9 =0; neutron source is anisotropic
=1; neutron source is isotropic
- NEMIT =0; employ source neutrons to 0 degree
=90; employ source neutrons to around 90 degree
- NPOSI =0; horizontal sample orientation
=1; vertical sample orientation
- 25 (IIS=5) NE, NA number of incident energy, angle for input source energy spectrum
- 26 (ICM=4) EREF reference energy to take account the flight time difference
(usually primary neutron energy is employed)
- 27 (NEMIT=90)
-
- ANGNM exact emission angle (ex. 97.5)
- 28 (IIS=0) FA mass of incident particle
FX mass of target
FB mass of neutron
FY mass of residual nucleus
Q5 Q-value of the reaction
- 29 ITHLIM =0; score all the secondary neutrons irrespective of azimuth angle ϕ
=1; score secondary neutrons only for $\phi < \text{DAGL} * \text{PHNORM}$
=2; score secondary neutrons for $\phi > \text{DAGL} * \text{PHNORM}$ with applying weight of $[\exp(-\text{RSS} * \sum_t) / \exp(-\text{SX} * \sum_t)]$
=3; score secondary neutrons with the weight of $[\exp(-\text{RSS} * \sum_t) / \exp(-\text{SX} * \sum_t)]$
- NOTE : ITHLIM=0, computer time is shortest but attenuation of outgoing neutrons is overemphasized for θ around 90-deg
=1, most accurate but statistical error becomes large for θ around 90-deg

=2&3, results are similar with ITHLIM=1, and statistical error is comparable with ITHLIM=0, recommended, but angular resolution is inferior, then for light elements like CH2, ITHLIM=1 should be used

PHNORM limiting value for FAI, see 29 ITHLIM

IQ =0; no consideration of energy width of incident charged particle beam

=1; consideration of energy width by Gaussian function, but no correlation with the neutron energy and its production point (ex. metal target)

=2; consideration of energy width by uniform distribution, but no correlation with the neutron energy and its production point

=20; consideration of energy width by uniform distribution and correlation with the neutron energy and its production point (gas target)

30 (IQ>1) DE standard deviation or total width for energy width of incident beam (MeV)

31 (IEMPH=1)

(MULT(I), I=1,IRMAX); weighing factor of the I-th reaction

32 (IMULT=1)

(NMULT(I),I=1,IRMAX); multiplication factor of the I-th reaction

3 โปรแกรม Monte Carlo N-Particle Transport Code System(MCNP)

การจำลองเหตุการณ์ด้วยเทคนิควิธีมอนติคาร์โล โดยใช้โปรแกรมคอมพิวเตอร์ MCNP ซึ่งพัฒนาโดย Radiation Shielding Information Center (RSIC) Oak Ridge, USA เขียนด้วยภาษาฟอร์แพร์ โปรแกรมนี้เป็นโปรแกรมเอนกประสงค์ สำหรับการประยุกต์ต่างๆ ที่เกี่ยวกับการคำนวณการส่งผ่านอนุภาค(particle transport) ในรัศมีต่างๆ

ไฟล์ต่างๆ ของโปรแกรม MCNP

โดยปกติ MCNP จะต้องมีไฟล์ที่จำเป็นต่อการใช้งานทุกไฟล์อยู่ใน directory เดียวกัน ซึ่งประกอบด้วยไฟล์หลัก ๆ ดังต่อไปนี้

MCNP	:	source program
XSLISTF	:	list of all available cross section tables
XSDIR1	:	directory of all available cross section table
BMCCS1	:	neutron cross section table
ENDL851	:	neutron cross section table
D91	:	neutron cross section table
MCPLIB1	:	photon cross section table

ส่วนที่สำคัญที่สุดในการทำงานของโปรแกรม MCNP คือ Input file (INP) เพราะเป็นไฟล์ที่กำหนดลักษณะของปัญหาที่ต้องการจำลอง และผลลัพธ์ที่ต้องการจะได้จากการจำลองนี้ โดยผู้ใช้จะต้องเขียนไฟล์นี้ขึ้นเองตามรูปแบบที่โปรแกรมได้กำหนดไว้

ส่วนประกอบหลักของ INP สำหรับโปรแกรม MCNP มีดังต่อไปนี้ คือ

1. Cell Cards บ่งบอกถึงรูปร่างและสมบัติต่างๆ ของ cell ประกอบด้วย
 - cell material number เป็นตัวเลขสำหรับอ้างถึงชนิดของวัสดุที่บ่งบอกอยู่ใน material card ซึ่งผู้ใช้สามารถกำหนดได้อย่างอิสระ
 - cell material density สำหรับบ่งบอกความหนาแน่นของวัสดุ โดยชื่นกับเครื่องหมายข้างหน้า คือ
 - ถ้าเป็น + จะหมายถึง atomic density ในหน่วย 10 atom/cm^3
 - ถ้าเป็น - จะหมายถึง mass density ในหน่วย g/cm^3
 - A complete of specification of geometry เป็นตัวเลขสำหรับอ้างถึงชนิดของพื้นผิวที่บ่งบอกอยู่ใน surface card และเครื่องหมาย Boolean: intersection(ที่ว่าง), union(:) และ

complement(#) เพื่อสร้างเป็นรูปทรงตามที่ต้องการ

-cell parameter(เป็นส่วนเสริม เพื่อให้เห็นได้ชัดเจน กว่าการบ่งบอกใน Data cards)

2. Surface Cards บ่งบอกชนิดของพื้นผิวที่จะนำมาประกอบให้เป็น cell ต่าง ๆ ตามที่ต้องการ มี 2 ส่วนคือ

-ตัวอักษร ที่บ่งบอกถึงชนิดของพื้นผิว

-ตัวเลข ที่บ่งบอกถึงค่าสัมประสิทธิ์ต่าง ๆ สำหรับแต่ละชนิดของพื้นผิว

3. Data Cards บ่งบอกข้อมูลต่าง ๆ ที่เกี่ยวกับชนิดของอนุภาคที่ส่งผ่าน ตัวแปรต่าง ๆ ของ cell และ surface คุณสมบัติของเหล็กกำเนิดอนุภาค ชนิดและลักษณะของวัสดุตัวกลาง รวมทั้งรูปแบบ และลักษณะของผลลัพธ์ที่ต้องการได้จากการคำนวณ โดยจะแบ่งย่อยออกเป็นส่วนๆ

3.1 MODE card มี 4 ประเภท คือ

Mode N	สำหรับการส่งผ่านของนิวตรอน	
N P	สำหรับการส่งผ่านของนิวตรอน	และไฟต่อนจากการเหนี่ยวนำของนิวตรอน
P	สำหรับการส่งผ่านของไฟต่อน	
E	สำหรับการส่งผ่านของอิเล็กตรอน	
P E	สำหรับการส่งผ่านของไฟต่อน และอิเล็กตรอน	
N P E	สำหรับการส่งผ่านของนิวตรอน, ไฟต่อนที่เกิดจากการเหนี่ยวนำของนิวตรอน และอิเล็กตรอน	

หมายเหตุ Mode N P ไม่รวมนิวตรอนที่เกิดจากการเหนี่ยวนำของไฟต่อน

3.2 Cell และ Surface parameter cards บ่งบอกค่าตัวแปรต่าง ๆ ของ cell และ surface โดยจะต้องเรียงกันสัมพันธ์กับ Cell และ Surface cards ที่ปรากฏในข้างต้น

3.3 Source specification cards บ่งบอกลักษณะและสมบัติต่าง ๆ ของเหล็กกำเนิดอนุภาค เริ่มต้น มีอยู่ 4 แบบ คือ

-general source(SDEF card)

-surface source(SSR card)

-criticality source(KCODE)

-user supplied source

ส่วนตัวแปรต่าง ๆ ของเหล็กกำเนิดอนุภาคเริ่มต้น สำหรับ SDEF ได้แก่

POS	คือ ตำแหน่งเริ่มต้นของอนุภาค
CEL	คือ cell ที่อนุภาคถูกปลดปล่อย
ERG	คือ พลังงานของอนุภาค ในหน่วย MeV
WGT	คือ statistical weight ของอนุภาค
TME	คือ เวลา ณ จุดเริ่มต้นของอนุภาค ในหน่วย shakes
PAR	คือ ประเภทของอนุภาค

3.4 Tally specification cards บ่งบอกรูปแบบและลักษณะของผลลัพธ์ที่ต้องการได้จาก การคำนวณ ซึ่งมีแบบมาตรฐานที่โปรแกรม MCNP จัดสรรไว้ให้ คือ

F1:N หรือ F1:P หรือ F1:E	คือ Surface current
F2:N หรือ F2:P หรือ F2:E	คือ Surface flux
F4:N หรือ F4:P หรือ F4:E	คือ Track length estimate of cell flux
F5a:N หรือ F5a:P	คือ Flux at a point (point detector)
F6:N หรือ F6:N,P หรือ F6:P deposition	คือ Track length estimate of energy
F7:N deposition	คือ Track length estimate of fission energy
F8:P หรือ F8:E หรือ F1:P,E	คือ Energy distribution of pulse created in a detector

หมายเหตุ ทั้งหมดจะถูก normalized ด้วยจำนวนอนุภาคเริ่มต้น

3.5 Material specification บ่งบอกทั้งองค์ประกอบของวัสดุ และ cross section evaluation ที่ถูกใช้ใน cell ประกอบด้วย

a. Material (Mm) บ่งบอกวัสดุทุกตัวที่ประกอบอยู่ในแต่ละ cell จะเขียนในรูปแบบดังนี้

Mm	ZAID	fraction	ZAID	fraction
----	------	----------	------	----------

โดยที่ m จะสัมพันธ์กับ material number ที่บ่งบอกใน cell card และตามคู่ลำดับระหว่าง identification(ZAID) กับ atomic fraction (หรือ weight fraction ถ้าเครื่องหมายเป็น -) สำหรับแต่ละธาตุหรือนิวเคลียล์ทุกตัวที่มีอยู่ใน cell นั้นๆ

i. Nuclide Identification number(ZAID) คือ เลขที่บ่งชี้ถึงธาตุหรือนิวเคลียล์ที่ต้องการ ในรูปตัวเลขแบบ ZZZAAA.nnX

ZZZ คือ atomic number ของธาตุหรือนิวเคลียต์

AAA คือ mass number ของธาตุหรือนิวเคลียต์ โดยตัดไฟฟอนและอิเล็กตรอนทิ้ง

nn คือ ตัวบ่งชี้ข้อมูล cross-section evaluation

X คือ class ของข้อมูล โดย C : continuous energy; D : discrete reaction; T : Thermal; Y : dosimetry; P : photon; E : electron; และ M : Multi group

ii Nuclide fraction ซึ่งอาจจะ normalized หรือไม่ก็ได้ ระบุได้ทั้งเป็นอัตราส่วนที่เทียบจำนวนอะตอมทั้งหมดเป็น 1 หรือเป็นอัตราส่วนของจำนวนอะตอมเลยก็ได้

b. VOID card หมายถึงที่ว่าง โดยการลบวัสดุทุกชนิดและ cross section ออก แล้วเปลี่ยนค่า nonzero importance ให้เป็น 1 ดังนั้นเมื่อทำการคำนวณ อนุภาคจะถูกส่งผ่านไปทั่วทั้งรูปทรงอย่างรวดเร็วจึงมีประโยชน์อย่างมากในการหาข้อผิดพลาดของรูปทรง ที่มีผลทำให้เกิดการสูญเสียของอนุภาค

3.6 Problem Cutoffs บ่งบอกขีดจำกัดต่าง ๆ ที่ต้องการให้โปรแกรมหยุดการคำนวณ เมื่อค่าเหล่านั้นพ้นขีดจำกัดดังกล่าว ประกอบด้วย

CUT คือ cutoffs

ELPT คือ Cell-by cell energy cutoff

NPS คือ History cutoff

CTME คือ Computer time cutoff

และเมื่อทำงาน(คำนวณ)เสร็จแล้วจะมีการสร้าง output file ใหม่ 2 ไฟล์ คือ

OUTP : Output file ที่ประกอบด้วยผลลัพธ์ทั้งหมดจากการคำนวณ

RUNTP : Unreadable file ที่ประกอบด้วยข้อมูลสำหรับการคำนวณแบบต่อเนื่องและการสร้างกราฟของ tally ต่าง ๆ

Input file สำหรับโปรแกรม MCNP ที่ใช้ในการคำนวณการกระเจิงอุดมคติ

```

Estimation of Correction Factor for DDX Measurement -- Ideal Bi Sample --
1   1  -9.8  -1 -2 +3 imp:n=1 $ sample
2   0      -4 #1    imp:n=1 $ void
3   0      +4    imp:n=0 $ outer world

1   cx  0.00001
2   px  +0.00001
3   px  -0.00001
4   so 2000.0

fcl:n -1 0 0
mode n
m1  83209.41c 1
sdef erg=14.1 pos=18 0 0 vec=-1 0 0 dir=1 ara=1
fc135  30 degree
f135:n -1039.23 600.000  0 0
fc145  40 degree
f145:n -919.253 771.345  0 0
fc155  50 degree
f155:n -771.345 919.253  0 0
fc165  60 degree
f165:n -600.000 1039.23  0 0
fc175  70 degree
f175:n -410.424 1127.63  0 0
fc185  80 degree
f185:n -208.379 1181.77  0 0
fc195  90 degree
f195:n  0.000 1200.00  0 0
fc205  100 degree
f205:n 208.379 1181.77  0 0
fc215  110 degree
f215:n 410.424 1127.63  0 0
fc225  120 degree
f225:n 600.000 1039.23  0 0
fc235  130 degree
f235:n 771.345 919.253  0 0
fc245  140 degree

```

f245:n 919.253 771.345 0 0

fc255 150 degree

f255:n 1039.23 600.000 0 0

e0 1.0 69i 15.0

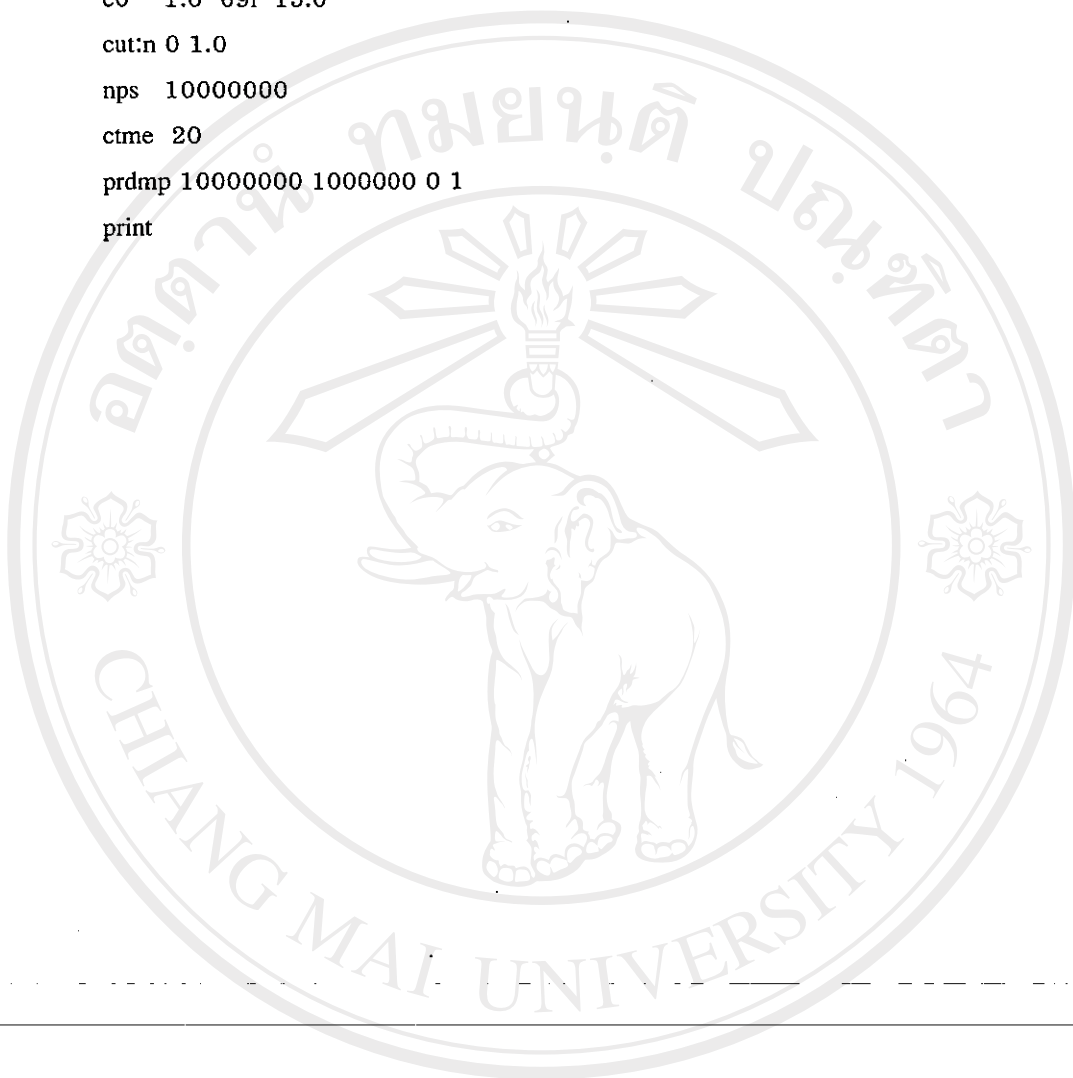
cut:n 0 1.0

nps 10000000

ctme 20

prdmp 10000000 1000000 0 1

print



ลิขสิทธิ์มหาวิทยาลัยเชียงใหม่

Copyright © by Chiang Mai University

All rights reserved

แบบแสดงรายการใช้จ่ายเงิน

รายงานการใช้จ่ายเงิน ดูงเดือนที่ 1 เดือน กันยายน พ.ศ. 2539 ถึง วันที่ 30 เดือน กันยายน พ.ศ. 2541

รหัสโครงการ ๐๐ - ๓๙-๖๐-EMT-10-01

ชื่อโครงการ บริษัทผลิตวัสดุหิน สำหรับงานแก้วและเครื่องประดับ จำกัด แหล่งผลิตหินพืชที่ใหญ่ที่สุดในประเทศไทย

สถานที่ บ้านเชียงใหม่ หมู่ที่ ๑๘ ถนนสุขุมวิท แขวงแม่ริม

ระยะเวลา ๒๕๖๒ ปี - เดือน

รายการ	งบประมาณ	จำนวนเงิน	คงเหลือ
	(1)	(2)	(3)
	(4) = (2) - (3)		
1. ค่าตอบแทน	63,600.-	53,700.-	47,400.-
2. ค่าใช้จ่ายเดินทาง	14,400.-	14,400.-	-
3. ค่าครุภณฑ์	-	-	-
4. ค่าวัสดุ	96,000.-	96,000.-	106,300.-
5. ค่าพาหนะ	4,000.-	4,000.-	3,000.-
6. ค่าวีเคราะห์ตัวอย่าง	-	-	-
7. ค่าทำรายงานนักศึกษา	11,000.-	11,000.-	8,000.-
รวม	189,000.-	179,100.-	179,100.-
ค่าธรรมเนียม 10 % ทั้งหมด	10,000.- บาท		

ลงชื่อ *James John*

ผู้จัดการบริษัท
ห้ามนำเอกสาร

การศึกษาผลของการกระเจิงหล่ายครั้ง และการลดทอนของนิวตรอน ในวัตถุตัวอย่างรูปทรงกรวย กองโดยเทคนิค蒙ติคาร์โล

อุดมรัตน์ พิพวรรณ สมศร สิงหรัตน์ สุวิชา รัตนรินทร์ และ อิรพัฒน์ วิลัยทอง
ภาควิชานิวตรอนพลังงานสูง ภาควิชาฟิสิกส์ คณะวิทยาศาสตร์ มหาวิทยาลัยเชียงใหม่ 50200
โทร. (053)943379 โทรสาร (053)222776

บทคัดย่อ

โดยเทคนิค蒙ติคาร์โล ได้ทำการจำลองเหตุการณ์ของการเกิดการกระเจิงหล่ายครั้ง และ การลดทอนฟลักซ์ของรังสีนิวตรอนพลังงานสูง เมื่อเข้าไปในวัตถุตัวอย่างรูปทรงกรวยของตันที่เป็น ธาตุหนักชนิดเดียวกัน การจำลองได้เน้นพิจารณาถึงผลจากขนาดของวัตถุตัวอย่าง และรังสีนิวตรอน ปั่นปี้อนจากเป้าริเติยม โดยทั้งนี้ได้ใช้ ขนาด รูปร่าง ตำแหน่ง และระยะห่างของเป้าริเติยมกับ วัตถุตัวอย่าง รวมทั้งตำแหน่งของหัววัดนิวตรอน ให้เหมือนกับสถานการณ์จริง ผลลัพธ์จากการ จำลองได้นำไปเปรียบเทียบกับผลจากการทดลองจริง ของการวัดค่า Double Differential Neutron Emission Cross Section ของธาตุบิสเมท (^{209}Bi)

A Study of Multiple Scattering and Flux Attenuation of Fast Neutrons Inside a Cylindrical Sample by Using Monte Carlo Simulation Technique

Udomrat Tippawan, Somsorn Singkarat, Suvicha Ratanarin and Thiraphat Vilaithong

Fast Neutron Research Facility, Department of Physics, Faculty of Science,

Chiang Mai University, 50200

ABSTRACT

Monte Carlo Simulation was used to simulate the multiple scattering and the flux attenuation of penetrating fast neutrons in a solid cylindrical sample of single nuclei. The sample-size effect and the source related background effect are the aim of this investigation. The simulation used actual dimension and geometry of a tritium target-sample-detector. Results of simulation will be shown in comparison with the experimental results on a Double Differential Neutron Emission Cross Section of Bismuth (^{209}Bi) at 14 MeV neutron.

บทนำ

เทคนิคการวัดพลังงานของนิวตรอนพลังงานสูงแบบ Time-of-Flight (TOF) ได้รับการยอมรับกันโดยทั่วไปแล้วว่าเป็นเทคนิคที่มีความแม่นยำสูงสุดในขณะนี้ โดยเทคนิคนี้ความแม่นยำหรืออำนาจการจำแนกพลังงาน (energy resolution) ของรังสีนิวตรอน จะพกผันกับระบบการเดินทาง (flight path) ของอนุภาคนิวตรอนในรูปของสมการต่อไปนี้

$$\frac{\Delta E}{E} = \frac{(E + m_n)(E + 2m_n)}{m_n^2} \sqrt{\left(\frac{\Delta X(1 - \beta\eta)}{X}\right)^2 + \left(\frac{\Delta t}{t}\right)^2}$$

เมื่อ E และ m_n คือพลังงานและมวลนิ่งของอนุภาคนิวตรอน $\beta = \frac{v}{c}$ เมื่อ v คือ ความเร็ว

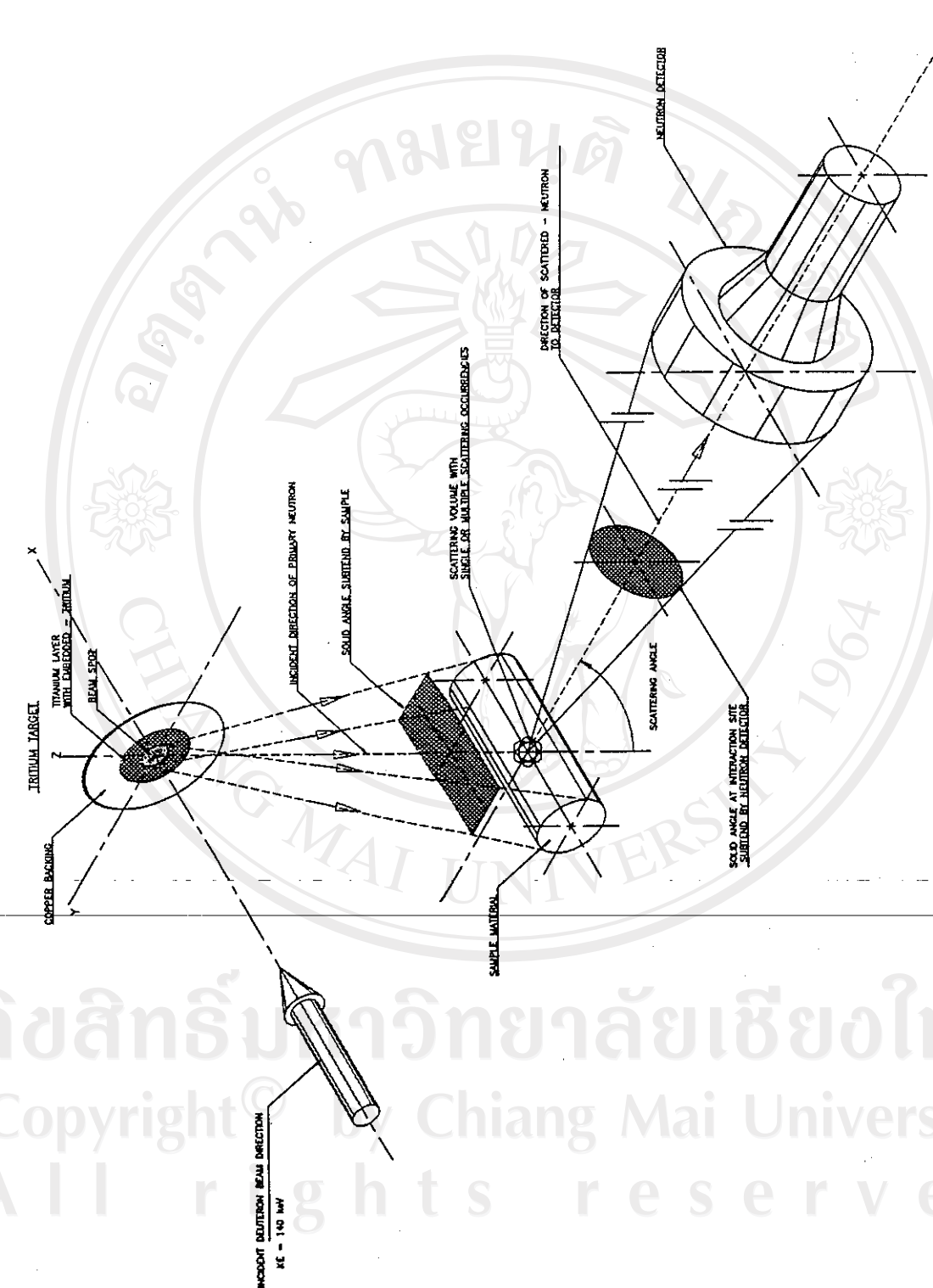
ของอนุภาคนิวตรอน, c คือ ความเร็วแสงในสัญญาากาศ, η คือ ครรชนิหักเหของสารเรืองแสงที่ใช้ทำหัวดังสีนิวตรอน, t คือเวลาที่อนุภาคนิวตรอนใช้ในการเดินทางที่มีระยะทาง X ซึ่งมีความคลาดเคลื่อน ΔX และ Δt คือความคลาดเคลื่อนของระบบการวัดเวลาของระบบอุปกรณ์อิเล็กทรอนิกส์

การเพิ่มระยะเดินทางของอนุภาคนิวตรอนมีข้อดีที่ทำให้ระบบการวัดมีอำนาจการจำแนกพลังงานสูงขึ้น ($\Delta E/E$ มีค่าน้อยลง) แต่มีข้อเสียควบคู่ไปด้วยเนื่องจากจำนวนอนุภาคนิวตรอนที่ไปเข้าหัวดังลดลงตามกฎระยะทางยกกำลังสองผกผัน (inverse square law) ซึ่งส่งผลในทางปฏิบัติที่ทำให้ต้องใช้เวลาในการเก็บข้อมูลนานขึ้น

การแก้ปัญหานี้ที่ลึกเปลี่ยนน้อยที่สุดสำหรับการวัดค่า Double Differential Cross Section (DDX) ก็คือใช้วัดถุตัวอย่างที่มีขนาดใหญ่ขึ้น (ดูรูปที่ 1) ซึ่งเป็นการเพิ่มจำนวนนิวเคลียสเป็นจำนวนมาก จะทำให้มีโอกาสของกาเกิดอันตรกิริยา (interaction) สูงขึ้น แต่เมื่อวัดถุตัวอย่างมีขนาดใหญ่ขึ้น ความเป็นอุดมคติก็ลดลง ก่อให้เกิดการซ้อนกันระหว่างนิวเคลียสเป็นกีมีโอกาสเกิดขึ้นน้อยลง เมื่อเทียบกับเหตุการณ์ที่อนุภาคนิวตรอนมีอันตรกิริยาเพียงครั้งเดียวกับนิวเคลียสเป็นกีมีโอกาสเกิดขึ้นน้อยลง เมื่อเทียบกับเหตุการณ์ที่นิวตรอนมีอันตรกิริยาหลายครั้ง

เพื่อความชัดเจนในการวิเคราะห์จะแยกผลกระทบเนื่องจากขนาดของวัตถุตัวอย่างออกเป็น 2 ประการ ด้วยกัน ดังต่อไปนี้

(i) ผลกระทบขนาดของวัตถุตัวอย่าง(Sample-size effect) เนื่องจากวัตถุตัวอย่าง เช่น ในกรณีนี้คือราดูบิสมัทและสารโพลีเอทธิลีนจำเป็นต้องมีขนาดขั้นต่ำค่าหนึ่ง กล่าวคือมีลักษณะเป็นรูปทรงกรวยอกที่มีขนาดเส้นผ่าศูนย์กลาง 3 เซนติเมตร ยาว 7 เซนติเมตร ดังนั้นเมื่อนิวตรอนปะทะกับวัตถุตัวอย่างจะมีโอกาสที่จะเกิดการกระเจิงหลายครั้ง(Multiple scattering) และเกิดการลดทอน(Attenuation)ของพลังงานนิวตรอน



รูปที่ 1 แสดงลักษณะและตำแหน่งของงานทดลองวัดค่า TOF ที่ว่างห่างกัน DDX ต่างๆ ของวัสดุใน TOF เมื่อพิจารณาความถี่ของน ้าในที่นี่เป็นไปได้โดยรวมของ Shadow Bar, Collimator และ Shielding ของวัสดุที่นี่ควรจะ "ไว้วาง"

อธิสิทธิ์มหาวิทยาลัยเชียงใหม่
Copyright © by Chiang Mai University
All rights reserved

(ii) ผลกระทบนิวตรอนปนเปื้อน(Contaminant neutrons effect) เนื่องจากเหล่งกำเนิดนิวตรอน มีสามารถผลิตนิวตรอนปนเปื้อนกัมพลังงาน 14 MeV บริสุทธิ์ แต่ยังประกอบด้วยนิวตรอนปนเปื้อนที่มี พลังงานต่ำกว่า 12 MeV ลงมา ซึ่งเกิดมาจากคุณสมบัติของเหล่งกำเนิดนิวตรอนเอง หรือเกิดจาก การกระเจิงของนิวตรอนปนเปื้อนกัมพลังงานในเป้าติเติมก่อน ดังนั้นจึงมีโอกาสที่นิวตรอนปนเปื้อนเหล่านี้จะตกกระทบกับวัตถุตัวอย่างด้วย ยิ่งวัตถุตัวอย่างมีขนาดใหญ่ก็ย่อมมีโอกาสที่จะตกกระทบสูง และมีโอกาสที่จะเกิดอันตรรศริยา กับนิวเคลียสในวัตถุตัวอย่าง แล้วกระเจิงไปเข้าหัววัตถุรังสี นิวตรอนได้เหมือนกัน รวมทั้งสามารถเกิดการกระเจิงหลายครั้ง และการลดทอนภายในวัตถุตัวอย่าง ได้อีกเช่นกัน

ดังนั้นในการวิเคราะห์ค่า DDX จึงจำเป็นที่ต้องมีการแก้ไขผลของการกระเจิงหลายครั้งและการลดทอนของพลักช์ของนิวตรอนเนื่องจากสาเหตุดังกล่าวข้างต้น โดยการจำลองเหตุการณ์ (Simulation) ด้วยเทคนิค蒙ติคาร์โล (Monte Carlo Technique) โดยใช้โปรแกรมคอมพิวเตอร์ SYNTHIA ของ Baba และคณะ^[1] แห่งมหาวิทยาลัย Tohoku ประเทศญี่ปุ่น ผลลัพธ์จากการจำลองได้นำไปเปรียบเทียบกับผลจากการทดลองจริงของการวัดค่า DDX ของธาตุบิスマัท(²⁰⁹Bi)^[2]

วิธีการ

2.1 รูป่างและลักษณะการกระจายพลังงานของนิวตรอนปนเปื้อน

ในทางทฤษฎี พลังงานของนิวตรอนปนเปื้อนกัมพลังงานที่เกิดจากปฏิกิริยารวมตัว(Fusion reaction) แบบดิวเทอรอนกับตรีเติม(d-T) จะมีลักษณะเป็นแบบพลังงานเดียว(monoenergetic) แต่ในทางการทดลองจริงแล้วพลังงานของนิวตรอนจะมีลักษณะการกระจายเป็นรูปเกาส์เรียนพีก (Gaussian peak) เมื่องจากผลกระทบต่างๆดังต่อไปนี้^[3] (ครูปที่ 1)

(ก) ผลเนื่องจากการลดทอนของพลังงานของดิวเทอรอนที่ตกกระทบกับเป้าติเติมชนิด solid target ซึ่งเป็นเป้าแบบที่ตรีเติมถูกดูดกลืนอยู่ในขั้นของโลหะที่มีสมบัติคุณลักษณะก้าวกระโดด ไฮโดรเจนไดเดียม เช่น ไทรานเนียม เป็นต้น ดังนั้นมีดิวเทอรอนวิ่งเข้าไปจะถูกลดทอนพลังงานลง โดยขั้นความหนาของไทรานเนียม ก่อนที่จะทำปฏิกิริยากับตรีเติม

(ข) ผลเนื่องจากมุตตผลกระทบของดิวเทอรอนที่เปลี่ยนไป เพราะเกิดการกระเจิงหลายครั้ง ภายในเป้าทำให้มุตตกระเจิงของนิวตรอนที่ออกมามากลดเหลือลง ไปจากความจริง

(ค) ผลเนื่องจากขนาดเส้นผ่าศูนย์กลางของลำดิวเทอรอนที่มีขนาดใหญ่ ซึ่งในการทดลองครั้งนี้ขนาดของบีมมีเส้นผ่าศูนย์กลางประมาณ 1 เซนติเมตร

(ง) ผลเนื่องจากการกระเจิงหลายครั้งของนิวตรอนภายในเป้า ทำให้พลังงานและมุตตกระเจิงของนิวตรอนที่ออกมามากลดเหลือลง ไปจากความจริง

นอกจากนี้ผลเนื่องมาจากการเจิงหดابคั่งของนิวตรอนภายในที่รองรับ(Supporting Backing) ซึ่งชั้นของไททาเนียม-ตรีเตียมเคลือบติดอยู่ รวมทั้งที่ขดเป่าตรีเตียม อาทิ วงแหวนยาง(O-ring) และท่อนำลำอนุภาคดิวเทอรอน^[4] รวมทั้งอาจจะเป็นนิวตรอนที่เกิดจาก parasitic reaction (d-D, d-C และ d-O) ซึ่งทำให้ลักษณะการกระจายของพลังงานมีค่าแฟกторไปในช่วงพลังงานต่ำๆ

จากการทดลองสเปกตรัมของแหล่งกำเนิดนิวตรอนโดยตรงจากเป่าตรีเตียมโดยใช้หัววัดรังสีนิวตรอนชนิด NE-213 ที่เป็นรูปทรงกระบอกมีขนาดเส้นผ่าศูนย์กลาง 5.1 เซนติเมตร หนา 5.1 เซนติเมตร โดยนำไปวางแทนที่ในตำแหน่งของหัววัดรังสีนิวตรอนหลักชนิด BC-501 ที่มีขนาดเส้นผ่าศูนย์กลาง 25 เซนติเมตร หนา 10 เซนติเมตร ซึ่งวัดได้รูปร่างและลักษณะการกระจายของพลังงาน ดังแสดงในรูปที่ 2 โดยที่สเปกตรัมของแหล่งกำเนิดนิวตรอน มีการกระจายของพลังงานตั้งแต่ 3.0 ถึง 15.0 MeV ซึ่งเป็นการผสมอยู่ด้วยกันของนิวตรอนปัจจุบันพลังงาน 14 MeV ที่มีลักษณะเป็นพีก และนิวตรอนปานปีอ่อนที่มีพลังงานตั้งแต่ 3.0 ถึง 12.0 MeV ส่วนนิวตรอนที่บริเวณใกล้ที่มีพลังงานประมาณ 13 MeV เกิดจากการกระเจิงของนิวตรอนทุติยภูมิกายในหัววัดนิวตรอนเอง^[5]

2.2 การจำลองสเปกตรัมของนิวตรอนทุติยภูมิ ที่พลังงานต่างๆ และมุมกระเจิง θ ต่างๆ ซึ่งจะพิจารณาถึง

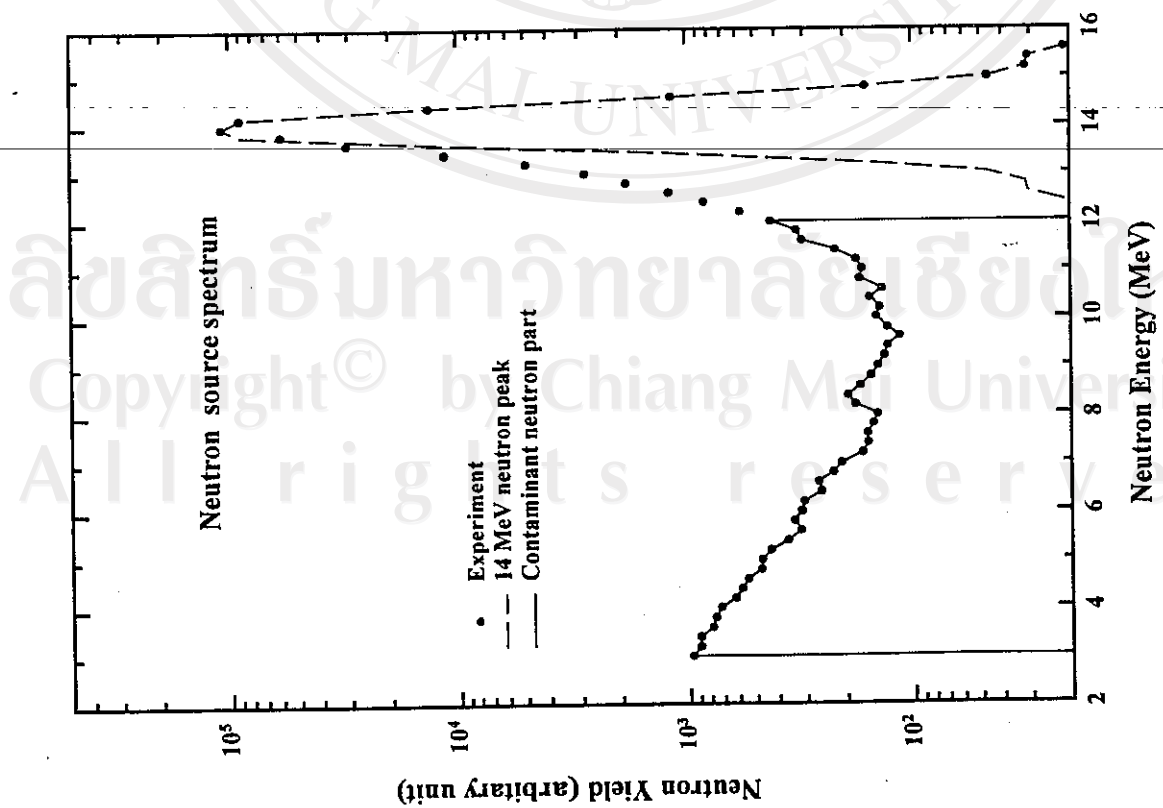
- (ก) ขนาด รูปร่าง ตำแหน่ง และระยะห่างระหว่างเป่าตรีเตียม ฐานตัวอย่าง และหัววัดรังสีนิวตรอน
- (ข) รูปร่าง และลักษณะการกระจายพลังงานของแหล่งกำเนิดนิวตรอน
- (ค) ชนิดของปฏิกริยานิวเคลียร์ที่เกิดขึ้นระหว่างนิวตรอนกับนิวเคลียสของวัตถุตัวอย่าง โดยจะใช้ฐานข้อมูลนิวเคลียร์(nuclear data libraries) จากร้านข้อมูล ENDF/B-VI และ JENDL-3.1

สำหรับกระบวนการจำลองเหตุการณ์ที่จะเกิดขึ้นในการทดลองจริงนั้นจะเริ่มจาก

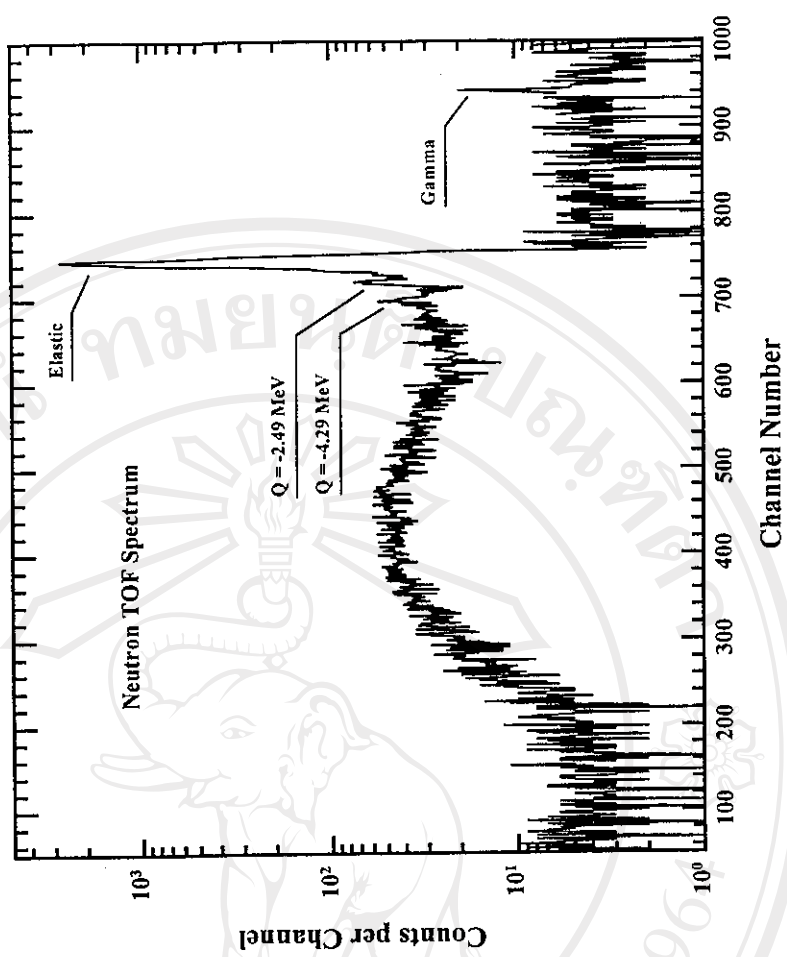
1. การจำลองนิวตรอนปัจจุบันที่เกิดขึ้นในเป่าตรีเตียม

จากรูปที่ 1 เมื่อลำดิวเทอรอนคงกระพันเป่าตรีเตียม เริ่มสุ่มตำแหน่งของการเกิดนิวตรอนปัจจุบันนี้คำนวณจาก kinematic และ angular distribution และคำนวณฟลักซ์ของนิวตรอนที่ตกกระหบวัตถุตัวอย่าง โดยอาศัยมุมด้าน(solid angle) ที่รองรับของวัตถุตัวอย่าง

ขั้นตอนต่อมาคือสุ่มตำแหน่งและมุมที่นิวตรอนจะไปตกกระพันกับผิวของวัตถุตัวอย่าง ส่วนตำแหน่งที่เกิดอันตรกิริยานั้นได้จากการสุ่ม path length หรือระยะทางที่นิวตรอนปัจจุบันสามารถเคลื่อนที่เข้าไปภาย ในวัตถุตัวอย่าง ได้ก่อนที่จะเกิดอันตรกิริยา ซึ่งหาได้จากการสุ่มค่า mean free path ซึ่งขึ้นอยู่กับพลังงานของนิวตรอนและค่า total cross section ของวัตถุตัวอย่าง รวมทั้งคำนวณค่าเฉลี่ยของการลดทอนของฟลักซ์นิวตรอน



รูปที่ 2 สถาบันพัฒนาเทคโนโลยีนิวเคลียร์ มหาวิทยาลัยเชียงใหม่
รูปที่ 3 สถาบันพัฒนาเทคโนโลยีนิวเคลียร์ มหาวิทยาลัยเชียงใหม่
รูปที่ 3 สถาบันพัฒนาเทคโนโลยีนิวเคลียร์ มหาวิทยาลัยเชียงใหม่
รูปที่ 3 สถาบันพัฒนาเทคโนโลยีนิวเคลียร์ มหาวิทยาลัยเชียงใหม่



รูปที่ 3 สถาบันพัฒนาเทคโนโลยีนิวเคลียร์ มหาวิทยาลัยเชียงใหม่

2. การจำลองการเกิดอันตรกิริยาระหว่างนิวตรอนกับนิวเคลียสของวัตถุตัวอย่าง

สำหรับกรณีที่วัตถุตัวอย่างเป็นสารประกอบ เช่น สารโพลีเอทธิลีน[(CH₂)_n] ก็จะต้องมีการสู่มนิวเคลียสก่อน เนื่องจากโอกาสที่นิวตรอนจะเกิดอันตรกิริยากับนิวเคลียสนิคในนี้ ขึ้นอยู่กับสัดส่วนโดยน้ำหนักและค่า total cross section ของนิวเคลียสนิคนั้นๆ ซึ่งขึ้นอยู่กับพลังงานของนิวตรอนปัจจุบันเช่นกัน หลังจากนั้นก็จะสู่มนิคของปฏิกิริยานิวเคลียร์ที่เกิดขึ้นระหว่างนิวตรอนปัจจุบันกับนิคของนิวเคลียสที่สู่มได้จากข้างต้น โดยอาศัยอัตราส่วนระหว่างค่า cross section ของแต่ละนิคของปฏิกิริยานิวเคลียร์สำหรับนิวเคลียสนิคนั้นๆ เช่น elastic(n,n) หรือ inelastic(n,n') เป็นต้น

3. การจำลองการเกิดอันตรกิริยาระหว่างนิวตรอนทุติกูมิกับนิวเคลียสของวัตถุตัวอย่าง

นิวตรอนทุติกูมิจากการเกิดปฏิกิริยานิวเคลียร์แบบต่างๆ โดยแต่ละแบบจะมีค่า angular distribution ซึ่งจะนำมาใช้ในการสู่มทิศทางของนิวตรอนทุติกูมิ ส่วนพลังงานของนิวตรอนทุติกูมิหลังการกระเจิงกับวัตถุตัวอย่างสามารถคำนวณโดยอาศัย kinematic และ Q-value สำหรับในย่าน discrete และคำนวณโดยอาศัย energy distribution สำหรับในย่าน continuum

แต่เนื่องจากผลจากขนาดของวัตถุตัวอย่างคงที่ก่อตัวในข้างต้นนี้ ในขั้นตอนนี้จึงต้องมีการสู่มค่า mean free path อีกครั้ง เพื่อคุ้ว่านิวตรอนยังอยู่ภายในวัตถุตัวอย่างหรือไม่ ถ้ายังอยู่ก็แสดงว่านิวตรอนนี้เกิดอันตรกิริยา(กระเจิง)ขึ้นอีก ซึ่งก็จะต้องกลับไปทำการสู่มตามแบบกระบวนการที่ 2 อีกครั้ง จนกว่านิวตรอนออกพื้นจากวัตถุตัวอย่างไปได้

ดังนั้นนิวตรอนที่ออกพื้นจากวัตถุตัวอย่างแล้วไปเข้าหัววัดรังสีนิวตรอน จะถูกจำแนกตามจำนวนครั้งที่เกิดการกระเจิงในวัตถุตัวอย่าง ทิศทางหรือมุมกระเจิง และพลังงานของนิวตรอน และคำนวณจำนวนนิวตรอนทั้งหมดที่จะไปเข้าหัววัดรังสีนิวตรอนโดยอาศัยมุมตันที่รองรับของหัววัดรังสีนิวตรอน รวมทั้งคำนวณการลดทอนของฟลักช์นิวตรอนที่ไปเข้าหัววัด

ผลลัพธ์ของการจำลองจะอยู่ในรูปของスペกตรัมที่สัมพันธ์กับพลังงานของนิวตรอน โดยแบ่งได้เป็น 3 แบบ คือ

ก) I(E,θ,E') คือ สเปกตรัมการกระเจิงอุดมคติ(Ideal scattering spectrum) ซึ่งตัดผลที่จะเกิดจากกระเจิงหลายครั้ง และการลดทอนของฟลักช์ออกไป

ข) N_n(E,θ,E') คือ สเปกตรัมที่ได้หลังเกิดการกระเจิงในแต่ละ n ครั้ง โดยที่ n=1,2,3 และ 4 ซึ่งพิจารณาถึงผลเนื่องจากการลดทอนของฟลักช์ด้วย

ค) R(E,θ,E') คือ สเปกตรัมกระเจิงจริง(Real scattering spectrum) ซึ่งเป็นผลรวม(Summation)ของ สเปกตรัม N_n(E,θ,E') สำหรับ n=1 ถึง 4

และเพื่อให้สเปกตรัมที่จำลองได้เหล่านี้สอดคล้องกับผลการทดลองจริง จึงต้องกระจาย (smeared) ออกด้วย Gaussian resolution function ที่ประกอบด้วยความกว้างของพีครังสีแกมมาที่วัดได้จากการทดลอง ทั้งนี้เนื่องจาก การวัดพลังงานของนิวตรอนด้วยเทคนิค TOF คือการวัดพลังงานของนิวตรอน โดยการวัดเวลาที่นิวตรอนที่มีพลังงานต่างๆ ใช้ในการเคลื่อนที่ ซึ่งต้องอาศัยตำแหน่งของพีครังสีแกมมาเป็นจุดอ้างอิง (ดูรูปที่ 3) เพราะฉะนั้น ความกว้างของพีครังสีแกมมาจึงเปรียบเสมือนเป็นความคลาดเคลื่อนที่มีผลต่อพลังงานของนิวตรอนทุกประกาย

2.3 การพิจารณาผลกระทบจากนิวตรอนปนเปื้อน

เนื่องจากการจำลองนิวตรอนที่เกิดในปีติเตียนในขั้นตอนที่ 1 ของหัวข้อ 2.2 นั้นไม่ได้ครอบคลุมผลกระทบต่างๆ ที่สำคัญในหัวข้อ 2.1 ดังนั้น ในขั้นตอนนี้ ก็จะเปลี่ยนไปใช้วิธีสุ่มพลังงาน และจำนวนของนิวตรอนจากสเปกตรัมของแหล่งกำเนิดนิวตรอนที่วัดได้โดยตรงจากปีติเตียนแทน โดยจะแยกเป็นการจำลอง 2 กรณี คือ

- (ก) กรณีนิวตรอนปนเปื้อนกับพีค 14 MeV ที่มีลักษณะเป็นพีค
- (ข) กรณีนิวตรอนปนเปื้อนที่มีพลังงานตั้งแต่ 3.0 ถึง 12.0 MeV

ซึ่งผลรวมของสเปกตรัมการกระเจิงจริงจากทั้งสองกรณีที่จำลองได้นั้น จะต้องสอดคล้องกับสเปกตรัม DDX ที่วัดได้จากการทดลองจริง จึงจะถือว่าผลของการจำลองเหตุการณ์นี้มีความถูกต้องตามความเป็นจริง

แต่ก่อนที่จะทำการเปรียบเทียบกัน จะต้อง normalized สเปกตรัมทั้งหมดที่จำลองได้ด้วยค่าคงที่ค่าหนึ่ง ซึ่งหาได้จากการเฉลี่ยตลอดทุกมุมกระเจิง ดังนั้นทำให้ผลของการเปรียบเทียบเป็นเพียงเพื่อที่จะใช้เป็นแนวทางเท่านั้น

ดังนั้นเพื่อหลีกเลี่ยงความผิดพลาดเนื่องจากการใช้ค่าคงที่ที่ไม่ถูกต้องในการ normalize นั้น จึงเปลี่ยนไปใช้วิธีการหาค่าอัตราส่วนระหว่างสเปกตรัมการกระเจิงอุดมคติจากนิวตรอนปนเปื้อนกับสเปกตรัมการกระเจิงจากนิวตรอนปนเปื้อน แล้วนำค่าอัตราส่วนที่ได้ไปคูณกับสเปกตรัม DDX ที่วัดได้จากการทดลองจริง สำหรับการแก้ไขผลของการกระเจิงหลายครั้งและการลดTHON พลักซ์ของนิวตรอน

ผลการศึกษาและวิจัย

3.1 ผลการจำลองสเปกตรัมการกระเจิงในแต่ละครั้งจากนิวตรอน 14 MeV

-เมื่อวัตถุตัวอย่างมีขนาดเส้นผ่าศูนย์กลาง 3.0 เซนติเมตร

จากรูปที่ 4 สเปกตรัมที่จำลองได้ของ การกระเจิง 2 ครั้ง มีผลกระแทบท่อสเปกตรัมที่จำลองได้ของการกระเจิง 1 ครั้ง มีผลทำให้เพิ่มขึ้นประมาณ 19 ถึง 34 เปอร์เซ็นต์ ส่วนสเปกตรัมของการกระเจิง 3 ครั้งมีผลกระแทบท่อการกระเจิง 1 ครั้ง มีผลทำให้เพิ่มขึ้นประมาณ 2 ถึง 7 เปอร์เซ็นต์ และสำหรับสเปกตรัมของการกระเจิง 4 ครั้งนั้นจะสังเกตได้ว่าต่ำกว่ามากเมื่อเทียบกับสเปกตรัมของการกระเจิง 1 ครั้ง ดังนั้นผลกระแทบที่นี้จึงตัดทิ้งไปได้

-เมื่อวัตถุตัวอย่างมีขนาดเส้นผ่าศูนย์กลาง 1.3 เซนติเมตร

จากรูปที่ 5 จะสังเกตได้ว่าเมื่อเทียบกับกรณีวัตถุตัวอย่างขนาด 3 ซมแล้ว สเปกตรัมของการกระเจิง 2 ครั้งมีผลกระแทบท่อการกระเจิง 1 ครั้งลดลงมากคือในช่วงนิวตรอนพลังงาน 3 ถึง 6 MeV มีผลกระแทบท่อลงเหลือเพียงประมาณ 10 ถึง 15 เปอร์เซ็นต์เท่านั้น และในช่วงนิวตรอนพลังงาน 6 MeV ขึ้นไป มีผลกระแทบท่อเพียงประมาณ 1 เปอร์เซ็นต์ ส่วนสเปกตรัมของการกระเจิงมากกว่า 2 ครั้งขึ้นไปนั้นมีค่าต่ำ ดังนั้นผลกระแทบที่นี้จึงตัดทิ้งไปได้

3.2 ผลการจำลองสเปกตรัมการกระเจิงอุดมคติ, สเปกตรัมการกระเจิงจริงจากนิวตรอน 14 MeV และสเปกตรัมการกระเจิงจริงจากนิวตรอนปั๊มน้ำ

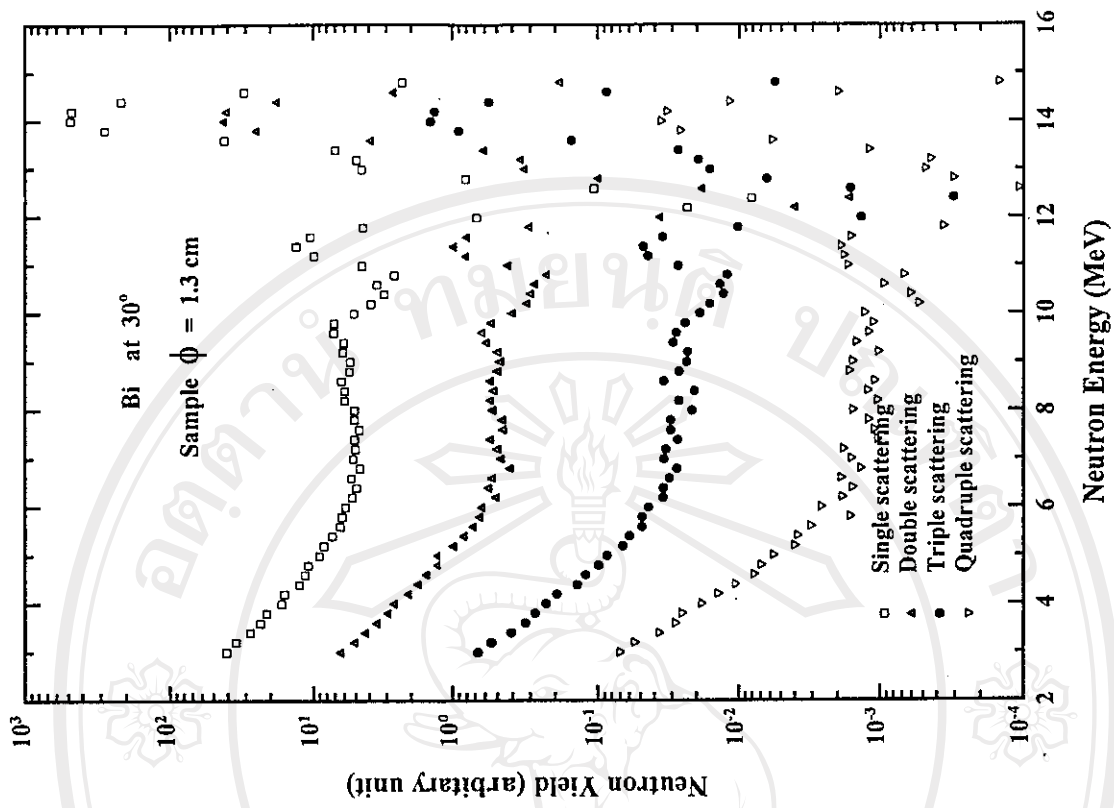
-เมื่อวัตถุตัวอย่างมีขนาดเส้นผ่าศูนย์กลาง 3 เซนติเมตร

(i) ผลจากขนาดของวัตถุตัวอย่างจากนิวตรอนปั๊มน้ำ 14 MeV

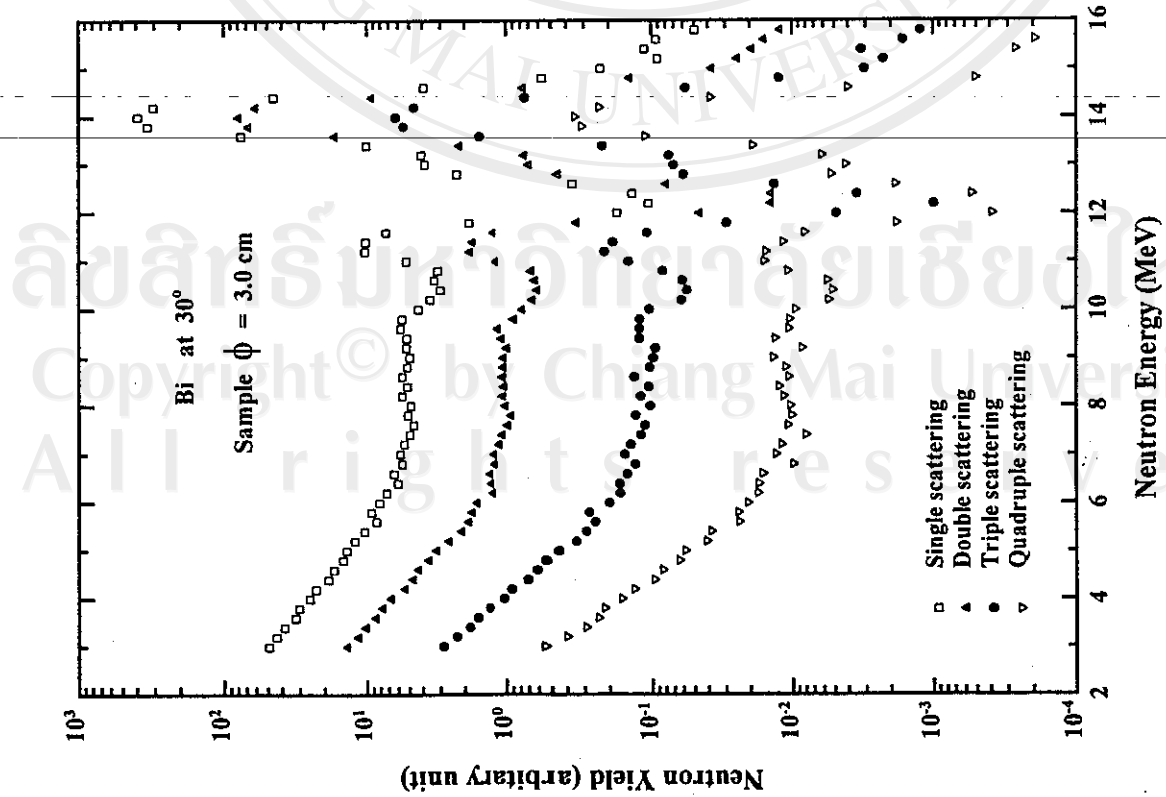
สเปกตรัมการกระเจิงจริงจากนิวตรอนปั๊มน้ำ 14 MeV จะต่ำกว่าสเปกตรัมการกระเจิงอุดมคติ ดังรูปที่ 6 ทั้งนี้เป็นผลเนื่องมาจากการเกิดการลดทอนฟลักซ์ของนิวตรอน

(ii) ผลจากนิวตรอนปั๊มน้ำ

สำหรับสเปกตรัมการกระเจิงจริงจากนิวตรอนปั๊มน้ำ ในช่วงที่พลังงานตั้งแต่ 3 ถึง 6 MeV จะมีผลกระแทบท่อสเปกตรัมการกระเจิงจริงจากนิวตรอน 14 MeV มากจนเกือบถึง 100 เปอร์เซ็นต์ ทั้งนี้คงเป็นเพราะว่าที่มุ่งกระเจิงต่ำๆนั้น โอกาสของการเกิดการกระเจิงแบบยึดหยุ่น (Elastic scattering)ของนิวตรอนที่มีพลังงานต่ำ มีค่าสูงมากและมากกว่าอันตรกิริยาแบบอื่น รวมทั้ง เมื่อพิจารณาจากรูปที่ 2 จะเห็นว่านิวตรอนปั๊มน้ำในช่วงพลังงานนี้มีมากกว่าช่วงอื่น ดังนั้นเมื่อเกิดการกระเจิงแบบยึดหยุ่นกับบิสมัทซึ่งเป็นธาตุหนัก ทำให้นิวตรอนทุกตัวก้มลิคพลังงานลงเพียงเล็กน้อย จึงเป็นผลให้สเปกตรัมการกระเจิงจริงจากนิวตรอนปั๊มน้ำในช่วงนี้มีค่ามาก

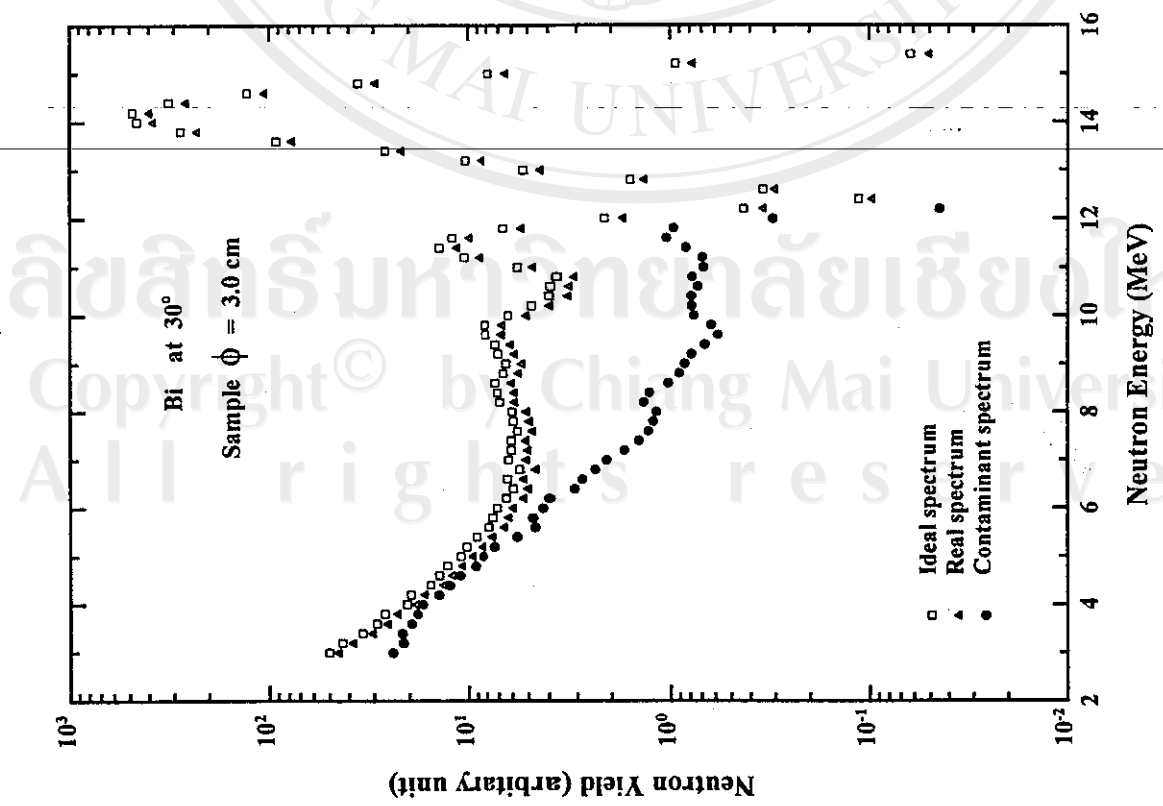


รูปที่ 5 ผลการจำลองแบบบัคต์รัมการกรวยเริ่ง 1, 2, 3 และ 4 ครั้ง ที่บุบกระชิ้ง 30 ซม.ท่า
ของ Bi sample ที่มีเส้นผ่านศูนย์กลาง 1.3 ซม

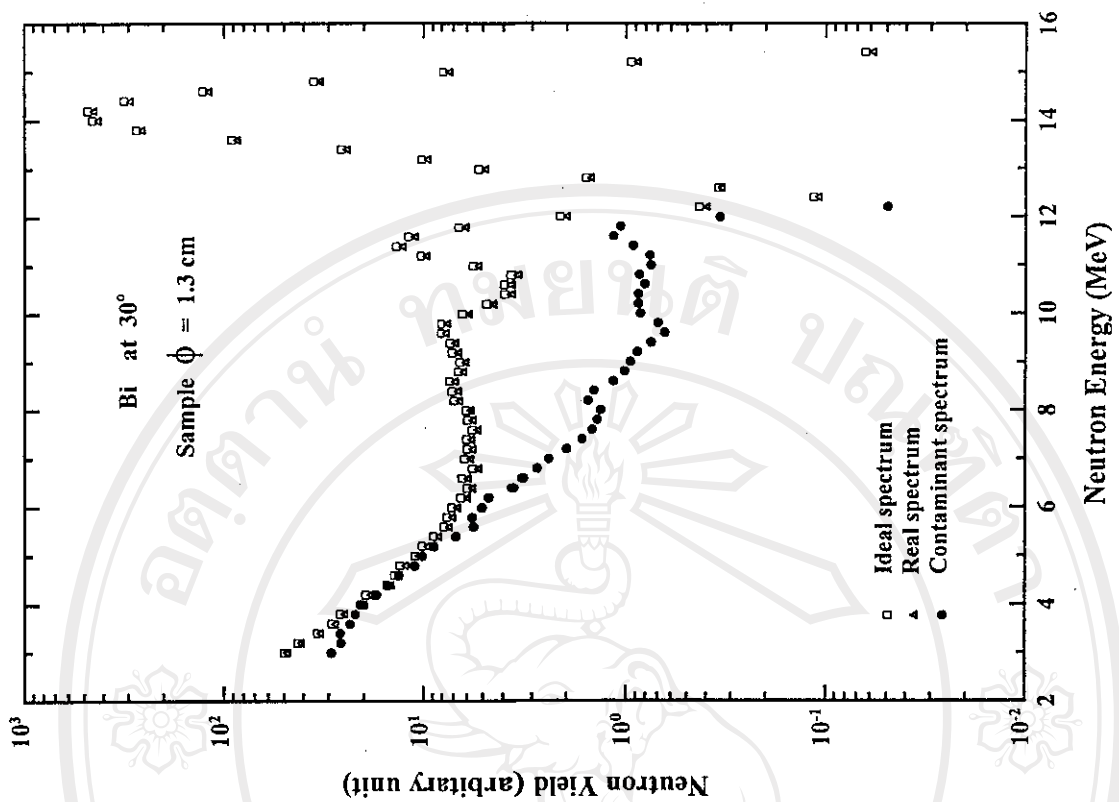


รูปที่ 4 ผลการจำลองแบบบัคต์รัมการกรวยเริ่ง 1, 2, 3 และ 4 ครั้ง ที่บุบกระชิ้ง 30 ซม.
ของ Bi sample ที่มีเส้นผ่านศูนย์กลาง 3.0 ซม

ขอ Bi sample ที่มีเส้นผ่านศูนย์กลาง 1.3 ซม



รูปที่ 6 ผลการจำลองแบบจำลองการกระระเบิดอุดมคติ, แบบจำลองการกระระเบิดจริงจากนิวตรอนในชั้นกว้าง 4 MeV และแสดงให้เห็นการกระระเบิดจริงจากนิวตรอนในชั้นกว้างที่บุบกระเบิง 3.0 ซม. สำหรับชั้นกว้าง 3.0 ซม. ของตัวอย่าง Bi sample ที่มีเส้นผ่านศูนย์กลาง 3.0 ซม.



รูปที่ 7 ผลการจำลองแบบจำลองการกระระเบิดอุดมคติ, แบบจำลองการกระระเบิดจริงจากนิวตรอนในชั้นกว้าง 4 MeV และแสดงให้เห็นการกระระเบิดจริงจากนิวตรอนในชั้นกว้างที่บุบกระเบิง 1.3 ซม. สำหรับชั้นกว้าง 3.0 ซม. ของตัวอย่าง Bi sample ที่มีเส้นผ่านศูนย์กลาง 1.3 ซม.

-เมื่อวัตถุตัวอย่างมีขนาดเส้นผ่าศูนย์กลาง 1.3 เซนติเมตร

(i) ผลกระทบของวัตถุตัวอย่างจากนิวตรอนปั๊มน้ำ 14 MeV

พบว่าสเปกตรัมการกระเจิงจริงแทนเท่ากับสเปกตรัมการกระเจิงอุดมคติ ดังแสดงในรูปที่ 7 แสดงว่าเกิดการลดthonฟลักซ์ของนิวตรอนน้อยมาก ทั้งนี้เนื่องจากวัตถุตัวอย่างมีขนาดเล็กลง

(ii) ผลกระทบบนปืนปืน

จะสังเกตได้ว่าสเปกตรัมการกระเจิงจากนิวตรอนปืนปืนเมื่อเปรียบเทียบกับกรณีวัตถุตัวอย่างขนาด 3 ซม.แล้วผลที่ได้คล้ายกับผลเมื่อวัตถุตัวอย่างมีขนาดเส้นผ่าศูนย์กลาง 3.0 เซนติเมตร แต่มีค่าสูงกว่าเล็กน้อย ซึ่งเป็นเพราะการลดthonฟลักซ์ของนิวตรอนน้อยลง

3.3 ผลของการจำลองด้วยโปรแกรม SYNTHIA เปรียบเทียบกับผลที่ได้จากการทดลองจริง

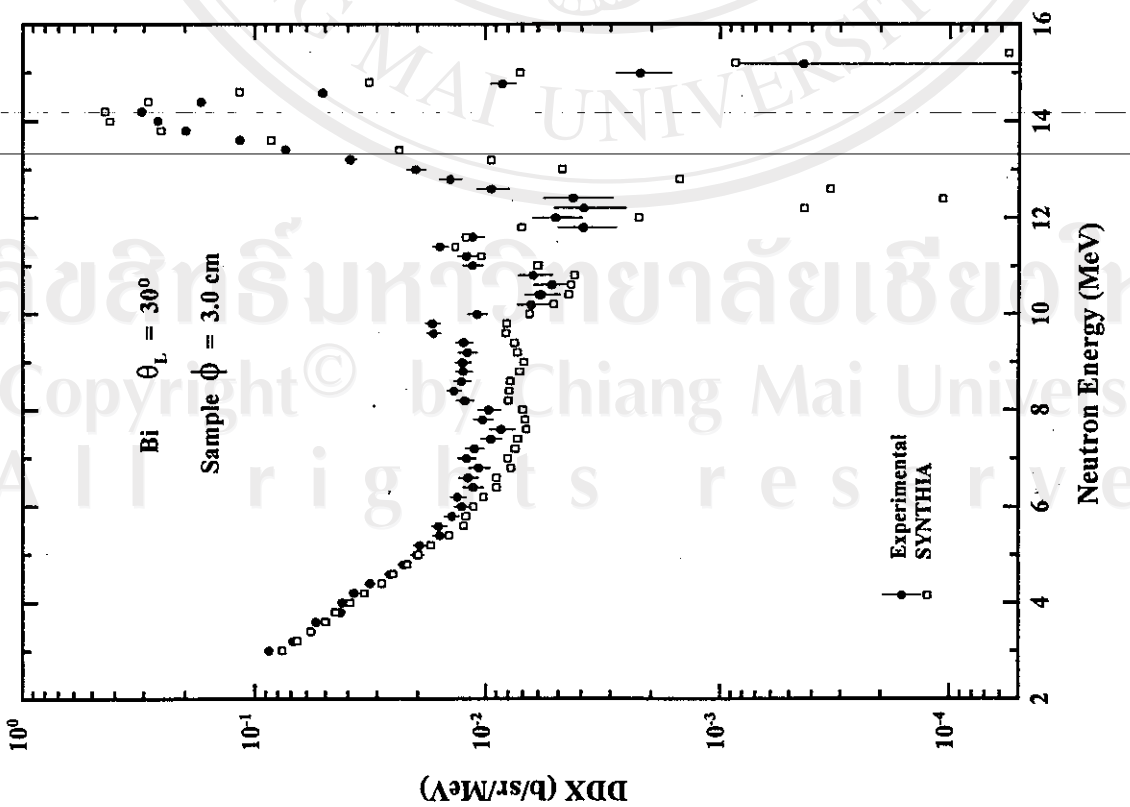
เนื่องจากผลท้ายสุดของการจำลองสเปกตรัมที่มุ่งกระเจิงต่างๆ และได้ถูกกระจาด้วยเส้นน้ำ จะต้องสอดคล้องกับสเปกตรัม DDX ที่วัดได้จากการทดลองจริง จึงจะถือว่าผลของการจำลองเหตุการณ์นี้มีความถูกต้องตามความเป็นจริง

-เมื่อวัตถุตัวอย่างมีขนาดเส้นผ่าศูนย์กลาง 3 เซนติเมตร

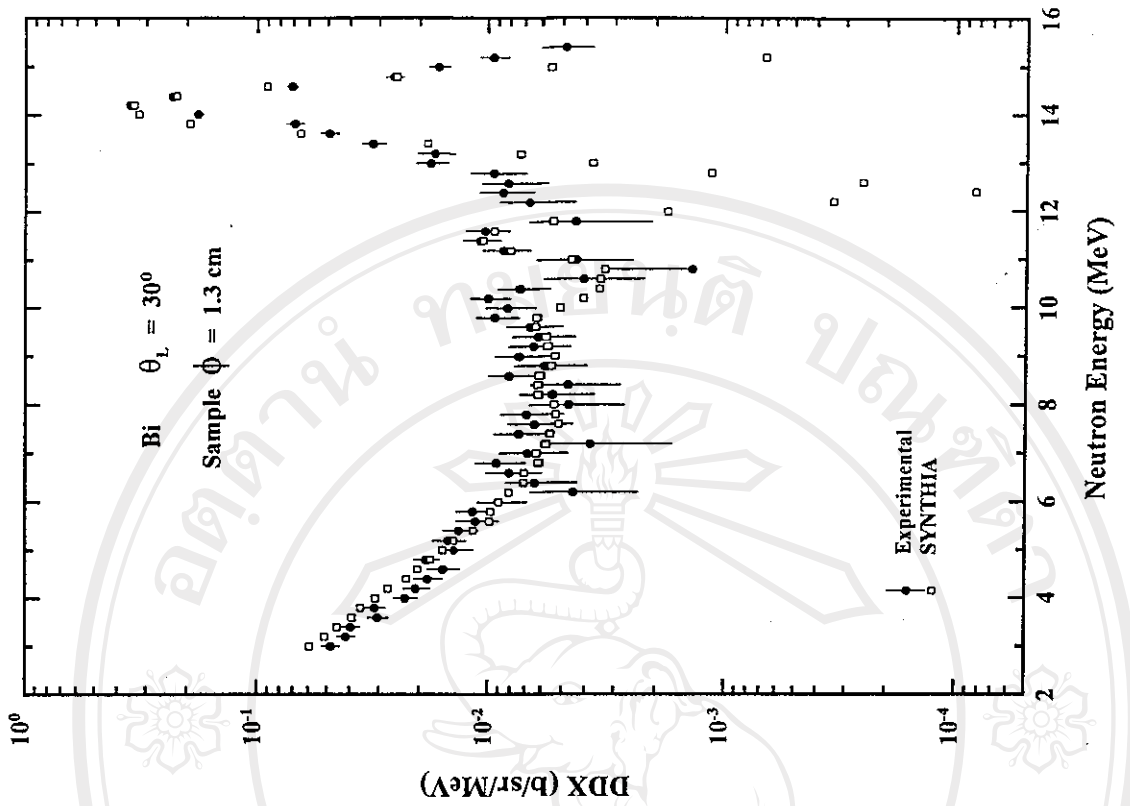
จากรูปที่ 8 พนวณโดยรวมแล้วผลของการจำลองด้วยโปรแกรม SYNTHIA สอดคล้องกับผลที่ได้จากการทดลองจริง แต่ที่น่าสังเกต คือในช่วงของพลังงานนิวตรอนประมาณ 6 ถึง 10 MeV ซึ่งผลจากการจำลองมีลักษณะราบเรียบ แต่ผลจากการทดลองมีลักษณะเป็นพีคต่างๆ ทั้งนี้อาจจะเป็นเพราะการเพิ่มระยะเดินทางของนิวตรอนนั้น ทำให้ระบบคำนากำหนดจำแนกพลังงานของเครื่องนิวตรอนที่มหาวิทยาลัยเชียงใหม่มีค่าสูง^{[2],[6]} จึงทำให้สามารถแยกแยะได้ดีขึ้น

-เมื่อวัตถุตัวอย่างมีขนาดเส้นผ่าศูนย์กลาง 1.3 เซนติเมตร

ผลของการจำลองอาจระบุเส้นอนว่าเท่ากับผลที่ได้จากการทดลองจริง ดังจะเห็นได้รูปที่ 9 แต่ถ้านำค่าความคลาดเคลื่อนมาพิจารณาประกอบด้วย จะพบว่ามีค่าสูงกว่าผลเมื่อวัตถุตัวอย่างมีขนาดเส้นผ่าศูนย์กลาง 3.0 เซนติเมตร ทั้งนี้คงเพราะค่า cross section ของช่วงพลังงานนี้มีค่าต่ำ ดังนั้นมือใช้วัตถุตัวอย่างที่มีขนาดเล็กลง ซึ่งเวลาที่ใช้ในการเก็บข้อมูลก็จะนานมากขึ้น ทำให้ประสิทธิภาพเกี่ยวกับ Background มากขึ้นตามไปด้วย ดังนั้นค่าที่ได้มาจากการวิเคราะห์จากผลการทดลองมีความคลาดเคลื่อนทางสถิติสูง



รูปที่ 8 ผลของการจำลองด้วยโปรแกรม SYNTHIA เมื่อยกเป็นตัวบวก
ผลที่ได้จากการทดลองจริง ที่บุมกรະเจิง 30 ของชา
บุง Bi sample ที่มีเส้นผ่านศูนย์กลาง 3.0 ซม



รูปที่ 9 ผลของการจำลองด้วยโปรแกรม SYNTHIA เมื่อยกเป็นตัวบวก
ผลที่ได้จากการทดลองจริง ที่บุมกรະเจิง 30 ของชา
บุง Bi sample ที่มีเส้นผ่านศูนย์กลาง 1.3 ซม

บทวิจารณ์และสรุปผล

การศึกษาผลของการกระเจิงหลายครั้งและการลดthonฟลักช์ของนิวตรอน แสดงให้เห็นว่า เมื่อใช้บีสัมพ์ขนาดเดียวกัน 4 เท่า สามารถลดผลของการกระเจิงหลายครั้งได้ประมาณร้อยละ 85 ถึง 90 และผลของการลดthonฟลักช์ของนิวตรอนได้ประมาณร้อยละ 90 ถึง 95

ส่วนผลกระทบนิวตรอนบนเยื่อนน้ำ ไม่แตกต่างกัน ทั้งนี้คง เพราะบีสัมพ์เป็นธาตุหนักดังนั้น โอกาสการกระเจิงแบบยึดหยุ่นสำหรับนิวตรอนพลังงานต่ำจะมีค่าสูง และโดยเฉพาะการกระเจิงที่ มุนต์ต่ำๆแล้วจะมีมากขึ้น

และเมื่อเปรียบเทียบกับผลการทดลองจริงในการวัดค่า DDX แล้ว พบว่า โดยส่วนใหญ่สอดคล้องกันดี จะแตกต่างกันเฉพาะในช่วงของพลังงานนิวตรอนประมาณ 6 ถึง 10 MeV ซึ่งอาจจะเป็น เพราะค่า cross section ของช่วงพลังงานนี้มีค่าต่ำ ทำให้ค่าที่ได้มาจากการวิเคราะห์จากผลการทดลองมีความคลาดเคลื่อนทางสถิติสูง

กิตติกรรมประกาศ

โครงการวิจัยนี้ได้รับทุนอุดหนุนจาก ส่วนงานกลาง สำนักงานพัฒนาวิทยาศาสตร์และเทคโนโลยีแห่งชาติ และคณะผู้วิจัยของขอบคุณสำนักงานกองทุนสนับสนุนการวิจัย และมูลนิธิไตรเพื่อการส่งเสริมวิทยาศาสตร์ ประเทศไทย ที่ให้การสนับสนุนอย่างต่อเนื่อง และขอบคุณ Prof. Dr. Mamoru Baba ที่กรุณามอบโปรแกรม SYNTHIA สำหรับใช้ในงานวิจัยนี้ และ Prof. Dr. Akito Takahashi ที่เอื้อเพื่อในการสั่งและให้ข้อมูลตัวอย่างบีสัมพ์ขนาดต่างๆ

เอกสารอ้างอิง

1. M.Baba, S.Matsuyama, T.Ishikawa, M.Chiba, S.Sakase and N.Hirakawa, Nucl. Instr. And Meth., A366 (1995) 354.
2. U.Tippawan, "Measurement and Analysis of Double Differential Neutron Emission Cross Section for Bi-209 at 14 MeV, M.S. Thesis, Chiang Mai University (1995).
3. A.Pavlik, private communication (1988).
4. T.Vilaithong, S.Singkarat, U.Tippawan, D.Boonyawan, S.Aumkaew and S.Ratanarin, "A Neutron Collimator System for Nuclear Energy Measurement Program," Report submitted to National Research Council (1995).
5. A.Takahashi, E.Ichimura, Y.Sasaki and H.Sugimoto, J. Nuc. Sci Technol.25 (1988) 215.
6. T.Vilaithong, U.Tippawan and S.Singkarat, "A High Resolution of Double Differential

Neutron Emission Cross Section for ^{209}Bi at 14 MeV Incident Energy,"Italian Physical Society,
Conference Proceedings, 59, Part I (1997) 574.



อิชิกรีนมหาวิทยาลัยเชียงใหม่

Copyright[©] by Chiang Mai University

All rights reserved